

ESCUELA SUPERIOR POLITECNICA DEL LITORAL

**Facultad de Ingeniería en Mecánica y Ciencias de la
Producción**

“Determinar La Variación De La Resistencia A La
Compresión Adicionando 25% De Limolita En El Cemento
Portland Tipo I En Un Curado En Agua”

TESIS DE GRADO

Previo a la obtención del Título de:

INGENIERO MECANICO

Presentada por:

Jorge Luis Orellana Martínez

GUAYAQUIL – ECUADOR

Año: 2008

AGRADECIMIENTO

A Dios, a mi director de tesis el Ing. Mauricio Cornejo, a las personas que colaboraron de una u otra forma para la realización de este trabajo, y especialmente a mis padres por darme la oportunidad de poder estudiar.

DEDICATORIA

ESTE TRABAJO
REALIZADO CON
ESFUERZO POR
VARIOS MESES, ESTÁ
DEDICADO A MIS
PADRES, A MI NOVIA,
A MIS ABUELOS,
FAMILIARES Y
AMIGOS.

TRIBUNAL DE GRADUACIÓN

Ing. Francisco Andrade S.
DECANO DE LA FIMCP
PRESIDENTE

Ing. Mauricio Cornejo M.
DIRECTOR DE TESIS

Ing. Javier Bermúdez R.
VOCAL

Ing. Rodrigo Perugachi B.
VOCAL

DECLARACION EXPRESA

“La responsabilidad del contenido de esta Tesis de Grado, me corresponden exclusivamente; y el patrimonio intelectual de la misma a la ESCUELA SUPERIOR POLITÉCNICA DEL LITORAL”
(REGLAMENTO DEL TOPICO DE GRADUACION)

Jorge Luis Orellana
Martínez

RESUMEN

Este proyecto tiene como idea principal determinar la resistencia a la compresión, utilizando métodos numéricos, el comportamiento de la pasta de cemento. Introducir en los modelos el efecto de materiales aditivos, como la limolita en la composición de los materiales estructurales. Coordinar los trabajos de modelación con la experimentación de laboratorio, con el objetivo de lograr el mayor ajuste de los modelos con la realidad del comportamiento del material compuesto.

Analizaremos el comportamiento del cemento al introducir un % porcentaje de aditivo (Limolita) en diferentes tiempos de curado; también haremos una comparación de resultados obtenidos mediante la modelación por computadora y datos empíricos obtenidos de la experimentación en el laboratorio.

Realizaremos las pruebas necesarias para garantizar nuestra hipótesis de investigación mediante un análisis estadístico para lo cual usaremos el método mas adecuado para nuestra experimentación.

Tomaremos muestras de limolita para luego realizar los debidos procesos de pesado, medición, y mezcla con el cemento tipo I que servirá como base, haremos 3 muestras para cada día en nuestro caso con el 25 % de aditivo , las muestras serán sumergidas en agua para el tiempo que hemos establecido que son de 7,14,21,28 días, y realizar las pruebas necesarias y así obtener los resultados de sus propiedades mecánicas para al final realizar una comparación con la muestra base para así poder concluir si existe o no una mejora en la pasta de cemento añadiendo un porcentaje de limolita.

INDICE GENERAL

	Pág.
RESUMEN.....	II
ÍNDICE GENERAL.....	III
ABREVIATURAS.....	IV
ÍNDICE DE FIGURAS.....	V
FOTOS.....	VI
ÍNDICE DE TABLAS.....	VII
INTRODUCCIÒN.....	1
CAPITULO 1	
1. GENERALIDADES.....	2
1.1. Planteamiento del Problema.....	2
1.2. Objetivos del Proyecto.....	2
1.3. Objetivos Específicos.....	3
1.4. Metodología usada para el desarrollo del Proyecto.....	4
1.5. Estructura de la Tesis.....	7

CAPITULO 2

2. MARCO TEORICO.....	8
2.1. Tipos de cemento.....	8
2.2. Puzolanas.....	14
2.3. Métodos de Curado del Cemento.....	18
2.4. Diseño Factorial.....	26
2.5. Estado del Arte.....	29

CAPITULO 3

3. Metodología

.....	33
3.1. Recolección de datos.....	33
3.2. Diseño del experimento.....	33
3.3. Experimentación.....	36

CAPÍTULO 4

4. ANALISIS Y RESULTADOS.....	48
4.1. Tabulación de datos y resultado.....	48
4.2. Análisis de Resultados.....	84

CAPÍTULO 5

5. CONCLUSIONES Y RECOMENDACIONES.....	116
5.1. Conclusiones.....	116
5.2. Recomendaciones.....	118

APÉNDICES

BIBLIOGRAFÍA.....	121
CODIGO FUENTE.....	123

ABREVIATURAS

Desv.	Desviación
Esf.	Esfuerzo
Est.	Estadístico
Estn.	Estándar
Exp.	Experimental
IC.	Intervalo de confianza
Rupt.	Ruptura

SIMBOLOGIA

°C	Grados centígrados
Hr	Horas
Km	Kilómetros
Kg	kilogramos
m	Metros
mm	milímetros
min	Minutos
m ³	Metros cúbicos
TON	Toneladas
g/cm ³	Gravedad específica
N/ mm ²	Esfuerzo

ÍNDICE DE FIGURAS

	Pag.
Figura 1.1 Metodología de la tesis.....	4
Figura 3.1 Limonita en roca.....	36
Figura 3.2 Trituradora de mandibulas.....	37
Figura 3.3 Trituradora de rodillos.....	38
Figura 3.4 Cuarteador de material.....	38
Figura 3.5 Molino de disco.....	39
Figura 3.6 Molino de bolas.....	39
Figura 3.7 Balanza.....	40
Figura 3.8 Tamices.....	41
Figura 3.9 Tamizador electrico.....	41
Figura 3.10 Veruficacion de masas.....	42
Figura 3.11 Moldes.....	43
Figura 3.12 Mezclado.....	45
Figura 3.13 Moldeo.....	46
Figura 3.14 Moldes preparados.....	46
Figura 4.1 Grafica de caja de esfuerzo de ruptura-25%.....	87
Figura 4.2 Intervalo de confianza individual -25%.....	89
Figura 4.3 Intervalos de confianza de tukey-25%.....	90
Figura 4.4 Grafica de probabilidad normal-25%.....	91
Figura 4.5 Grafica de superficie-25%.....	92
Figura 4.6 Grafica de caja de esfuerzo de ruptura-27.5%.....	93
Figura 4.7 Intervalo de confianza individual-27.5%.....	95
Figura 4.8 Intervalo de confianza de tukey-27.5%.....	96
Figura 4.9 Grafica de superficie-27.5%.....	97

Figura 4.10	Grafica de superficie grupal para experimentacion	113
Figura 4.11	Grafica de superficie grupal para validacion.....	115

ÍNDICE DE TABLAS

	Pag.
Tabla 1	Especificaciones físicas de los cementos13
Tabla 2	Especificaciones químicas del cemento.....14
Tabla 3	Relación agua-cemento máximas permisibles para el concreto.....24
Tabla 4	Proporciones recomendadas del agregado con respecto al volumen del concreto.....26
Tabla 5	Verificación de masa en los tamices.....42
Tabla 6	Composición del mortero con 25%.....44
Tabla 7	Composición del mortero con 27.5%.....44
Tabla 8	Formato para días de experimentación.....47
Tabla 9	Resultados para 7 días de curado-25%.....50
Tabla 10	Resultados-25%-753
Tabla 11	Resultados para 14 días de curado-25%.....55
Tabla 12	Resultados-25%-14.....58
Tabla 13	Resultados para 21 días de curado-25%.....59
Tabla 14	Resultados-25%-21.....62
Tabla 15	Resultados para 28 días de curado-25%.....63
Tabla 16	Resultados-25%-28.....66
Tabla 17	Resultados para 4 días de curado-27.5%.....67
Tabla 18	Resultados-27.5%-4.....70
Tabla 19	Resultados para 11 días de curado-27.5%.....71
Tabla 20	Resultados-27.5%-11.....74
Tabla 21	Resultados para 18 días de curado-27.5%.....76
Tabla 22	Resultados-27.5%-18.....79
Tabla 23	Resultados para 25 días de curado-27.5%.....80
Tabla 24	Resultados-27.5%-25.....83
Tabla 25	Errores experimentales.....85

Tabla 26	Errores de validacion.....	85
Tabla 27	Resultados de esfuerzo de ruptura 25%.....	86
Tabla 28	Resistencia a la compresion 25%.....	87
Tabla 29	Tabla general de analisis de varianza.....	88
Tabla 30	Tabla de resultados de analisis de varianza.....	89
Tabla 31	Residuos para experimento con 25%.....	91
Tabla 32	Resultados de esfuerzo de ruptura 27.5%.....	92
Tabla 33	Resistencia a la compresion 27.5%.....	93
Tabla 34	Tabla general de analisis de varianza 27.5%.....	94
Tabla 35	Residuos para experimento con 27.5%.....	96
Tabla 36	Resultados de esfuerzo de ruptura experimental.....	98
Tabla 37	Resultados de esfuerzo de ruptura validación.....	98
Tabla 38	Modelos estadisticos polinomiales.....	100
Tabla 39	Modelos estadísticos polinomiales. (Validación).....	101
Tabla 40	Estadísticas de la regresión	102
Tabla 41	Analisis de varianza.....	103
Tabla 42	P-values para coeficientes de regresion.....	104
Tabla 43	P-values para coeficientes de regresion sin intercepcion.....	105
Tabla 44	Análisis residuales.....	106
Tabla 45	Estadística de la regresion.....	107
Tabla 46	Analisis de varianza	107
Tabla 47	P-values para coeficientes de regresion.....	107
Tabla 48	P-values para coeficientes de regresion sin intercepcion.....	107
Tabla 49	Análisis residuales.....	108
Tabla 50	Utilizando modelo estadístico para experimentación.....	109
Tabla 51	Utilizando modelo estadístico para validacion	110
Tabla 52	Análisis de tukey para esfuerzos vs porcentaje.....	111
Tabla 53	Análisis de tukey para esfuerzos vs días de curado.....	112
Tabla 54	Análisis de tukey para validación	114

ANEXOS (TABLAS)

Tabla 1	Muestra M1-25%-7.....	126
Tabla 2	Muestra M2-25%-7.....	127
Tabla 3	Muestra M3-25%-7.....	128
Tabla 4	Muestra promedio-25%-7.....	128
Tabla 5	Muestra M1-25%-14.....	129
Tabla 6	Muestra M2-25%-14.....	129
Tabla 7	Muestra M3-25%-14.....	130
Tabla 8	Muestra promedio-25%-14.....	130
Tabla 9	Muestra M1-25%-21.....	131
Tabla 10	Muestra M2-25%-21.....	131
Tabla 11	Muestra M3-25%-21.....	132
Tabla 12	Muestra promedio-25%-21.....	132
Tabla 13	Muestra M1-25%-28.....	133
Tabla 14	Muestra M2-25%-28.....	133
Tabla 15	Muestra M3-25%-28.....	134
Tabla 16	Muestra promedio-25%-28.....	134
Tabla 17	Muestra M1-27.5%-4.....	135
Tabla 18	Muestra M2-27.5%-4.....	136
Tabla 19	Muestra M3-27.55%-4.....	137
Tabla 20	Muestra promedio-27.5%-4.....	137
Tabla 21	Muestra M1-27.5%-11.....	138
Tabla 22	Muestra M2-27.5%-11.....	138
Tabla 23	Muestra M3-27.5%-11.....	139
Tabla 24	Muestra promedio-27.5%-11.....	139
Tabla 25	Muestra M1-27.5%-18.....	140

Tabla 26	Muestra M2-27.5%-18.....	140
Tabla 27	Muestra M3-27.5%-18.....	141
Tabla 28	Muestra promedio-27.5%-18.....	141
Tabla 29	Muestra M1-27.5%-25.....	142
Tabla 30	Muestra M2-27.5%-25.....	142
Tabla 31	Muestra M3-27.5%-25.....	143
Tabla 32	Muestra promedio-27.5%-25.....	143

ANEXOS (FIGURAS)

Figura 1	Esfuerzo vs deformacion M1, M2, M3-25%-7.....	145
Figura 2	Esfuerzo vs deformacion promedio – 25%-7.....	145
Figura 3	Modelo M1 – 25% - 7.....	146
Figura 4	Modelo M2 – 25% - 7.....	146
Figura 5	Modelo M3 – 25% - 7.....	147
Figura 6	Modelo promedio -25%-7.....	147
Figura 7	Esfuerzo vs deformacion M1, M2, M3-25%-14.....	148
Figura 8	Esfuerzo vs deformacion promedio – 25%-14.....	148
Figura 9	Modelo M1 – 25% - 14.....	149
Figura 10	Modelo M2 – 25% - 14.....	149
Figura 11	Modelo M3 – 25% - 14.....	150
Figura 12	Modelo promedio -25%-14.....	150
Figura 13	Esfuerzo vs deformacion M1, M2, M3-25%-21.....	151
Figura 14	Esfuerzo vs deformacion promedio – 25%-21.....	151
Figura 15	Modelo M1 – 25% - 21.....	152
Figura 16	Modelo M2 – 25% - 21.....	152
Figura 17	Modelo M3 – 25% - 21.....	153
Figura 18	Modelo promedio -25%-21.....	153
Figura 4.19	Esfuerzo vs deformacion M1, M2, M3-25%-28.....	154
Figura 4.20	Esfuerzo vs deformacion promedio – 25%-28.....	154
Figura 21	Modelo M1 – 25% - 28.....	155
Figura 22	Modelo M2 – 25% - 28.....	155
Figura 23	Modelo M3 – 25% - 28.....	156
Figura 24	Modelo promedio -25%-28.....	156
Figura 25	Esfuerzo vs deformacion M1, M2, M3-27.5%-4.....	157

Figura 26	Esfuerzo vs deformacion promedio – 27.5%-4.....	157
Figura 27	Modelo M1 – 27.5% -4.....	158
Figura 28	Modelo M2 – 27.5% - 4.....	158
Figura 29	Modelo M3 – 27.5% - 4.....	159
Figura 30	Modelo promedio -27.5%-4.....	159
Figura 31	Esfuerzo vs deformacion M1, M2, M3-27.5%-11.....	160
Figura 32	Esfuerzo vs deformacion promedio – 27.5%-11.....	160
Figura 33	Modelo M1 – 27.5% -11.....	161
Figura 34	Modelo M2 – 27.5% - 11.....	161
Figura 35	Modelo M3 – 27.5% - 11.....	162
Figura 36	Modelo promedio -27.5%-11.....	162
Figura 37	Esfuerzo vs deformacion M1, M2, M3-27.5%-18.....	163
Figura 38	Esfuerzo vs deformacion promedio – 27.5%-18.....	163
Figura 39	Modelo M1 – 27.5% - 18.....	164
Figura 40	Modelo M2 – 27.5% - 18.....	164
Figura 41	Modelo M3 – 27.5% - 18.....	165
Figura 42	Modelo promedio -27.5%-18.....	165
Figura 43	Esfuerzo vs deformacion M1, M2, M3-27.5%-25.....	166
Figura 44	Esfuerzo vs deformacion promedio – 27.5%-25.....	166
Figura 45	Modelo M1 – 27.5% - 25.....	167
Figura 46	Modelo M2 – 27.5% - 25.....	167
Figura 47	Modelo M3 – 27.5% - 25.....	168
Figura 48	Modelo promedio -27.5%-25.....	168

INTRODUCCIÓN

La investigación en ciencia e ingeniería de materiales no solamente se realiza en los países desarrollados, muchos en vía de desarrollo están haciendo estudios y creando productos que mejoren su eficiencia y sus propiedades físicas que ayuden al desarrollo industrial y por ende al país.

En el marco de las acciones académicas e investigativas del Área de Materiales y Procesos de Transformación de la FIMCP se encuentran diversas actividades de estudio de los diferentes tipos de materiales de construcción, cobra gran importancia debido a su influencia en los ámbitos del progreso urbanístico y el bienestar común. La confluencia del interés científico y tecnológico con el interés social y de desarrollo convierte al estudio de los materiales de construcción en una rama interesante de estudio y profundización del conocimiento.

Los medios para realizar el estudio de los materiales es uno de los aspectos más importantes a considerarse. La aplicación de métodos numéricos a la resolución de problemas vinculados a las propiedades de respuesta de un material, al variar su composición por ejemplo, es un hito que debe ser resuelto por personal entrenado y calificado para desempeñar labores de diseño, análisis e interpretación de experimentos.

CAPITULO 1

1. GENERALIDADES

1.1. Planteamiento del Problema

El siguiente proyecto de tópico se basara en una necesidad de obtener mejoras a nivel de ingeniería para lo cual nos fundamentaremos en metodologías científico-técnicas la cual nos ayudara a proporcionarnos herramientas técnicas e informáticas con el propósito de resolver necesidades insatisfechas en las industrias específicamente en el área de la construcción.

1.2. Objetivos del Proyecto

Determinar la variación que se genera en el valor correspondiente a la resistencia a la compresión, cuando se adiciona 25% de limolita con curado bajo agua en el cemento Portland tipo I

1.3. Objetivos Específicos

Mediante el programa Matlab y conocimientos de Inelasticidad, crear un código fuente adecuado que nos permita conocer el comportamiento ideal del cemento en un grafico esfuerzo vs. Deformación.

Mediante teoría de Regresión Lineal Múltiple, obtener un modelo matemático que genere la relación existente entre una variable dependiente (Resistencia a la compresión) y dos variables independientes (Porcentaje de limolita y Días de curado).

Comparar, estadísticamente, los resultados obtenidos individualmente con aquellos referentes al 0% de aditivo para que podamos determinar si existieron o no mejoras significativas en el valor referente a la resistencia a la compresión.

1.4. Metodología Usada Para El Desarrollo Del Proyecto

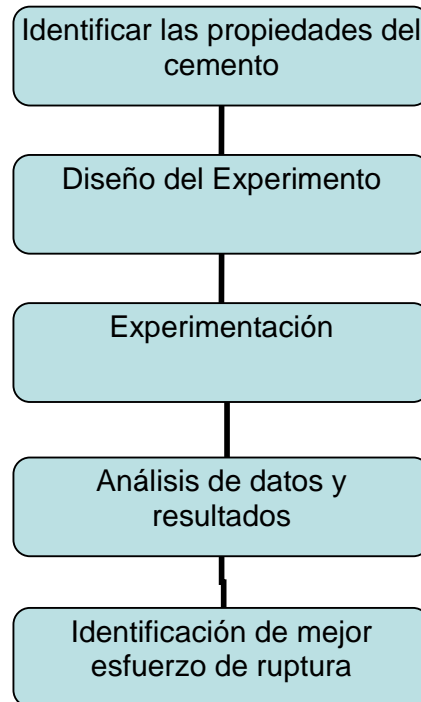


FIGURA 1. METODOLOGÍA DE LA TESIS.

- **Identificar Las Propiedades Del Cemento**

En esta parte nos referiremos a las propiedades tanto Físicas como las propiedades químicas es de suma importancia ya que nosotros desarrollaremos una nueva investigación para comprobar si la nueva mezcla tiene las mismas propiedades que la del cemento comercial.

- **Diseño Del Experimento**

El experimento tiene como objetivo modelar, utilizando métodos numéricos, el comportamiento de materiales compuestos como el hormigón. Introducir en los modelos el efecto de materiales aditivos, como puzolanas, en la composición de los materiales estructurales. Coordinar los trabajos de modelación con la experimentación de laboratorio, con el objetivo de lograr el mayor ajuste de los modelos con la realidad del comportamiento del material compuesto.

- **Experimentación**

Analizaremos el comportamiento del cemento al introducir un porcentaje de aditivo (limolita) en diferentes tiempos de curado y las variables cuyos valores se mantendrán constantes serán la relación agua/mezcla y la granulometría del material. En cuanto a las condiciones de curado, se establecerá el curado al ambiente y el curado bajo agua para nuestro aditivo nos toca el curado en agua, también haremos una comparación de resultados obtenidos mediante la modelación por computadora y datos empíricos obtenidos de la experimentación en el laboratorio.

Cada compuesto (% puzolana + cemento) será analizado para realizar ensayos mecánicos a 7, 14, 21, 28 días. Esto servirá para estudiar la afectación que la adición de la puzolana tiene hacia la resistencia a la compresión por cada tiempo de ensayo.

- **Análisis De Datos y Resultados**

Realizaremos las pruebas necesarias para garantizar nuestra hipótesis de investigación mediante un análisis estadístico para lo cual usaremos el método mas adecuado para nuestra experimentación. Para nuestro análisis estadístico usamos una confiabilidad del 95%, con un programa estadístico , trabajamos los datos y los evaluamos con regresión múltiple el cual nos arrojará una ecuación la cual se la analizara con los valores experimentales para analizar cuanto es el error y luego se la analizara con los datos de esfuerzo de ruptura de validación

- **Identificar El Mejor Esfuerzo De Ruptura**

Luego de haber hecho realizado los estudios estadísticos podremos demostrar en que condiciones se encuentra el mejor esfuerzo de ruptura.

1.5. Estructura De La Tesis

En esta tesis se dividirá en cinco capítulos en el primero se hablara de las generalidades en el segundo el marco teórico en el cual se investigo sobre el cemento, la puzolana, el curado, en el tercer capitulo se hablara de experimento y sus procesos en el cuarto el análisis de los datos obtenidos en el experimento y en el quinto capitulo los resultados y la conclusión.

CAPITULO 2

2. MARCO TEORICO

2.1. Tipos De Cemento

Entre todos los distintos tipos de cemento, el cemento Pórtland normalmente es el que se utiliza más ampliamente en la construcción de edificios. En pocas palabras, se fabrica mezclando y sometiendo dos materiales a fusión incipiente, uno de ellos compuesto principalmente de cal y el otro, un material arcilloso con un contenido de silicio, aluminio y hierro. Después de la fusión, se pulveriza el material resultante o escoria de cemento, llamada en ocasiones clinker. En comparación con el cemento natural, el Pórtland fragua más lentamente, pero es mucho más resistente y de calidad más uniforme. Al especificarlo, se acostumbra a exigir que cumpla con las especificaciones para cemento Pórtland (ASTM C 150) o con las

especificaciones para cemento Pórtland con inclusión de aire (ASTM C 175) de la America Society for Testing Materials.

El cemento portland de alta resistencia rápida tiene gran ventaja cuando es necesario obtener rápidamente un concreto de alta resistencia, como en el caso de caminos o en la construcción de edificios durante épocas de bajas temperaturas. En general, el concreto de alta resistencia rápida tiene las mismas resistencias a los 3 y 7 días, que las del concreto normal a los 7 y 28 días de edad. Al adquirir su resistencia de manera tan rápida, se desarrolla en el concreto considerable cantidad de calor, la cual tiende a impedir congelamiento bajo condiciones climáticas adversas. [1]

Todo portland y todos cementos mezclados son cementos hidráulicos. Los cementos hidráulicos es el término generoso para describir cementos que se sedimentan y se endurecen reaccionando químicamente con agua. Los cementos portland son usados en todos los aspectos de construcciones de concreto. Diferentes tipos de cementos portland son fabricados por los diversos requisitos físicos y químicos necesitados para los propósitos específicos. Para esto contamos con algunas especificaciones ASTM C 150, *Standard Specification for Portland Cement*. Las normas ASTM C 150 se

divide en ocho tipos de cemento portland y usa numero romanos para designarlos y son los siguientes.

- **Tipo I**

Tipo I el cemento portland es un cemento de propósito general adecuado para todos los usos donde las propiedades provisionales de otros tipos no son requeridas. Sus usos en cemento armado incluyen pavimentos, pisos, edificios de cemento armado, puentes, tanques, alcubilla, tubería, unidad de la obra de mampostería, y productos concretos vaciados de antemano.

- **Tipo I Modificados Con Puzolana (MP)**

Para uso en construcciones generales de concreto. El uso del cemento tipo I (PM) no puede efectuarse en aquellos casos donde se desean las características especiales atribuibles a las mayores cantidades de Puzolana que se utilizan en el cemento Tipo P.

- **Cemento Puzolanico Tipo P**

Para usos en construcciones donde no sean necesarias altas resistencias a la compresión a tempranas edades.

- **Cemento Portland I Modificado Con Caliza Tipo I (MC)**

Para usos en construcciones generales de concreto.

- **Tipo II**

Es de uso general, especialmente para cuando se requiera una resistencia moderada al ataque de sulfatos o de un moderado calor de hidratación.

- **Tipo III**

El de tipo III para usos cuando se requiera una alta y temprana resistencia a la compresión.

- **Tipo IV**

Para uso cuando se requiera un bajo calor de hidratación.

- **Tipo V**

Para uso cuando se desea una alta resistencia al ataque de sulfato. [2]

- **Propiedades Físicas**

Los cementos hidráulicos descritos anteriormente deben cumplir con las especificaciones físicas de la tabla 1 mostrada.

TABLA 1

ESPECIFICACIONES FÍSICAS DE LOS CEMENTOS [1]

CARACTERÍSTICAS FÍSICAS Y MECANICAS	TIPOS DE CEMENTOS							
	I	I(MP)	I(MC)	P	II	III	IV	V
Clinker, % mínimo	90	80	80	55	95	95	95	95
Adiciones permitidas Filler calizo %	0-5	0-5	0-15	0-5	0	0	0	0
Puzolana %		0-15	0	0-40	0	0	0	0
Regulador fraguado % máximo	5	5	5	5	5	5	5	5
Contenido de aire en el mortero, % vol. Máximo	12	12	12	12	12	12	12	12
Prueba de permeabilidad al aire m ² /Kg. mínimo	280	300	300	300	280		280	280
Contracción o Expansión autoclave % máximo	0,8	0,5	0,5	0,5	0,8	0,8	0,8	0,8
Resistencia a compresión mínima, según edades, Mpa								
1 día						12,4		
3 días	12,4	12,4	12,4		10,3	24,1		8,3
7 días	19,3	19,3	19,3	10,3	17,2		6,9	15,2
28 días				20,7			17,2	20,7
Vicart								
Fraguado inicial, mínimo en minutos	45	45	45	45	45	45	45	45
Fraguado final, máximo en minutos	375	375	375	375	375	375	375	375
Guilmore								
Fraguado inicial, mínimo en minutos	60	60	60	60	60	60	60	60
Fraguado final, máximo en horas	10	10	10	10	10	10	10	10

- **Composición Química**

Los cementos hidráulicos anteriores deben cumplir las especificaciones de la tabla 2.

TABLA 2
ESPECIFICACIONES QUIMICAS DE LOS CEMENTOS [2]

COMPOSICION	TIPOS DE CEMENTOS							
	I	II	III	IV	V	I(MP)	I(MC)	P
Oxido de silice (SiO ₂), % mín.		20						
Oxido de aluminio (Al ₂ O ₃), % max.		6						
Oxido de hierro (Fe ₂ O ₃), % máx.		6		6,5				
Oxido de magnesio (MgO), % máx.	5	6	6	6	6	5	5	5
Trióxido de azufre (SO ₃), % máx.						4		4
Cuando C3A es 8 % o menor	3	3	3,5	2,3	2,3		3	
Cuando C3A es mayor que 8 %	3,5		4,5				3,5	
Pérdida por ignición, % máx.	5	3	3	2,5	3	5	7	5
Residuo insoluble, % máx.	3	0,75	0,75	0,75	0,75		5	
Silicato Tricálcico (C ₃ S), % mín.				35				
Silicato dicálcico (C ₂ S), % mín.				40				
Aluminato tricálcico (C ₃ A), % máx.		8	15	7	5			

2.2. Puzolanas

La Puzolana es el nombre que recibe la ceniza volcánica, que proviene de la población de Puzzuoli, en las faldas del Vesubio, donde ya era explotada en tiempos de los romanos. Posteriormente el término fue extendiéndose a todos aquellos materiales que por sus propiedades similares a la Puzolana de origen natural podían tener usos sustitutos. De hecho hoy una de sus acepciones más comunes es la de la grava que frena los escapes de las curvas en competiciones automovilísticas. [3]

- **¿Que Es Una Puzolana?**

Las puzolanas son materiales silíceos o alumino-silíceos quienes por sí solos poseen poco o ningún valor cementante, pero cuando se han dividido finamente y están en presencia de agua reaccionan químicamente con el hidróxido de calcio a temperatura ambiente para formar compuestos con propiedades cementantes.

[4]

- **Tipos De Puzolana**

Las puzolanas se dividen en dos grandes grupos las puzolanas naturales y las puzolanas artificiales y las veremos a continuación.

- **Puzolanas Naturales**

Son principalmente rocas tobáceas, volcánicas vítreas de naturaleza traquítica alcalina o pumítica. También son puzolanas naturales las harinas fósiles de naturaleza silícica como la diatomita.

- **Puzolanas Artificiales**

Son determinados subproductos silíceos vítreos, como las cenizas volantes. También pueden serlo ciertas arcillas térmicamente activadas y determinadas escorias metalúrgicas y pueden ser.

Cenizas volantes: Las cenizas que se producen en la combustión de carbón mineral (lignito) fundamentalmente en las plantas térmicas de generación de electricidad.

Arcillas activadas o calcinadas artificialmente: Por ejemplo residuos de la quema de ladrillos de arcilla y otros tipos de arcilla que hayan estado sometidas a temperaturas superiores a los 800 °C.

Escorias de fundición: Principalmente de la fundición de aleaciones ferrosas en altos hornos. Estas escorias deben ser violentamente enfriadas para lograr que adquieran una estructura amorfa.

Las cenizas de residuos agrícolas: La ceniza de cascarilla de arroz y las cenizas del bagazo y la paja de la caña de azúcar.

Cuando son quemados convenientemente, se obtiene un residuo mineral rico en sílice y alúmina, cuya estructura depende de la temperatura de combustión. [5]

- **Ventajas De La Puzolana**

Las ventajas que ofrece el cemento puzolánico sobre el resto se detallan a continuación: [6]

- Mayor defensa frente a los sulfatos y cloruros.
- Mayor resistencia frente al agua de mar.
- Aumento de la impermeabilidad ante la reducción de grietas en el fraguado.
- Reducción del calor de Hidratación.
- Incremento en la resistencia a la compresión.
- Incrementa la resistencia del acero a la corrosión.
- Aumenta la resistencia a la Abrasión.
- Aumento en la durabilidad del cemento.
- Disminuye la necesidad de agua.

2.3. Métodos de Curado Del cemento

El curado es el mantenimiento de un adecuado contenido de humedad y temperatura en el concreto a edades tempranas, de manera que este pueda desarrollar las propiedades para la cual fue diseñada la mezcla. El curado comienza inmediatamente después del vaciado (colado) y el acabado, de manera que el concreto pueda desarrollar las resistencias y la durabilidad deseada. [7]

- **¿Porque Se Cura?**

Existen varias razones muy importantes que las detallaremos a continuación.

Ganancia de resistencia predecible: Los ensayos de laboratorio en un ambiente seco muestran que el concreto puede perder un 50 % de su resistencia comparado con el concreto similar curado en condiciones húmedas.

Durabilidad mejorada: El concreto bien curado tiene mejor dureza superficial y resistirá mejor el desgaste superficial y la abrasión. El curado también hace al concreto más impermeable

al agua en conclusión aumenta la durabilidad y la vida en servicio.

Mejores condiciones de servicio y apariencia: Una losa de concreto a la que se le ha permitido a que se seque demasiado temprano tendrá una superficie frágil con pobre resistencia al desgaste y la abrasión. [8]

- Métodos que mantiene la presencia de humedad en el concreto durante cortos periodos de endurecimientos. Estos pueden ser estancamiento o inmersión, roseado y revestimientos mojados.
- Métodos que reducen la perdida de humedad para la superficie del concreto y estos pueden ser recubrimiento de papel o plástico y la aplicación de membranas.
- Métodos que aceleran la ganancia de resistencia suministrando calor y esto se lo puede realizar mediante vapor de caldera, cepertin calefactor o eléctricamente calentadas. [9]

- **Tipos De Curado**

- **Estancamiento o Inmersión**

Un perímetro de tierra o de aserrín alrededor de la superficie del concreto puede ayudar para retención de agua. El estancamiento es el método ideal para la prevención de la pérdida de humedad en el concreto y por inmersión este es el método mas eficiente pero mayormente se lo utiliza para pruebas en los laboratorios.

- **Roseado**

La aspersión de agua de forma continua es adecuada si la temperatura del aire esta bien por encima de la congelación. No se debe permitir que el concreto se seque entre humedecimientos, pues ciclos alternativos de humedecimiento y secado no son una práctica aceptable de curado.

- **Recubrimiento Húmedo**

Mantas o esteras de algodón o yute humedecidas con una manguera o un aspersor. Debe de tener cuidado de no dejar que se queden secas y que le absorban el agua al concreto. Los bordes de las mantas deben traslaparse y con contrapesos para que no se levante con el viento.

- **Recubrimiento Con Plásticos o Papel**

Laminas plásticas, ya sean claras, blancas o pigmentadas. Los plásticos deben estar conformes a la ASTM C 171. Los plásticos deben ser puestos en contacto directo con la superficie del concreto. El plástico no debe ser utilizado donde es importante la apariencia.

El papel impermeable es utilizado como las laminas plásticas pero estas no manchan la superficie. Este papel consiste generalmente en dos capas de papel kraft cementadas juntas y reforzadas con fibra. El papel debe estar conforme ASTM C 171. [10]

- **Compuestos Curadores De Membranas**

Estos deben estar conformes con la ASTM C 309. Se aplican a las superficies del concreto alrededor de una hora después del acabado. No se aplica al concreto que aun esta exudando o que tiene un brillo visible de agua sobre la superficie. Puede ser adecuado una capa sencilla, pero donde sea posible es deseable para un mejor recubrimiento aplicar una segunda capa en dirección perpendicular a la primera. [11]

- **Relación Agua-Cemento**

Podemos pensar que el concreto es como una pasta de agua y cemento, bien mezcla con agregados finos y gruesos; cuando se endurece la pasta, las partículas de arena y de piedra triturada se encuentran estrechamente ligadas entre si y forman una masa pétreo sólida. La calidad de la pasta la determinan las proporciones de agua y cemento; de igual manera, la resistencia, la impermeabilidad y la intemperie del concreto ya fraguado depende también de la relación agua-cemento. Esta relación se expresa mediante un número que

indica la calidad de litros de agua por cada saco de cemento de 50 kg.

Las pruebas realizadas en los laboratorios demuestran que, dentro de los límites razonables, cuanto menos agua haya por saco de cemento, mayor será la resistencia del concreto; sin embargo, debemos recordar que el concreto debe ser fácil de manejar o trabajable, esto es, debe tener tal consistencia que permita su fácil colocación dentro de las cimbras. Cuando ya se ha establecido la relación agua-cemento deseada, en función del grado de exposición y de la resistencia requerida se selecciona la mejor combinación de agregados para producir un concreto económico y estable. Recuérdese que para un material dado, lo que determina principalmente la resistencia es la relación del volumen de agua al cemento. En la tabla 3 puede usarse como una guía para mezclas de concreto de distintas resistencias. [12]

TABLA 3

**RELACION AGUA-CEMENTO MAXIMAS PERMISIBLES PARA
CONCRETO[3]**

Concreto con inclusión de aire		Concreto con inclusión de aire		Concreto sin inclusión de aire		Concreto con inclusión de aire	
Resistencia mínima de compresión especificada a los 28 días, Kg./cm ²	Relación en litros de agua por saco de 50 Kg.	Relación absoluta por peso	Relación en litros de agua por saco de 50 Kg.	Relación absoluta por peso	Relación absoluta por peso	Relación absoluta por peso	Relación absoluta por peso
175	32.1	0.642	27.8	0.554			
210	28.9	0.576	28.3	0.465			
245	25.6	0.51	20.1	0.399			
280	22.2	0.443	17.8	0.354			

- **Dosificación**

El primer paso para determinar las proporciones de los distintos ingredientes del concreto es establecer la relación agua-cemento; ésta depende del grado de exposición a que estará sometido y de la resistencia deseada. El siguiente paso es decidir la combinación de agregados finos y gruesos a fin de producir un concreto de plasticidad manejable.

El principio general que rige las proporciones de los agregados es que la pasta de cemento y el agregado fino deben llenar los huecos del agregado grueso, dichos huecos dependen del tipo de material y de su tamaño. El volumen de los huecos es algo menor de la mitad del volumen del agregado y se acostumbra utilizar una cantidad de arena igual a la mitad del volumen de piedra triturada. Expresaremos las proporciones en el orden siguiente: cemento, arena y agregado por ejemplo la mezcla podría ser 1:2:4, $1:2\frac{1}{2}:5$, 1:3:6. Muy a menudo, los agregados finos y gruesos se expresan mediante un solo número y una mezcla de 1:2:4 se escribe 1:6; la razón es que el volumen de arena no es siempre la mitad del volumen de la piedra triturada, ya que sería más económico usar una mezcla de $1:2\frac{1}{2}:3\frac{1}{2}$. Sin embargo, esto no es más que otra manera de expresar una proporción de 1:6.

En la tabla 4 se indican algunas proporciones recomendables del agregado respecto al volumen del concreto, dependiendo de la finura de la arena; la relación más pequeña correspondiente a la arena más fina [13].

TABLA 4

**PROPORCIONES RECOMENDADAS DEL AGREGADO CON RESPECTO
AL VOLUMEN DEL CONCRETO**

Tamaño máxima del agregado		Relación del agregado grueso al volumen del concreto	
Pulg.	cm.	Mínima	Máxima
$\frac{3}{8}$	0,95	0,4	0,46
$\frac{3}{4}$	1,9	0,59	0,65
1 y mayores	2,54 y mayores	0,64	0,7

2.4. Diseño Factorial

El diseño factorial es como voy a obtener la ecuación para el modelo estadístico.

- **Regresión Lineal**

El objeto de un análisis de regresión es investigar la relación estadística que existe entre una variable dependiente (Y) y una o más variables independientes (X_1, X_2, X_3, \dots). Debido a su simplicidad analítica, la forma funcional que más se utiliza en la práctica es la relación lineal. Cuando solo existe una variable independiente, esto se reduce a una línea recta:

$$\hat{Y} = b_0 + b_1 X$$

Donde los coeficientes b_0 y b_1 son parámetros que definen la posición e inclinación de la recta. (Nótese que hemos usado el símbolo especial \hat{Y} para representar el valor de Y calculado por la recta. Como veremos, el valor real de Y rara vez coincide exactamente con el valor calculado, por lo que es importante hacer esta distinción.)

El parámetro b_0 , conocido como la “ordenada en el origen,” nos indica cuánto es Y cuando $X = 0$. El parámetro b_1 , conocido como la “pendiente,” nos indica cuánto aumenta Y por cada aumento de una unidad en X . Nuestro problema consiste en obtener estimaciones de estos coeficientes a partir de una muestra de observaciones sobre las variables Y y X . En el análisis de regresión, estas estimaciones se obtienen por medio del método de mínimos cuadrados.

- **Estimación de la recta de regresión**

Para estimar los coeficientes por medio de mínimos cuadrados, se utilizan las siguientes fórmulas:

$$b_1 = \frac{\sum XY - \bar{y} \sum X}{\sum X^2 - \bar{x} \sum X}$$

$$b_0 = \bar{y} - b\bar{x}$$

- **Coefficiente de Determinación (R^2)**

Una pregunta importante que se plantea en el análisis de regresión es la siguiente: ¿Qué porcentaje de la variación total en Y se debe a la variación en X ? En otras palabras, ¿cuál es la proporción de la variación total en Y que puede ser “explicada” por la variación en X ? El estadístico que mide esta proporción o porcentaje se denomina *coeficiente de determinación*:

$$R^2 = 1 - \frac{\sum e^2}{\sum (Y - \bar{y})^2}$$

- **Regresión Múltiple.**

Hasta ahora hemos considerado únicamente el caso de la regresión simple. En el caso más general de la regresión múltiple, existen dos o más variables independientes.

$$Y = b_0 + b_1 X_1 + b_2 X_2 + \dots$$

La estimación de los coeficientes de una regresión múltiple es un cálculo bastante complicado y laborioso, por lo que se requiere del empleo de programas de computación especializados. Sin embargo, la interpretación de los coeficientes es similar al caso de la regresión simple: el coeficiente de cada variable independiente mide el efecto separado que esta variable tiene sobre la variable dependiente. El coeficiente de determinación, por otro lado, mide el porcentaje de la variación total en Y que es explicado por la variación *conjunta* de las variables independientes.

2.5. Estado Del Arte

En el presente estudio, es un modelo matemático ha sido desarrollado para predecir las propiedades del cemento con respecto al hecho de que existe una relación entre los parámetros definidos por Knudsen, el cual ha tratado de establecer la dependencia funcional directa entre el grado de hidratación y la resistencia a la compresión por medio de la variable tiempo a demás este modelo brinda la oportunidad de predecir la resistencia a la compresión

basada en el desarrollo de medir el calor durante las 48 h de hidratación del cemento. [16]

Si bien la mayoría de grano grueso de cerámicas son frágiles, las nano-fibras de cerámicas puede pueden aportar importantes propiedades de ductilidad antes del colapso. Karch et al. (1987) fue la primera persona que se dio cuenta de eso. El nano-cristalino TiO_2 producido por Hahn y Averback (1991) también exhibió comportamiento dúctil esto se lo realizo para que nano-granos de la cerámica tenga aplicaciones estructurales. Recientemente Kim en el (2001) sintetizo una nano-cerámica en tres fases 40 vol. % ZrO_2 , 30 vol. % $(\text{MgAl}_2\text{O}_4)$ y 30 vol. % Al_2O_3 con esta composición multifasética podría mantener estable el tamaño del grano [1]. Para la determinación de la resistencia a la compresión de materiales muy heterogéneo se creo un algoritmo basado en una discretización de elementos finitos del límite inferior este teorema se aplica a las imágenes digitales esto lo podemos realizar siguiendo el criterio de Drucker-Prager el cual es validado por un material compuesto laminado, en donde hay una solución de análisis, y luego se aplican a imágenes 2D. Se muestra que el algoritmo converge con malla de perfeccionamiento hacia los resultados experimentales. [17]

Violeta Petkova trata del uso de modelos modelo para la determinación componentes compuestos de cemento aquí se demuestra la utilización de este enfoque sobre la influencia de los cambios de resistencia a la compresión durante dos edades investigadas 28 y 365 días. Los resultados obtenidos confirman el efecto positivo mecánico-químicos de activación de los ácidos, escoria granulada y los nuevos activos utilizados en el aditivo. Se demuestra la reacción escoria alcalina. [18]. También un modelo numérico de meso escala es útil para la caracterización de materiales a base de cemento. La mesoscópica es el primer modelo que trata en función del tiempo de comportamiento. La parte analítica del modelo se desarrolla mediante solidificación y teoría de Kelvin y series de Dirichlet. En general este modelo esta basado en tres etapas. El agregado, la forma y la clasificación han sido diseñados de acuerdo a normas americanas. [19]. Aquí también se puede observar la simulación mediante mesoniveles que fueron utilizadas para describir los procesos de fractura en hormigón y estas son herramientas apropiadas para describir los efectos cualitativos y cuantitativos independiente a las propiedades mecánicas de diferentes componentes de los materiales. Estos modelos han sido desarrollados para simulaciones bajo tensión y es porque el fracaso

del cemento armado bajo tensión es mucho más claro y fácil de implementar que bajo compresión. [5]

En Nueva Jersey el departamento de transporte realizó la evaluación experimental del módulo de elasticidad de concretos elaborados a partir de mezclas, utilizando diversos porcentajes de ceniza volante, humos de sílice y granos de escoria de altos hornos el cual fue comparado con los de control a diversos periodos de tiempos comprendidos entre 1 y 90 días. En este estudio también se investigó el efecto del curado en el módulo de elasticidad aquí se evaluaron tres métodos de curación (1) curado al aire seco, (2) curado compuesto y (3) curado húmedo. Los resultados mostraron que la adición de humo de sílice ayudó un incremento en la resistencia, sin embargo no hubo cambios en el módulo entre los 28 y 56 días. La adición de 20% de ceniza volante varió los diferentes porcentajes de humo de sílice, teniendo un efecto negativo en la resistencia como en el módulo. También se pudo comprobar que el curado en seco reduce el módulo de elasticidad en comparación que el curado realizado en húmedo. [6]

CAPITULO 3

3. Metodología

3.1. Recolección de Datos

Los datos obtenidos en el experimento con un porcentaje de limonita del 25 % en los diferentes días del curado serán unidos en una tabla grupal donde los demás integrantes del grupo con los demás porcentajes de limonita 5, 10, 15, 20 que también realizaron el ensayo de resistencia a la compresión.

3.2. Diseño del Experimento

- **Introducción**

Este método de ensayo se refiere a la determinación del esfuerzo de ruptura de una muestra de pasta de cemento de.

- **Equipos**

Los equipos que utilizaremos de acuerdo a especificación serán:

Balanza: se ajustará al Especificación de requisitos de C 1005.

El dispositivo de pesaje será evaluado por la precisión y el sesgo en una carga total de 2000 g.

Moldes para 50 mm³: Los moldes no tendrán más de tres compartimiento y podrán separarse en no más de dos partes y estos deben de ser de metal y su dureza no debe ser menor de 55 HRB.

Mezclador: Es un equipo impulsado eléctricamente, este viene equipado con paletas y un tazón de mezcla.

Habitación húmeda: De conformidad con los requisitos de la especificación C 511.

Maquina de Ensayo: Esta puede ser hidráulica o de tipo tornillo esta deberá tener una tolerancia de $\pm 1.0\%$. Si la carga aplicada por compresión es restringida en un dial, el dial debe de estar provisto de una escala graduada que se pueda leer, al menos, la mas cercana al 0.1% de la escala máxima de la carga. Si la maquina de ensayo de carga se indica en forma digital, la visualización numérica debe ser lo suficiente grande que se pueda leer fácilmente.

- **Materiales**

Los materiales utilizados en nuestro experimento son el cemento Pórtland Tipo I y Limolita.

- **Temperatura**

La temperatura del aire alrededor de la mezcla, moldes, y el tazón deberán mantenerse entre 23.0 ± 3.0 °C, la temperatura del tanque de agua para el curado deberá tener entre 23.0 ± 2 °C.

3.3. Experimentación

- **Materia Prima**

El material que a nuestro grupo nos toco trabajar es la limolita la cual fue concedida por la Holcin de sus propios yacimientos la tritución de a roca se la realizo en grupo.



FIGURA 3.1. LIMOLITA EN ROCA

- **Trituración**

Se realizo la molienda de la limolita que estaba en forma de roca pasándola por diferentes procesos de molido para obtener una granulometría de 45 micras que es la del cemento los cuales los veremos a continuación.

Primero a nuestro roca de limolita la trituramos con un combo para que su tamaño disminuya para que pueda ingresar en la trituradora de mandíbulas que es por la primer maquina que ingresamos nuestro material aquí en esta maquina se la paso por dos ocasiones.



FIGURA 3.2. TRITURADORA DE MANDIBULAS

Luego se la llevo a la siguiente maquina que es la trituradora de rodillos por la cual se la paso por dos ocasiones.



FIGURA 3.3. TRITURADORA DE RODILLOS

Una vez terminado el proceso se procedió a cuartear el material para dividirlo en dos porciones.



FIGURA 3.4. CUARTEADOR DE MATERIAL

Luego cogimos una de las dos partes del material que fue cuarteado para llevarlo a la siguiente máquina que es el molino de disco aquí también lo pasamos por dos ocasiones.



FIGURA 3.5. MOLINO DE DISCO

Terminado el proceso en el molino de disco lo llevamos al último proceso que es el molino de bolas aquí se lo deja por 45 minutos a 90 minutos dependiendo que tan fino uno requiera la granulometría.



FIGURA 3.6. MOLINO DE BOLAS

Luego se retiro el material del molino de bolas y se lo coloco en un recipiente para de allí tomar 100gr de limolita que es una muestra representativa de todo el material existente en el recipiente.



FIGURA 3.7. BALANZA

Pesada la limolita se toman cuatro tamices #50, #100, #200, #325 y el fondo por los cuales deberá pasar la limolita para que verificar que pase un 80% de su totalidad.



FIGURA 3.8. TAMICES

Estos tamices se los coloca en forma vertical y luego se los lleva a una maquina que es el tamizador eléctrico.



FIGURA 3.9. TAMIZADOR ELECTRICO

Pasados unos quince minutos se procedió a revisar cuanto de la masa total había pasado por los diferentes tamices.



FIGURA 3.10. VERIFICACION DE MASA

TABLA 5

VERIFICACIÓN DE MASA EN LOS TAMICES

Limolita	
# Tamiz	Masa (gr)
50	5
100	8
200	12
325	75

- **Composición De Los Morteros**

Los moldes previamente se los limpio con detergente y una lija # 600 para que su superficie que libre de impurezas luego se le aplico una delgada capa de aceite para que la mezcla no se pegue en las paredes del molde.



FIGURA 3.11. MOLDES

Se utilizaron para nuestro experimento limolita, cemento Pórtland tipo I y agua tanto para mi porcentaje normal como para mi validación de acuerdo a la siguiente tabla 5:

Tabla 6

COMPOSICIÓN DEL MORTERO CON 25% DE LIMOLITA

25% de Limolita	
Material	Masa (gr)
Limolita	750
Portland tipo I	2250
Agua	900
Masa Total	3900

Del mismo modo ese mismo también realizamos la preparación del mortero para los días de validación la cual tendrá un porcentaje de 27.5% de Limolita y los valores de masa lo veremos en la siguiente tabla 6:

TABLA 7

COMPOSICIÓN DEL MORTERO CON 27.5% DE LIMOLITA

27.5% de Limolita	
Material	Masa (gr)
Limolita	825
Portland tipo I	2175
Agua	900
Masa Total	3900

- **Mezclado**

Después de haber pesado los distintos materiales en la balanza se procede a realizar el mezclado del mismo en una bandeja de

aluminio vertimos la Limolita y luego el cemento Pórtland tipo I esto lo llevamos a una maquina mezcladora para que se homogenice mejor la limolita con el cemento Pórtland pasado un tiempo de dos minutos se procede a verter los 900gr de agua esta mezcla se la deja en la maquina durante un periodo de quince minutos para luego colocar en los moldes este procedimiento se lo realiza tanto para el 25% de limolita como para el 27.5% de limolita.



FIGURA 3.12. MEZCLADO

Luego de haber realizado la mezcla esta se la coloca en los moldes con mucha precaución para que la misma no se riegue por los alrededores y se lo punzona con una paleta para que la mezcla entre en todos los rincones del molde.



FIGURA 3.13. MOLDEO

Este proceso se lo realiza de la misma manera tanto para el porcentaje normal como para el de validación la temperatura cuando se realizo la mezcla fue de 25.3 °C y una humedad relativa de 72 HR.



FIGURA 3.14. MOLDES PREPARADOS

Al día siguiente realizamos el desmolde y se los marca de la siguiente manera G5/Porcentaje/días de curado y se los coloca en una bandeja con agua. Las pruebas de ensayo de compresión se lo realiza en dos maquinas la de ensayos universal que en esta se realizaron las pruebas a 4 días ya que el rango permitido por la maquina era el adecuado. El formato de la tabla que se llenaba el día de la experimentación es el siguiente:

TABLA 8

FORMATO Y DÍAS DE EXPERIMENTACION

G5-%-Día				
Temperatura °C				
Humedad Relativa HR				
Masa (gr)				
M1				
M2				
M3				
Marca (0,001")		Fuerza (lbf o kgf)		
		M1	M2	M3
0				
5				
10				
15				
20				

CAPÍTULO 4

4. ANALISIS Y RESULTADOS

4.1. Tabulación de Datos

Los resultados obtenidos luego de los días de curado ya sean estos para los valores experimentales como los valores de validación se los analizara en dos grupos el primero los valores normales que son a los 7, 14,21 y 28 días de curado y luego los de validación que son a los 4, 11,18 y 25 días de curado.

Para calcular el esfuerzo aplicamos la siguiente formula.

$$\sigma = \frac{F}{A}$$

Para calcular el modulo E lo hacemos de punto a punto con los valores de esfuerzo y deformación ya que esta es la pendiente.

$$E = \frac{(y_2 - y_1)}{(x_2 - x_1)}$$

Para calcular el conector plástico m se lo calculo con la siguiente formula y esto se lo realizo para tener un rango del conector plástico en cada muestra.

$$m = \frac{((ModuloE * UltimaDeformacion) - UltimoEsfuerzo)}{ModuloE}$$

Para obtener el valor máximo de deflexión a con respecto al modulo de fluencia tenemos.

$$a = \left(\frac{UltimoEsfuerzo}{EsfuerzoFluencia} \right) - 1$$

Los puntos que se generan en el grafico Esfuerzo vs. Deformación se les aplico una tendencia cúbica porque es la curva que menos puntos desprecia luego sacamos la ecuación de la curva la cual aplicándole la segunda derivada y esta a su vez igualándola a cero nos da el punto donde cambia de concavidad mi curva que para nuestro calculo seria nuestro esfuerzo de fluencia y vemos que punto de la deformación esta más próximo.

La modelación la realizamos aplicando Inelasticidad para cada muestra y luego lo realizamos para la muestra promedio ya que

contamos con los parámetros que el modelo necesita que son E , σ_y , m y a .

- **Curado en Agua con 25% de Limolita, 7 días de curado.**

Los datos obtenidos fueron los siguientes>

TABLA 9

RESULTADOS PARA LOS SIETE DÍAS DE CURADO Y CON 25% DE LIMOLITA

G5-25%-7			
Temperatura °C		24,7	
Humedad Relativa HR		68,2	
Masa (gr)			
M1	214,6		
M2	213,3		
M3	273,8		
Marca (0,001")	Fuerza (lbf)		
	M1	M2	M3
0	0	0	0
5	350	230	200
10	850	480	550
15	1700	920	1300
20	2800	1700	2300
25	4300	3000	3700
30	6250	4300	5250
35	7750	5750	6500
40	9000	7750	7750
45	11000	9000	9750
50	13000	11250	11500
55	14000	13250	12750
60	14750	14000	13750

Una vez obtenidos nuestros datos se realizaron las conversiones correspondientes de milésimas de pulgada a milímetros y de lbf a newton el área con la que trabajamos todos nuestros datos es $2.58 \cdot 10^{-3} \text{ m}^2$. El análisis que se realizó se hizo por cada muestra para luego con las tres muestras de cada día se realizó un promedio de todos los esfuerzos en las diferentes deformaciones para también ver más adelante cual es el mejor día donde tenemos nuestro esfuerzo de ruptura más elevado, los valores de m y a también fueron encontrados en cada muestra para tener una base cuantitativa de cómo comenzar nuestros valores en la modelación.

- **Muestra M1**

De la figura 1 de anexos obtenemos la ecuación para la muestra M1:

$$y = -1\text{E}+06x^3 + 72739x^2 - 109,62x + 0,2138$$

Aplicando $y' = 0$ tenemos:

$$x = 0.0242$$

En la tabla 1 de anexos el más aproximado es:

$$x \approx 0.0250$$

El esfuerzo de fluencia es $\sigma_y = 22.41$ MPa y el Modulo de elasticidad $E = 896.32$ con un $m = 0.0116$ y $a = 0.1346$

- **Muestra M2**

De la figura 1 de anexos obtenemos la ecuación para la muestra M2:

$$y = -919622x^3 + 63657x^2 - 269,15x + 0,3667$$

Aplicando $y'' = 0$ tenemos:

$$x = 0.0225$$

En la tabla 2 de anexos nos damos cuenta que para ese punto E promedio es muy bajo con respecto al 830.50 y para el cálculo tomamos el esfuerzo de fluencia 22.84 el más aproximado es:

$$x \approx 0.0275$$

El esfuerzo de fluencia es $\sigma_y = 22.84$ MPa y el Modulo de elasticidad $E = 830.5$ MPa con un $m = 0.05$ y $a = 0.56$

- **Muestra M3**

De la figura 1 de anexos obtenemos la ecuación para la muestra M3:

$$y = -1E+06x^3 + 60186x^2 - 102,49x + 0,0938$$

Aplicando $y'' = 0$ tenemos:

$$x = 0.0217$$

$$x \approx 0.0225$$

En la tabla 3 de anexos nos damos cuenta que para ese punto E promedio es muy bajo con respecto al 799.17 y para el cálculo tomamos el esfuerzo de fluencia 21.98 MPa.

- **Promedio**

Para analizar una curva que involucre las tres muestras sacamos una curva promedio. De la figura 2 de anexos obtenemos la ecuación para la muestra promedio:

$$y = -1E+06x^3 + 65528x^2 - 160,42x + 0,2247$$

Aplicando $y'' = 0$ tenemos:

$$x = 0.0264$$

En la tabla 4 de anexos el más aproximado es:

$$x \approx 0.0250$$

El esfuerzo de fluencia es:

$\sigma_y = 22.98$ MPa y el Modulo de elasticidad $E = 835.7$

TABLA 10

ESFUERZOS DE FLUENCIA CON 25% DE LIMOLITA Y 7 DÍAS DE CURADO

7 Días – 25%			
σ_y de Fluencia (MPa)	E	m	a
17,09	835.72	0,0008	0,0625

- **Modelación para M1**

En la figura 3 de anexos podemos observar la curva de modelación y la curva de experimentación variando $m = 0.02$ y $a = 0.25$

- **Modelación para M2**

En la figura 4 de anexos podemos observar la curva de modelación y la curva de experimentación variando $m = 0.01$ y $a = 0.2$

- **Modelación para M3**

En la figura 5 de anexos podemos observar la curva de modelación y la curva de experimentación variando $m = 0.013$ y $a = 0.41$

- **Modelación para la curva promedio**

En la figura 6 de anexos podemos observar la curva de modelación y la curva de experimentación variando $m = 0.05$ y $a = 3.3$

- **Curado en Agua con 25% de Limolita, 14 días de curado**

Los datos obtenidos fueron los siguientes

TABLA 11

RESULTADOS PARA LOS 14 DÍAS DE CURADO Y CON 25% DE LIMOLITA

G5-25%-14			
Temperatura °C		24,1	
Humedad Relativa HR		72,3	
Masa (gr)			
M1	273,6		
M2	274,4		
M3	276,2		
Marca (0,001")	Fuerza (lbf)		
	M1	M2	M3
0	0	0	0
5	900	900	800
10	2600	3400	2200
15	6000	12800	3900
20	11000	18300	10600
25	18000	30500	19500
30	25500	43500	30500
35	32500	46500	39500
40	35800		43000

- **Muestra M1**

De la figura 7 de anexos obtenemos la ecuación para la muestra M1:

$$y = -1E+07x^3 + 464605x^2 - 1530,5x + 1,0864$$

Aplicando $y'' = 0$ tenemos:

$$x = 0.0155$$

En la tabla 5 de anexos el más aproximado es:

$$x \approx 0.0175$$

El esfuerzo de fluencia es $\sigma_y = 56.02$ MPa y el Modulo de elasticidad $E = 3201.14$ MPa

- **Muestra M2**

De la figura 7 de anexos obtenemos la ecuación para la muestra M2:

$$y = -3E+07x^3 + 870202x^2 - 2591,6x + 1,0577$$

Aplicando $y'' = 0$ tenemos:

$$x = 0.0087$$

En la tabla 6 de anexos el más aproximado es $x = 0.0100$ pero el modulo de elasticidad es aun muy bajo y por eso tomamos el $E = 4998.7$ y el esfuerzo de fluencia $\sigma_y = 74.98$ MPa

- **Muestra M3**

De la figura 7 de anexos obtenemos la ecuación para la muestra M3:

$$y = -2E+07x^3 + 677109x^2 - 3252x + 2,347$$

Aplicando $y'' = 0$ tenemos:

$$x = 0.0113$$

En la tabla el más aproximado es:

$$x \approx 0.0125$$

En la tabla 7 de anexos el más aproximado es $x = 0.0125$ pero el modulo de elasticidad es aun muy bajo y por eso tomamos el $E = 3890.6$ MPa y el esfuerzo de fluencia $\sigma_y = 68.09$ MPa

- **Promedio**

Para analizar una curva que involucre las tres muestras sacamos una curva promedio. De la figura 8 de anexos obtenemos la ecuación para la muestra promedio:

$$y = -2E+07x^3 + 713820x^2 - 2701,7x + 1,6688$$

Aplicando $y'' = 0$ tenemos:

$$x = 0.0119$$

En la tabla 8 de anexos el más aproximado es:

$$x \approx 0.0125$$

En la tabla 8 de anexos el más aproximado es $x = 0.0125$ pero el modulo de elasticidad es aun muy bajo y por eso tomamos el $E = 3890.6$ MPa y el esfuerzo de fluencia $\sigma_y = 68.09$ MPa.

TABLA 12

ESFUERZOS DE FLUENCIA CON 25% DE LIMOLITA Y 14 DÍAS DE CURADO

14 Días – 25%			
σ_y de Fluencia (MPa)	E	m	a
68.09	3890.6	0,0010	0,8516

- **Modelación para M1**

En la figura 9 de anexos podemos observar la curva de modelación y la curva de experimentación variando $m = 0.008$ y $a = 0.4$

- **Modelación para M2**

En la figura 10 de anexos podemos observar la curva de modelación y la curva de experimentación variando $m = 0.2$ y $a = 1$

- **Modelación para M3**

En la figura 11 de anexos podemos observar la curva de modelación y la curva de experimentación variando $m = 0.09$ y $a = 1$

- **Modelación para la curva promedio**

En la figura 12 de anexos podemos observar la curva de modelación y la curva de experimentación variando $m = 0.3$ y $a = 1$

- **Curado en Agua con 25% de Limolita, 21 días de curado**

Los datos obtenidos fueron los siguientes:

TABLA 13

RESULTADOS PARA LOS 21 DÍAS DE CURADO Y CON 25% DE LIMOLITA

G5-25%-21			
Temperatura °C		23,4	
Humedad Relativa HR		69,7	
Masa (gr)			
M1	274,7		
M2	281,3		
M3	276,5		
Marca (0,001")	Fuerza (lbf)		
	M1	M2	M3
0	0	0	0
5	2000	2700	2300
10	8200	8400	6500
15	13500	18300	13300
20	22100	28500	27000
25	34500	37000	39000
30	42500	43500	48000
35	44500	46000	50500

- **Muestra M1**

De la figura 13 de anexos obtenemos la ecuación para la muestra M1:

$$y = -3E+07x^3 + 819760 x^1 - 1327,5x + 1,042$$

Aplicando $y'' = 0$ tenemos:

$$x = 0.0091$$

En la tabla el más aproximado es:

$$x \approx 0.0100$$

En la tabla 9 de anexos el más aproximado es $x = 0.0100$ pero el módulo de elasticidad es aún muy bajo y por eso tomamos el $E = 4883.7$ MPa de la E Acum. y el esfuerzo de fluencia $\sigma_y = 73.26$ MPa.

- **Muestra M2**

De la figura 13 de anexos obtenemos la ecuación para la muestra M2:

$$y = -3E+07x^3 + 821581x^2 - 238,03x + 0,0705$$

Aplicando $y'' = 0$ tenemos:

$$x = 0.0113$$

En la tabla 10 de anexos el más aproximado es:

$$x \approx 0.0125$$

El esfuerzo de fluencia es:

$$\sigma_y = 63.78 \text{ MPa y el Modulo de elasticidad } E = 5102 \text{ MPa}$$

- **Muestra M3**

De la figura 13 de anexos obtenemos la ecuación para la muestra M3:

$$y = -4E+07x^3 + 1E+06x^2 - 3076,1x + 1,708$$

Aplicando $y'' = 0$ tenemos:

$$x = 0.0085$$

En la tabla el más aproximado es:

$$x \approx 0.0100$$

En la tabla 11 de anexos el más aproximado es $x = 0.0100$ pero el módulo de elasticidad es aún muy bajo y por eso tomamos el $E = 5515.81$ MPa de la E Acum. y el esfuerzo de fluencia $\sigma_y = 82.74$ MPa.

- **Promedio**

Para analizar una curva que involucre las tres muestras sacamos una curva promedio. De la figura 14 de anexos obtenemos la ecuación para la muestra promedio:

$$y = -3E+07x^3 + 933150x^2 - 1547,2x + 0,9402$$

Aplicando $y'' = 0$ tenemos:

$$x = 0.0114$$

En la tabla 12 de anexos el más aproximado es:

$$x \approx 0.0125$$

El esfuerzo de fluencia es:

$\sigma_y = 63.49$ MPa y el Modulo de elasticidad $E = 5132.76$

TABLA 14

ESFUERZOS DE FLUENCIA CON 25% Y 21 DÍAS DE CURADO

21 Días – 25%			
σ_y de Fluencia (MPa)	E	m	a
63,49	5132,76	0,0017	0,2760

- **Modelación para M1**

En la figura 15 de anexos podemos observar la curva de modelación y la curva de experimentación variando $m = 0.9$ y $a = 1.1$

- **Modelación para M2**

En la figura 16 de anexos podemos observar la curva de modelación y la curva de experimentación variando $m = 0.04$ y $a = 1$

- **Modelación para M3**

En la figura 17 de anexos podemos observar la curva de modelación y la curva de experimentación variando $m = 0.7$ y $a = 1$

- **Modelación para la curva promedio**

En la figura 18 de anexos podemos observar la curva de modelación y la curva de experimentación variando $m = 0.008$ y $a = 1.5$

- **Curado en Agua con 25% de Limolita, 28 días de curado**

Los datos obtenidos fueron los siguientes:

TABLA 15

RESULTADOS PARA LOS 28 DÍAS DE CURADO Y CON 25% DE LIMOLITA

G5-25%-28			
Temperatura °C		22,6	
Humedad Relativa HR		73,8	
Masa (gr)			
M1	273,2		
M2	269,1		
M3	273,8		
Marca (0,001")	Fuerza (lbf)		
	M1	M2	M3
0	0	0	0
5	4400	3500	5700
10	13200	13300	15500
15	22600	23400	29000
20	30000	34500	40000
25	38000	44500	49000
30	47000	50000	52500
35	48500		

- **Muestra M1**

De la figura 19 de anexos obtenemos la ecuación para la muestra M1:

$$y = -2E+07x^3 + 464575x^1 + 2626,6x - 0,344$$

Aplicando $y'' = 0$ tenemos:

$$x = 0.0073$$

En la tabla el más aproximado es:

$$x \approx 0.0100$$

En la tabla 13 de anexos el más aproximado es $x = 0.0100$ pero el módulo de elasticidad es aún muy bajo y por eso tomamos el $E = 5400$ MPa de la E Acum. y el esfuerzo de fluencia $\sigma_y = 81.01$ MPa.

- **Muestra M2**

De la figura 19 de anexos obtenemos la ecuación para la muestra M2:

$$y = -4E+07x^3 + 883842x^2 + 921,49x - 0,2586$$

Aplicando $y'' = 0$ tenemos:

$$x = 0.0074$$

En la tabla 14 de anexos el más aproximado es:

$$x \approx 0.0075$$

En la tabla el más aproximado es $x = 0.0075$ pero el módulo de elasticidad es aún muy bajo y por eso tomamos el $E = 6136$ MPa de la E Acum. y el esfuerzo de fluencia $\sigma_y = 76.7$ MPa.

- **Muestra M3**

De la figura 19 de anexos obtenemos la ecuación para la muestra M3:

$$y = -5E+07x^3 + 989234x^2 + 1738,5x - 0,0575$$

Aplicando $y' = 0$ tenemos:

$$x = 0.0088$$

En la tabla 15 de anexos el más aproximado es:

$$x \approx 0.0100$$

El esfuerzo de fluencia es:

$$\sigma_y = 68.95 \text{ MPa y el Modulo de elasticidad } E = 68.94 \text{ MPa.}$$

- **Promedio**

Para analizar una curva que involucre las tres muestras sacamos una curva promedio. De la figura 19 de anexos obtenemos la ecuación para la muestra promedio:

$$y = -3E+07x^3 + 787157x^2 + 1723,9x - 0,1994$$

Aplicando $y' = 0$ tenemos:

$$x = 0.0087$$

En la tabla 16 de anexos el más aproximado es:

$$x \approx 0.0100$$

El esfuerzo de fluencia es:

$$\sigma_y = 60.04 \text{ MPa y el Modulo de elasticidad } E = 6004.18$$

TABLA 16

ESFUERZOS DE FLUENCIA CON 25% DE LIMOLITA Y 28 DÍAS DE CURADO

28 Días – 25%			
σ_y de Fluencia (MPa)	E	m	a
60,04	6004,18	0,0036	0,1065

- **Modelación para M1**

En la figura 21 de anexos podemos observar la curva de modelación y la curva de experimentación variando $m = 0.03$

y

$$a = 0.2$$

- **Modelación para M2**

En la figura 22 de anexos podemos observar la curva de modelación y la curva de experimentación variando $m = 0.08$ y $a = 1$

- **Modelación para M3**

En la figura 23 de anexos podemos observar la curva de modelación y la curva de experimentación variando $m = 0.0055$ y $a = 1.7$

- **Modelación para la curva promedio**

En la figura 24 de anexos podemos observar la curva de modelación y la curva de experimentación variando $m = 0.006$ y $a = 1.86$

- **Curado en Agua con 27.5% de Limolita, 4 días de curado**

Los datos obtenidos fueron los siguientes

TABLA 17

RESULTADOS PARA LOS 4 DÍAS DE CURADO Y CON 27.5% DE LIMOLITA

G5-27,5%-4			
Temperatura °C	23,6		
Humedad Relativa HR	68,4		
Masa (gr)			
M1	268,4		
M2	269,1		
M3	272,6		
Marca (0,001")	Fuerza (kgf)		
	M1	M2	M3
0	0	0	0
5	200	300	350
10	780	770	900
15	2020	1750	1900
20	3350	3180	3450
25	4700	4350	5250
30	6250	5700	6600
35	7750	6800	8500
40	9600	7850	10250
45	11250	8900	11400
50	12900	9750	12750
55	14500	10900	13250
60	15750	12100	
65		13150	
70		14000	
75		14750	

- **Muestra M1**

De la figura 25 de anexos obtenemos la ecuación para la muestra M1:

$$y = -3E+06x^3 + 144298x^2 + 42,872x - 0,058$$

Aplicando $y'' = 0$ tenemos:

$$x = 0.0201$$

En la tabla 17 de anexos el más aproximado es:

$$x \approx 0.0200$$

En la tabla 17 de anexos el más aproximado es $x = 0.0200$ pero el módulo de elasticidad es aún muy bajo y por eso tomamos el $E = 2003.68$ MPa de la E Acum. y el esfuerzo de fluencia $\sigma_y = 55.1$ MPa.

- **Muestra M2**

De la figura 25. De anexos obtenemos la ecuación para la muestra M2:

$$y = -779915x^3 + 44372x^2 + 954,38x - 1,2846$$

Aplicando $y'' = 0$ tenemos:

$$x = 0.0210$$

En la tabla 18 de anexos el más aproximado es:

$$x \approx 0.0225$$

El esfuerzo de fluencia es:

$$\sigma_y = 33.82 \text{ MPa y el Modulo de elasticidad } E = 1503.14 \text{ MPa}$$

- **Muestra M3**

De la figura 25 obtenemos la ecuación para la muestra M3:

$$y = -4E+06x^3 + 190160x^2 - 193,95x + 0,2199$$

Aplicando $y'' = 0$ tenemos:

$$x = 0.0158$$

En la tabla 19 de anexos el más aproximado es:

$$x \approx 0.0175$$

El esfuerzo de fluencia es:

$$\sigma_y = 32.30 \text{ MPa y el Modulo de elasticidad } E = 2888.06$$

- **Promedio**

Para analizar una curva que involucre las tres muestras sacamos una curva promedio. De la figura 26 de anexos obtenemos la ecuación para la muestra promedio:

$$y = -2E+06x^3 + 92202x^2 + 682,39x - 1,1805$$

Aplicando $y'' = 0$ tenemos:

$$x = 0.0217$$

En la tabla 20 de anexos el más aproximado es:

$$x \approx 0.0225$$

El esfuerzo de fluencia es:

$$\sigma_y = 39.96 \text{ MPa y el Modulo de elasticidad } E = 1754.37$$

TABLA 18

ESFUERZOS DE FLUENCIA CON 27.5% DE LIMOLITA Y 4 DÍAS DE CURADO

4 Días – 27.5%			
σ_y de Fluencia (MPa)	E	m	a
39,96	1754,37	0,0056	1,385

- **Modelación para M1**

En la figura 27 de anexos podemos observar la curva de modelación y la curva de experimentación variando $m = 0.08$

y

$$a = 1$$

- **Modelación para M2**

En la figura 28 de anexos podemos observar la curva de modelación y la curva de experimentación variando $m =$

$$0.0152 \text{ y } a = 1.75$$

- **Modelación para M3**

En la figura 29 de anexos podemos observar la curva de modelación y la curva de experimentación variando $m = 0.01$ y

$$a = 0.7$$

- **Modelación para la curva promedio**

En la figura 30 de anexos podemos observar la curva de modelación y la curva de experimentación variando $m = 0.019$ y $a = 1.1$

- **Curado en Agua con 27.5% de Limolita, 11 días de curado**

Los datos obtenidos fueron los siguientes:

TABLA 19

RESULTADOS PARA LOS 11 DÍAS DE CURADO Y CON 27.5% DE LIMOLITA

G5-27.5%-11			
Temperatura °C		23,7	
Humedad Relativa HR		77,14	
Masa (gr)			
M1	226,7		
M2	235,1		
M3	239,6		
Marca (0,001")	Fuerza (lbf)		
	M1	M2	M3
0	0	0	0
5	800	1900	3500
10	2700	5900	10500
15	5600	15600	14800
20	14900	22300	22000
25	21800	33500	26500
30	28500	37500	30000
35	34000		32000
40	38500		

- **Muestra M1**

De la figura 31 de anexos obtenemos la ecuación para la muestra M1:

$$y = -2E+07x^3 + 578384x^2 - 1814,7x + 0,8044$$

Aplicando $y' = 0$ tenemos:

$$x = 0.0096$$

En la tabla 21 de anexos el más aproximado es:

$$x \approx 0.0100$$

En la tabla 21 de anexos el más aproximado es $x = 0.0100$ pero el módulo de elasticidad es aún muy bajo y por eso tomamos el $E = 3348$ MPa de la E Acum. y el esfuerzo de fluencia $\sigma_y = 58.61$ MPa.

- **Muestra M2**

De la figura 31 de anexos obtenemos la ecuación para la muestra M2:

$$y = -3E+07x^3 + 856920x^2 - 1286,2x + 0,4309$$

Aplicando $y'' = 0$ tenemos:

$$x = 0.0082$$

En la tabla 22 de anexos el más aproximado es:

$$x \approx 0.0100$$

En la tabla 22 de anexos el más aproximado es $x = 0.0100$ pero el módulo de elasticidad es aún muy bajo y por eso tomamos el $E = 4619$ MPa de la E Acum. y el esfuerzo de fluencia $\sigma_y = 57.74$ MPa.

- **Muestra M3**

De la figura 31 de anexos obtenemos la ecuación para la muestra M3:

$$y = -1E+07x^3 + 246301x^2 + 2440,8x - 0,3238$$

Aplicando $y'' = 0$ tenemos:

$$x = 0.0095$$

En la tabla 23 de anexos el más aproximado es:

$$x \approx 0.0100$$

El esfuerzo de fluencia es:

$$\sigma_y = 37.92 \text{ MPa y el Modulo de elasticidad } E = 3792.12 \text{ MPa.}$$

- **Promedio**

Para analizar una curva que involucre las tres muestras sacamos una curva promedio. De la figura 32 de anexos obtenemos la ecuación para la muestra promedio:

$$y = -1E+07x^3 + 399127x^2 + 760,33x - 0,4521$$

Aplicando $y'' = 0$ tenemos:

$$x = 0.0133$$

En la tabla 24 de anexos el más aproximado es:

$$x \approx 0.0125$$

El esfuerzo de fluencia es:

$\sigma_y = 47.00$ MPa y el Modulo de elasticidad $E = 3759.94$

TABLA 20

ESFUERZOS DE FLUENCIA CON 27.5% DE LIMOLITA Y 11 DÍAS DE CURADO

11 Días – 27.5%			
σ_y de Fluencia (MPa)	E	m	a
47,00	3759,94	0,0024	0,412

- **Modelación para M1**

En la figura 33 de anexos podemos observar la curva de modelación y la curva de experimentación variando $m = 0.01$

y

$a = 1$

- **Modelación para M2**

En la figura 34 de anexos podemos observar la curva de modelación y la curva de experimentación variando $m = 0.06$

y $a = 1$

- **Modelación para M3**

En la figura 35 de anexos podemos observar la curva de modelación y la curva de experimentación variando $m = 0.01$

y

$a = 0.9$

- **Modelación para la curva promedio**

En la figura 36 de anexos podemos observar la curva de modelación y la curva de experimentación variando $m = 0.015$

y $a = 1.0$

- **Curado en Agua con 27.5% de Limolita, 18 días de curado**

Los datos obtenidos fueron los siguientes:

TABLA 21

RESULTADOS PARA LOS 18 DÍAS DE CURADO Y CON 27.5% DE LIMOLITA

G5-27,5%-18			
Temperatura °C		24,3	
Humedad Relativa HR		75,1	
Masa (gr)			
M1	253,4		
M2	239,1		
M3	243,1		
Marca (0,001")	Fuerza (lbf)		
	M1	M2	M3
0	0	0	0
5	1600	700	1100
10	4700	3100	4000
15	12900	10900	8800
20	22100	16600	17300
25	30000	24200	26500
30	35500	31500	33000
35	41000	41000	41500
40		45000	45500

- **Muestra M1**

De la figura 37 de anexos obtenemos la ecuación para la muestra M1:

$$y = -2E+07x^3 + 711533x^2 - 1022,4x + 0,1645$$

Aplicando $y' = 0$ tenemos:

$$x = 0.0119$$

En la tabla 25 de anexos el más aproximado es:

$$x \approx 0.0125$$

El esfuerzo de fluencia es:

$\sigma_y = 51.71$ MPa y el Modulo de elasticidad $E = 4136.85$ MPa.

- **Muestra M2**

De la figura 37 de anexos obtenemos la ecuación para la muestra M2:

$$y = -1E+07x^3 + 496184x^2 - 766,88x - 0,0313$$

Aplicando $y'' = 0$ tenemos:

$$x = 0.0165$$

En la tabla 26 de anexos el más aproximado es:

$$x \approx 0.0175$$

El esfuerzo de fluencia es:

$\sigma_y = 70.67$ MPa y el Modulo de elasticidad $E = 4038.36$ MPa.

- **Muestra M3**

De la figura 37 de anexos obtenemos la ecuación para la muestra M3:

$$y = -2E+07x^3 + 605813x^2 - 1442,3x + 0,679$$

Aplicando $y'' = 0$ tenemos:

$$x = 0.0101$$

En la tabla 27 de anexos el más aproximado es:

$$x \approx 0.0100$$

En la tabla 27 de anexos el más aproximado es $x = 0.0100$ pero el módulo de elasticidad es aún muy bajo y por eso tomamos el $E = 4087.61$ MPa de la E Acum. y el esfuerzo de fluencia $\sigma_y = 71.53$ MPa.

- **Promedio**

Para analizar una curva que involucre las tres muestras sacamos una curva promedio: De la figura 38 de anexos obtenemos la ecuación para la muestra promedio:

$$y = -2E+07x^3 + 557086x^2 - 809,54x + 0,0821$$

Aplicando $y'' = 0$ tenemos:

$$x = 0.0113$$

En la tabla 28 de anexos el más aproximado es:

$$x \approx 0.0125$$

En la tabla 28 de anexos el más aproximado es $x = 0.0125$ pero el módulo de elasticidad es aún muy bajo y por eso tomamos el $E = 4054.77$ MPa de la E Acum. y el esfuerzo de fluencia $\sigma_y = 70.96$ MPa.

TABLA 22

ESFUERZOS DE FLUENCIA CON 27.5% DE LIMOLITA Y 18 DÍAS DE CURADO

18 Días - 27,5%			
σ_y de Fluencia (MPa)	E	m	a
70.96	40.54	0,0010	0,6822

- **Modelación para M1**

En la figura 39 de anexos podemos observar la curva de modelación y la curva de experimentación variando $m = 0.006$ y $a = 0.95$

- **Modelación para M2**

En la figura 40 de anexos podemos observar la curva de modelación y la curva de experimentación variando $m = 0.0075$ y $a = 0.9$

- **Modelación para M3**

En la figura 41 de anexos podemos observar la curva de modelación y la curva de experimentación variando $m = 0.18$ y

$$a = 1.7$$

- **Modelación para la curva promedio**

En la figura 42 de anexos podemos observar la curva de modelación y la curva de experimentación variando $m = 0.01$ y $a = 1.63$

- **Curado en Agua con 27.5% de Limolita, 25 días de curado**

Los datos obtenidos fueron los siguientes:

TABLA 23

RESULTADOS PARA LOS 25 DÍAS DE CURADO Y CON 27.5% DE LIMOLITA

G5-27,5%-25			
Temperatura °C		23,7	
Humedad Relativa HR		77,1	
Masa (gr)			
M1	263,1		
M2	274,6		
M3	253,3		
Marca (0,001")	Fuerza (lbf)		
	M1	M2	M3
0	0	0	0
5	600	1100	1900
10	1600	4600	6800
15	5100	11900	16800
20	11200	17100	22500
25	21100	24000	33500
30	30500	31500	42000
35	40000	34500	47500
40	44000		

- **Muestra M1**

De la figura 43 obtenemos la ecuación para la muestra M1:

$$y = -2E+07x^3 + 676144x^2 - 3064,4x + 1,8734$$

Aplicando $y' = 0$ tenemos:

$$x = 0.0113$$

En la tabla 29 de anexos el más aproximado es:

$$x \approx 0.0125$$

En la tabla 29 de anexos el más aproximado es $x = 0.0125$ pero el módulo de elasticidad es aún muy bajo y por eso tomamos el $E = 3939.86$ MPa de la E Acum. y el esfuerzo de fluencia $\sigma_y = 68.95$ MPa.

- **Muestra M2**

De la figura 43 de anexos obtenemos la ecuación para la muestra M2:

$$y = -2E+07x^3 + 523733x^2 - 457,46x - 0,0078$$

Aplicando $y'' = 0$ tenemos:

$$x = 0.0087$$

En la tabla 30 de anexos el más aproximado es:

$$x \approx 0.0100$$

En la tabla $x = 0.0100$ pero el módulo de elasticidad es aún muy bajo y por eso tomamos el $E = 3619.75$ MPa de la E Acum. y el esfuerzo de fluencia $\sigma_y = 54.30$ MPa.

- **Muestra M3**

De la figura 43 de anexos obtenemos la ecuación para la muestra M3:

$$y = -2E+07x^3 + 623364x^2 - 63,202x - 0,0705$$

Aplicando $y'' = 0$ tenemos:

$$x = 0.0104$$

En la tabla 31 de anexos el más aproximado es:

$$x \approx 0.0125$$

En la tabla $x = 0.0125$ pero el módulo de elasticidad es aún bajo y por eso tomamos el $E = 4826.33$ MPa de la E Acum. y el esfuerzo de fluencia $\sigma_y = 72.39$ MPa.

- **Promedio**

Para analizar una curva que involucre las tres muestras sacamos una curva promedio. De la figura 44 de anexos obtenemos la ecuación para la muestra promedio:

$$y = -2E+07x^3 + 597386x^2 - 1136,5x + 0,5572$$

Aplicando $y'' = 0$ tenemos:

$$x = 0.0118$$

En la tabla 32 de anexos el más aproximado es:

$$x \approx 0.0125$$

En la tabla $x = 0.0125$ pero el módulo de elasticidad es aún bajo y por eso tomamos el $E = 4005.52$ MPa de la E Acum. y el esfuerzo de fluencia $\sigma_y = 70.10$ MPa.

TABLA 24

ESFUERZOS DE FLUENCIA CON 27.5% DE LIMOLITA Y 25 DÍAS DE CURADO

25 Días - 27,5%			
σ_y de Fluencia (MPa)	E	m	a
70.10	4005.52	0,0010	0,6794

- **Modelación para M1**

En la figura 45 de anexos podemos observar la curva de modelación y la curva de experimentación variando $m = 0.97$ y $a = 1.7$

- **Modelación para M2**

En la figura 46 de anexos podemos observar la curva de modelación y la curva de experimentación variando $m = 0.5$ y $a = 1.2$

- **Modelación para M3**

En la figura 47 de anexos podemos observar la curva de modelación y la curva de experimentación variando $m = 0.006$ y $a = 0.05$

- **Modelación para la curva promedio**

En la figura 48 de anexos podemos observar la curva de modelación y la curva de experimentación variando $m = 0.007$ y $a = 2.0$

4.2. Análisis de Resultados

- **Análisis de la modelación**

Para el análisis de modelación lo realizamos con cada muestra de cada día y lo realizamos tanto para el esfuerzo de ruptura como para el esfuerzo de fluencia y de los dos sacamos un promedio para ver que tan ajustado esta mi modelo matemático con la curva de experimentación.

TABLA 25

ERRORES EXPERIMENTALES

Días de Curado	Experimentación		Modelación		Error (%)
	Esfuerzo de ruptura	Esfuerzo de fluencia	Esfuerzo de ruptura	Esfuerzo de fluencia	
7	25,42	22,41	25,6	22,43	0,40
	24,13	22,84	24,12	22,83	0,04
	23,7	21,98	23,68	21,98	0,04
14	61,71	56,02	61,68	56,02	0,02
	81,53	74,98	81,6	74,98	0,04
	74,12	68,09	74,14	68,12	0,04
21	76,7	73,26	76,7	73,26	0,00
	79,29	63,78	79,4	63,9	0,16
	87,05	82,74	87,05	82,74	0,00
28	83,6	81,01	83,8	81	0,13
	86,18	76,7	86,15	76,6	0,08
	90,49	68,95	90,49	68,95	0,00

TABLA 26

ERRORES DE VALIDACIÓN

Días de Curado	Experimentación		Modelación		Error (%)
	Esfuerzo de ruptura	Esfuerzo de fluencia	Esfuerzo de ruptura	Esfuerzo de fluencia	
4	56,7	55,1	57	55,1	0,26
	56,05	33,82	56	33,82	0,04
	50,35	32,3	50,4	32,3	0,05
11	66,36	58,61	66,35	58,59	0,02
	64,64	57,74	64,6	57,74	0,03
	55,16	37,92	55,1	38	0,16
18	70,67	51,71	70,5	51,7	0,13
	77,57	70,67	77,5	70,6	0,09
	78,43	71,53	78,5	71,5	0,07
25	75,84	68,95	75,82	68,5	0,34
	59,47	54,3	59,6	54,3	0,11
	81,88	72,39	81,85	72	0,29

- **Análisis para 25% de Limolita**

Un procedimiento muy común que se usa para tratar con la prueba de medias poblacionales se llama análisis de varianza. Utilizamos el enfoque de análisis de varianza para dividir la suma total de cuadrados en una parte que se debe a la regresión y otra debida al error. Para nuestro experimento vamos a trabajar con tres observaciones o también llamadas replicas a cuatro diferentes dias de curado a los cuales se les llama tratamientos.

TABLA 27

RESULTADOS DE ESFUERZOS DE RUPTURA CON 25% DE LIMOLITA

Muestras (MPa)	Días de curado en agua			
	7	14	21	28
M1	25,42	61,71	76,70	83,60
M2	24,13	80,15	79,29	86,18
M3	23,70	74,12	87,05	90,49

El interés se encuentra en probar la igualdad de las medias de los tratamientos.

$$H_0 = \mu_1 = \mu_2 = \mu_3 = \mu_4$$

$H_1 =$ Al menos dos de las medias no son iguales

En el procedimiento del análisis de varianza puede usarse para probar la hipótesis de que a diferentes días de curado no afectan la resistencia a la compresión media de las muestras.

TABLA 28

RESISTENCIA A LA COMPRESION CON 25% DE LIMOLITA

	7	14	21	28	
	25,42	61,71	76,70	83,60	
	24,13	80,15	79,29	86,18	
	23,70	74,12	87,05	90,49	
Total	73,26	215,98	243,04	260,28	792,55
Media	24,42	71,99	81,01	86,76	66,05

Es muy importante analizar gráficamente los datos del experimento aquí se presenta el diagrama de caja del esfuerzo de ruptura a los diferentes días de curado.

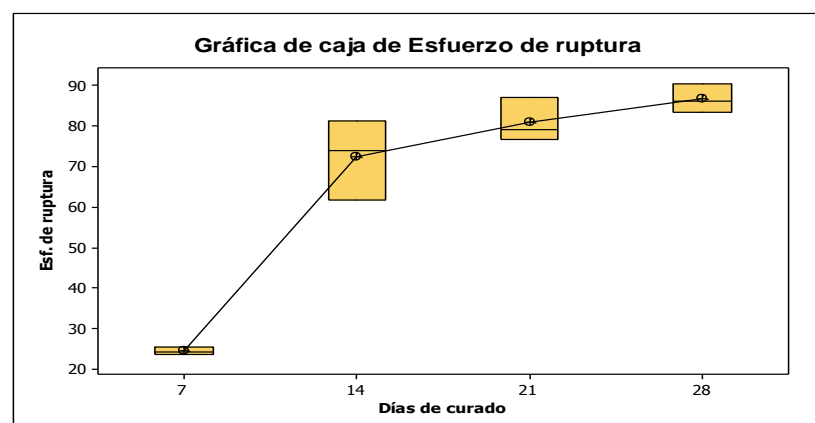


FIGURA 4.1. GRÁFICA DE CAJA DE ESFUERZO DE RUPTURA

Los cálculos para este procedimiento de prueba por lo general se resumen en forma tabular como se muestra en la tabla siguiente ya esta se la llama tabla de análisis de varianza.

TABLA 29

TABLA GENERAL DE ANÁLISIS DE VARIANZA

Fuente de variación	Suma de cuadrados	Grados de libertad	Cuadrado medio	f calculada
Tratamientos	SSA	k - 1	$s_1^2 = \frac{SSA}{k - 1}$	$\frac{s_1^2}{s}$
Error	SSE	k(n-1)	$s^2 = \frac{SSE}{k(n-1)}$	
Total	SST	nk - 1		

En donde las siglas significan:

SSA = Suma de cuadrados de tratamiento

SSE = Suma de cuadrados del error

SST = Suma total de cuadrados

k = Número de tratamientos

n = Número de replicas

Muchos paquetes de software tienen la capacidad de analizar datos de experimentos diseñados utilizando el análisis de varianza en la tabla 59 se presenta la salida de la rutina del análisis de varianza simple del programa estadístico. Los resultados del programa también incluyen intervalos de confianza de 95% para la media de cada tratamiento individual.

TABLA 30

TABLA DE RESULTADOS DEL ANÁLISIS DE VARIANZA PARA 25%

Fuente de variación	Suma de cuadrados	Grados de libertad	Cuadrado medio	f calculada
Días de curado	37276.7	3	2425.6	69.67
Error	8278.5	8	34.8	
Total	117555.3	11		

Este programa también nos da $P = 0.0001$ y además:

$S = 5.9$ $R\text{-cuad.} = 96.31\%$ $R\text{-cuad. (ajustado)} = 94.93\%$

Se usará $\alpha = 0.01$ en la tabla buscamos $f_{0.01,3,8} = 7.59$ y por consiguiente se rechaza H_0 porque $f_{3,8} > f$ numéricamente sería.

$$P = P(7.59 > 69.67) \cong 0.0001$$

Puesto que P es considerablemente mas pequeño que $\alpha = 0.01$ se cuenta con evidencia sólida para rechazar H_0 . También el programa nos da intervalos de confianza de 95% individuales para la media basados en la desviación estándar agrupada.

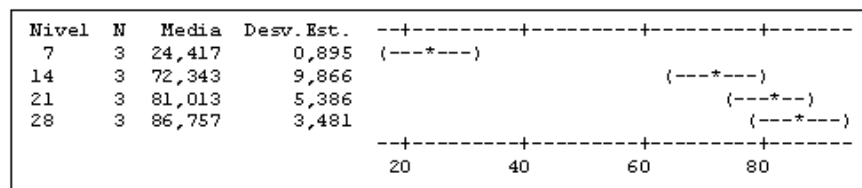


FIGURA 4.2. INTERVALOS DE CONFIANZA INDIVIDUALES

La desviación estándar agrupada = 5.9

También se encontraron los Intervalos de confianza simultáneos de Tukey del 95%. Todas las comparaciones de dos a dos entre los niveles de Días de curado.

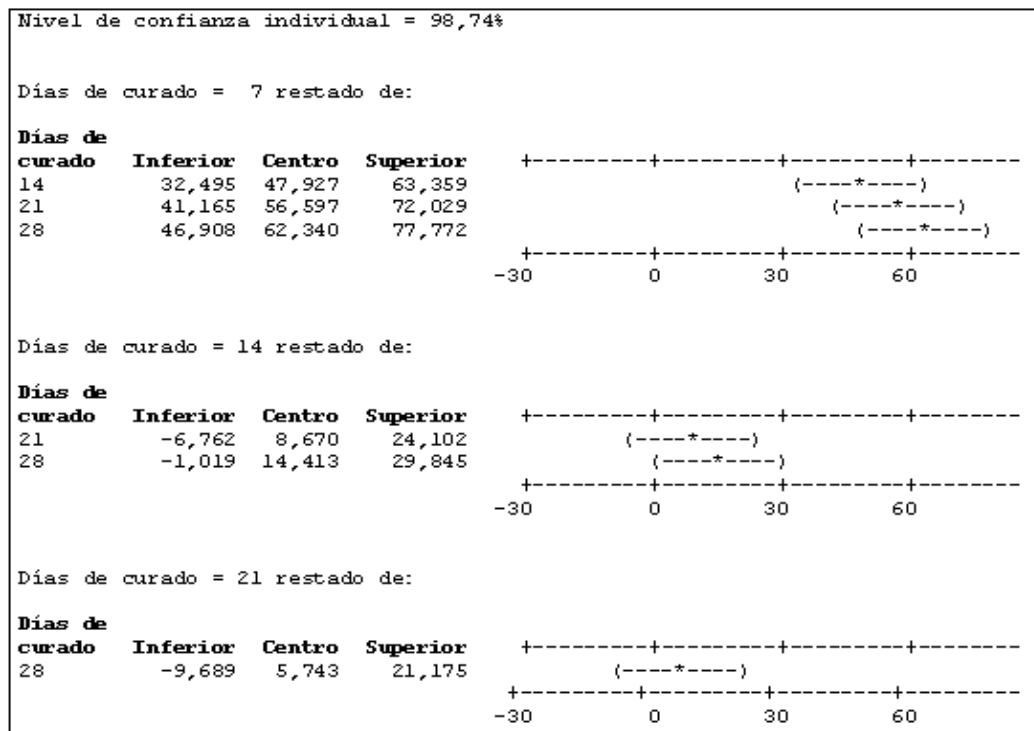


FIGURA 4.3. INTERVALOS DE CONFIANZA DE TUKEY

En el análisis de varianza del modelo de un factor, se supone que las observaciones siguen una distribución normal con la misma varianza para cada tratamiento. Estos supuestos deberán verificarse examinando los residuos. Un residuo es la diferencia entre una observación y su valor estimado o ajustado en el modelo.

TABLA 31

RESIDUOS PARA EXPERIMENTO CON 25% DE LIMOLITA

Residuos	Días de curado con 25% de limolita			
	7	14	21	28
	1,00	-10,63	-4,31	-3,16
	-0,29	8,86	-1,72	-0,58
	-0,72	1,78	6,04	3,73

El supuesto de normalidad puede verificarse construyendo una gráfica de probabilidad normal de los residuales. Para verificar el supuesto de la igualdad de las varianzas.

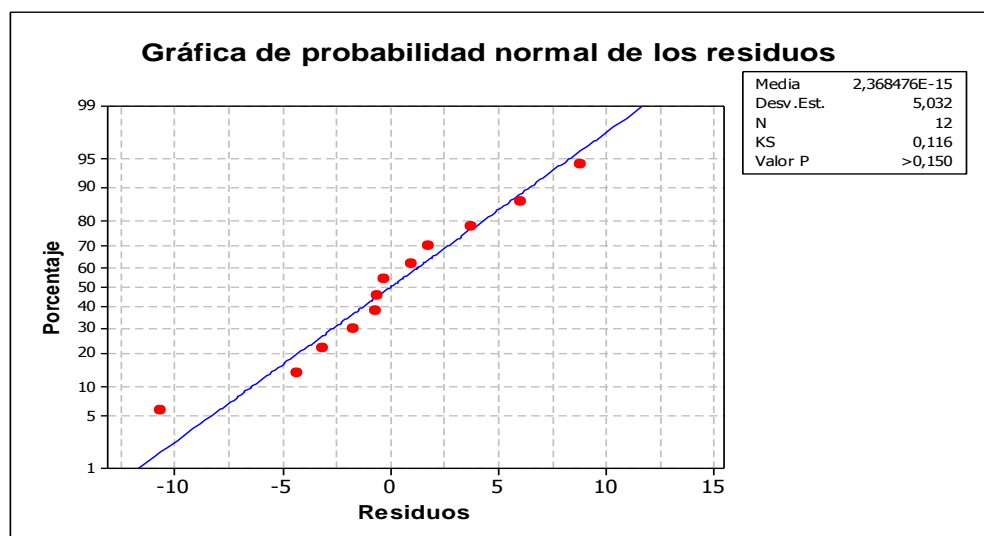


FIGURA 4.4. GRÁFICA DE PROBABILIDAD NORMAL DE LOS RESIDUOS

En esta gráfica no revelan ninguna falta de adecuación del modelo ni algún problema con los supuestos. También

realizamos una gráfica en 3D para visualizar mejor nuestro experimento.

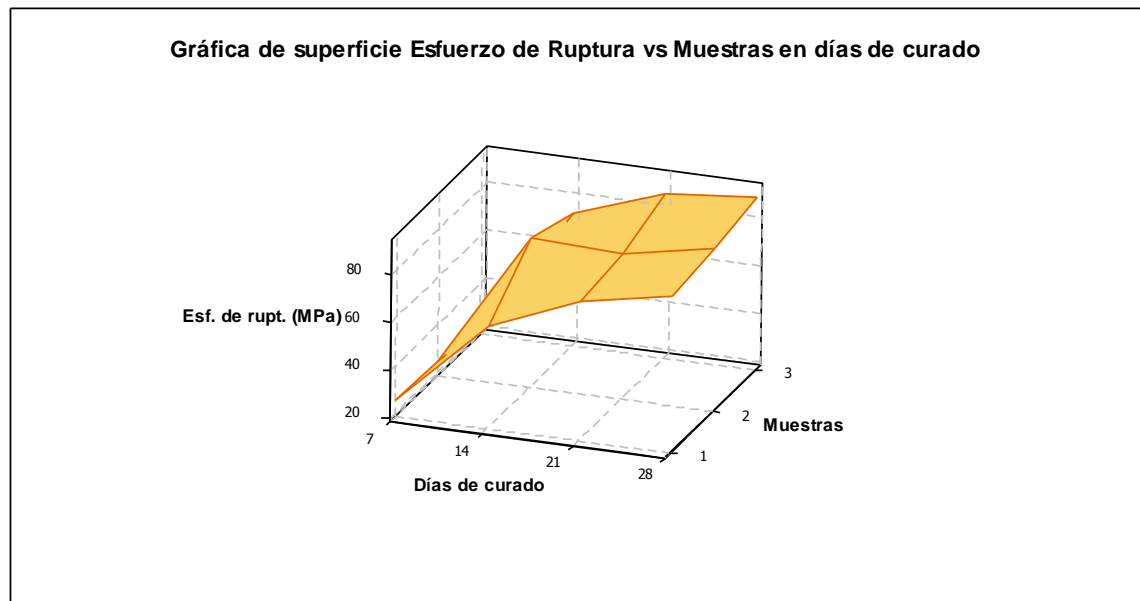


FIGURA 4.5. GRÁFICA DE SUPERFICIE CON 25% DE LIMOLITA.

- **Análisis para 27.5% de Limolita (Validación)**

Realizamos el mismo análisis que con el 25% de limolita primero comprobando mi hipótesis nula y luego ver si mis datos son normales.

TABLA 32

RESULTADOS DE ESFUERZO ALA RUPTURA CON 27.5% DE LIMOLITA

Muestras (MPa)	(Validación) Dias de curado en agua			
	4	11	18	25
M1	56,70	66,36	70,67	75,84
M2	56,05	64,64	77,57	59,47
M3	50,35	55,16	78,43	81,88

Planteamos la hipótesis nula:

$$H_0 = \mu_1 = \mu_2 = \mu_3 = \mu_4$$

H_1 = Al menos dos de las medias no son iguales.

TABLA 33

RESISTENCIA A LA COMPRESION CON 27.5% DE LIMOLITA

	4	11	18	25	
	56.70	66.36	70.67	75.84	
	56.05	64.64	77.57	59.47	
	50.35	55.16	78.43	81.88	
Total	163.10	186.16	226.67	217.19	793.12
Media	54.37	62.05	75.56	72.40	66,09

Realizamos un diagrama de caja que nos indica que al variar el tiempo de curado en agua cambia el esfuerzo de ruptura.

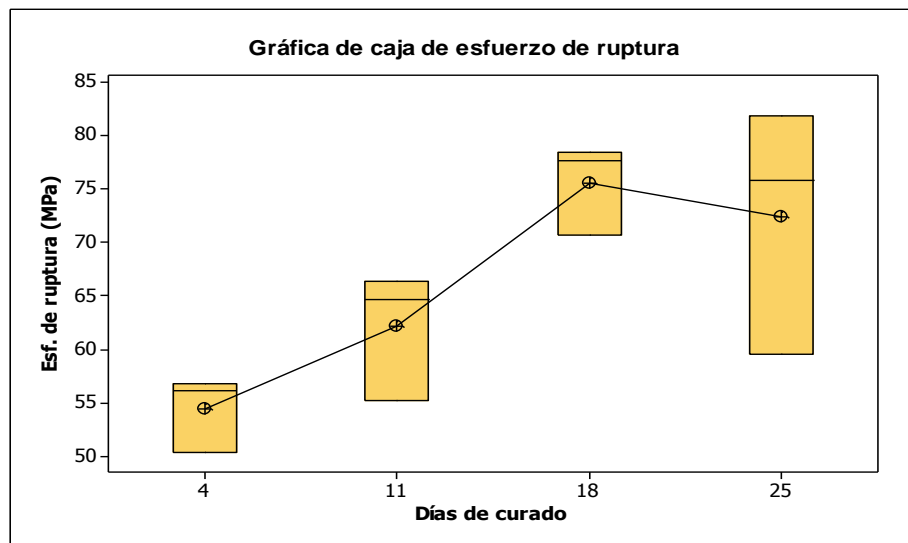


FIGURA 4.6. GRAFICO DE CAJA DE ESFUERZO A LA RUPTURA PARA 27.5%

Utilizando el programa estadístico tenemos los siguientes resultados para su posterior análisis.

TABLA 34

TABLA DE RESULTADOS DEL ANÁLISIS DE VARIANZA PARA 27.5%

Fuente de variación	Suma de cuadrados	Grados de libertad	Cuadrado medio	f calculada
Días de curado	849.4	3	283.1	6.63
Error	402.2	8	50.3	
Total	1251.6	11		

Este programa también nos da $P = 0.023$ y además:

$S = 7.091$ R-cuad. = 67.86% R-cuad. (ajustado) = 55.81%

Se usará $\alpha = 0.01$ en la tabla buscamos $f_{0.01,3,8} = 7.59$ y por consiguiente se acepta H_0 porque $f_{3,8} > f$ numéricamente sería.

$$P = P(7.59 > 6.63) \cong 0.023$$

Puesto que P es más grande que $\alpha = 0.01$ podemos decir con certeza que H_0 verdad. También el programa nos da intervalos de confianza de 95% individuales para la media basados en la desviación estándar agrupada.

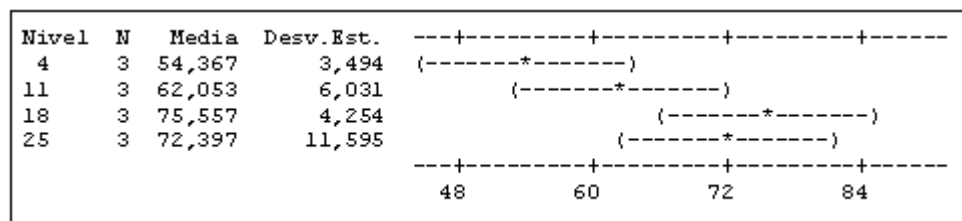


FIGURA 4.7. INTERVALOS DE CONFIANZA INDIVIDUALES PARA 27.5%

La desviación estándar agrupada = 7.091, también se encontraron los Intervalos de confianza simultáneos de Tukey del 95%. Todas las comparaciones de dos a dos entre los niveles de Días de curado.

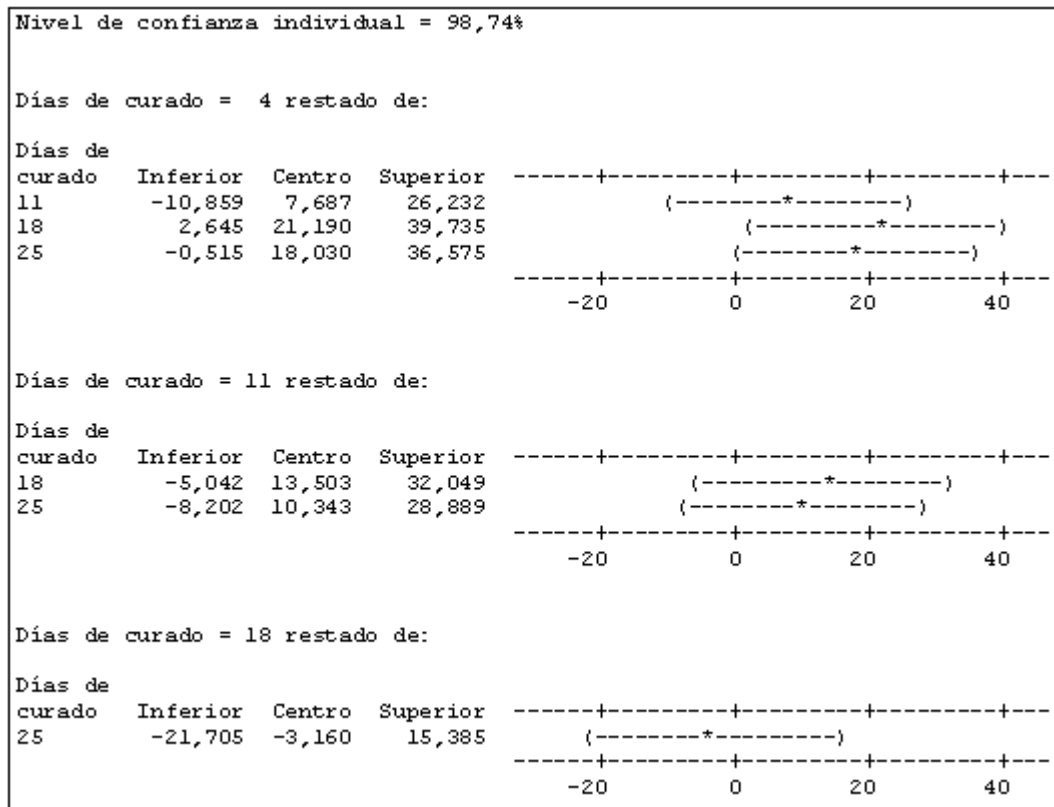


FIGURA 4.8. INTERVALOS DE CONFIANZA DE TUKEY

En el análisis de varianza del modelo de un factor, se supone que las observaciones siguen una distribución normal con la misma varianza para cada tratamiento. Estos supuestos deberán verificarse examinando los residuos. Un residuo es la diferencia entre una observación y su valor estimado o ajustado en el modelo.

TABLA 35

RESIDUOS PARA EXPERIMENTO CON 27.5% DE LIMOLITA

Residuos	Días de curado con 27.55% de limolita			
	4	11	18	25
	2.33	4.30	-4.88	3.44
	1.68	2.58	2.01	-12.92
	-4.01	-6.89	2.87	9.48

El supuesto de normalidad puede verificarse construyendo una gráfica de probabilidad normal de los residuales. Para verificar el supuesto de la igualdad de las varianzas.

En esta gráfica no revelan ninguna falta de adecuación del modelo ni algún problema con los supuestos. También realizamos una gráfica en 3D para visualizar mejor nuestro experimento.

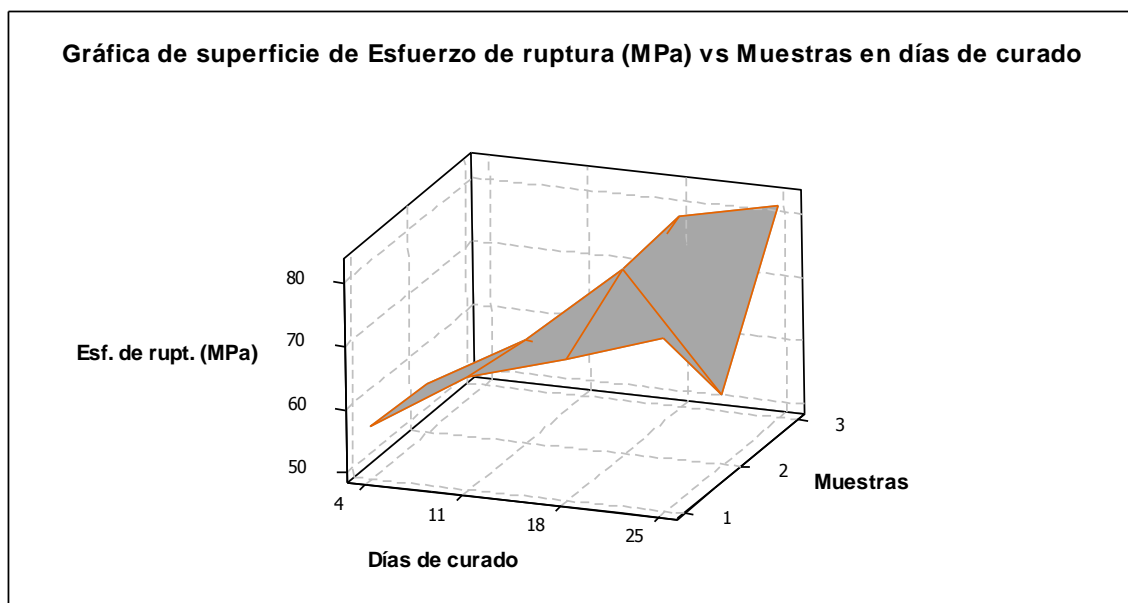


FIGURA 4.9. GRÁFICA DE SUPERFICIE CON 27.55% DE LIMOLITA.

- **Análisis Grupal con 0% de aditivo**

En este análisis se realiza con los datos del grupo y además adicionamos los datos de los esfuerzos a la ruptura con cero por ciento de aditivo del cemento tipo I, los datos están en MPa en las dos tablas.

TABLA 36

ESFUERZOS DE RUPTURA EXPERIMENTAL

EXPERIMENTACIÓN								
		Tipo I	Tipo IV	5%	10%	15%	20%	25%
7	M1	89,79	47,13	71,736	93,45	26,97	57,91	25.42
	M2	90,64	48,07	72,128	81,88	28,93	62,66	24.13
	M3	87,22	51,84	69,58	85,44	28,93	73,29	23.70
14	M1	99,19	65,98	68,6	85,44	83,66	79,40	61.71
	M2	97,48	57,5	61,74	89	90,78	82,85	81.20
	M3	89,79	57,5	69,58	88,11	97,9	84,58	74.12
21	M1	102,61	76,35	83,66	108,58	89	86,31	76.70
	M2	108,6	74,46	78,32	99,68	93,45	83,70	79.29
	M3	76,96	75,41	71,2	102,35	85,44	72,49	87.05
28	M1	95,77	70,69	117,48	102,35	85,44	106,15	83.60
	M2	97,48	70,69	101,46	85,44	91,67	96,66	86.18
	M3	94,06	55,61	120,15	53,4	96,12	95,80	90.49

TABLA 37

ESFUERZOS DE RUPTURA DE VALIDACIÓN

VALIDACIÓN								
		Tipo I	Tipo IV	7,5%	12,5%	17,5%	22,5%	27,5%
4	M1	80,38	46,18	49	51,35	44,1	43,67	56.70
	M2	82,94	45,32	43,12	48,02	43,1	46,52	56.05
	M3	80,38	46,18	41,16	49,98	45,67	44,62	50.35
11	M1	101,76	59,38	59,78	89	81,88	56,96	66.36
	M2	82,94	52,78	69,58	92,56	84,55	46,52	64.64
	M3	108,6	56,56	51,94	93,45	76,54	58,86	55.16
18	M1	108,6	63,15	81,88	97,01	80,99	65,59	70.67
	M2	109,45	64,1	82,77	100,57	89,36	76,81	77.57
	M3	108,6	59,95	85,44	99,68	83,66	59,55	78.43
25	M1	90,64	70,69	89,89	105,91	89,36	71,63	75.84
	M2	81,23	63,15	98,79	78,32	92,74	68,18	59.47
	M3	106,03	54,67	84,55	90,78	89	68,60	81.88

El análisis que se realizó es un análisis de regresión múltiple porque uno de los objetivos del presente estudio es poder determinar mediante métodos estadísticos, si existe una relación adecuada que vincule la variable dependiente que en este caso es el esfuerzo de ruptura, con las variables independientes como el porcentaje de Limolita y los días de curado. Es por esto que, se decide utilizar el método de regresión múltiple para poder obtener o descubrir dicha relación.

Al principio se plantea la hipótesis nula para la regresión múltiple la misma que es:

$$H_0 = B_0 = B_1 = B_2 = 0$$

$$H_1 \neq B_0 \neq B_1 \neq B_2 \neq 0$$

Para encontrar la mejor relación existente se efectuó varios análisis con la finalidad de encontrar la mejor distribución. De acuerdo a escasez de información respecto a qué comportamiento poseen estas variables con la función de respuesta, se procede a analizar funciones lineales, cuadráticas, cúbicas y logarítmicas para poder determinar cuál

de ellas proporcionan mejor confiabilidad y un valor de p-value aceptable para poder rechazar la hipótesis nula a favor de la hipótesis alterna.

De acuerdo a programas estadísticos y luego de analizar opciones polinomiales para la relación requerida se obtiene la siguiente tabla resumida que muestra claramente las ecuaciones para varios grados polinomiales, así como la confiabilidad de cada uno, todo esto tanto para datos experimentales como para datos de validación:

TABLA 38
COMPARACIÓN DE MODELOS ESTADÍSTICOS POLINOMIALES
PARA DATOS EXPERIMENTALES

Días	Modelos de ajuste	Ecuación	R-cuad. (%)	P
7	Lineal	Esf. Rupt. = 89,91 - 2,315 (%)	44,80	0,216
	Cuadrático	Esf. Rupt. = 80,85 - 0,762 Porcentaje - 0,0518 (%)**2	45,60	0,881
	Cúbico	Esf. Rupt. = 83,9 - 1,62 (%) + 0,013 (%)**2 - 0,00145 (%)**3	45,60	0,989
14	Lineal	Esf. Rupt. = 78,05 + 0,1230 (%)	0,90	0,878
	Cuadrático	Esf. Rupt. = 41,43 + 6,400 (%) - 0,2092 (%)**2	93,60	0,033
	Cúbico	Esf. Rupt. = 18,75 + 12,77 (%) - 0,6952 (%)**2 + 0,01080 (%)**3	99,90	0,06
21	Lineal	Esf. Rupt. = 91,33 - 0,3228 (%)	6,00	0,692
	Cuadrático	Esf. Rupt. = 68,58 + 3,577 (%) - 0,1300 (%)**2	39,80	0,4
	Cúbico	Esf. Rupt. = 0,42 + 22,72 (%) - 1,590 (%)**2 + 0,03245 (%)**3	94,00	0,205
28	Lineal	Esf. Rupt. = 104,5 - 0,7024 (%)	18,90	0,464
	Cuadrático	Esf. Rupt. = 122,4 - 3,768 (%) + 0,1022(%)**2	32,90	0,584
	Cúbico	Esf. Rupt. = 214,0 - 29,50(%) + 2,064(%)**2- 0,04361 (%)**3	98,60	0,094

TABLA 39
COMPARACIÓN DE MODELOS ESTADÍSTICOS POLINOMIALES
PARA DATOS DE VALIDACIÓN

Días	Modelos de ajuste	Ecuación	R-cuad. (%)	P
4	Lineal	Esf. Rupt. = 41,47 + 0,3672 (%)	32,40	0,316
	Cuadrático	Esf. Rupt. = 54,41 - 1,401 (%) + 0,05051 (%)**2	53,90	0,436
	Cúbico	Esf. Rupt. = - 0,78 + 10,48 (%) - 0,6978 (%)**2 + 0,01425 (%)**3	97,90	0,138
11	Lineal	Esf. Rupt. = 81,21 - 0,634 (%)	10,30	0,599
	Cuadrático	Esf. Rupt. = 37,15 + 5,384 (%) - 0,1719 (%)**2	36,70	0,457
	Cúbico	Esf. Rupt. = - 164,3 + 48,77 (%) - 2,904 (%)**2 + 0,05203 (%)**3	99,00	0,082
18	Lineal	Esf. Rupt. = 97,36 - 0,8498 (%)	34,00	0,302
	Cuadrático	Esf. Rupt. = 87,82 + 0,453 (%) - 0,0372 (%)**2	36,30	0,814
	Cúbico	Esf. Rupt. = - 62,36 + 32,79 (%) - 2,074 (%)**2 + 0,03879 (%)**3	100,00	0,015
25	Lineal	Esf. Rupt. = 102,1 - 1,054 (%)	65,10	0,099
	Cuadrático	Esf. Rupt. = 96,25 - 0,252 (%) - 0,02291 (%)**2	66,10	0,824
	Cúbico	Esf. Rupt. = 20,98 + 15,96 (%) - 1,044 (%)**2 + 0,01944 (%)**3	86,10	0,443

Se puede observar que en la mayoría de modelos la confiabilidad es bastante baja ya que el coeficiente de determinación R² oscila entre 6% y 50% a excepción del día 14 en donde se obtienen modelos cuadráticos y cúbicos con confiabilidades de alrededor del 90% pero que no cumplen con el rango requerido para el valor p que deben ser menores a 0.05 para poder, con razones estadísticamente sustentables, rechazar la hipótesis nula a favor de la alterna y así asegurar que existe una relación capaz de vincularme la función de respuesta con las variables independientes.

De igual manera ocurre con los valores de validación, cuyos coeficientes de determinación son bastante bajos aunque existen ciertos días en donde los modelos se ajustan con confiabilidades bastante representativas. El problema es que no se puede hallar una ecuación que sea válida para todos los días de curado y todos los porcentajes lo que nos hace concluir que, dichas distribuciones polinomiales no se ajustan de manera adecuada a los datos por lo que se debe buscar otras alternativas de ajuste.

Adicional a estos análisis se efectuó uno suplementario para determinar que ocurría si la tendencia era logarítmica con lo que se obtuvo resultados bastante confiables.

La ecuación logarítmica base para nuestros datos es la siguiente:

$$y = \beta_0 + \beta_1 * x_1 + \beta_2 * \ln(x_2)$$

Una vez que se ejecuta la regresión lineal, se obtiene los siguientes resultados:

TABLA 40
ESTADÍSTICAS DE LA REGRESIÓN (EXPERIMENTAL)

<i>Estadísticas de la regresión</i>	
Coeficiente de correlación múltiple	0,985
Coeficiente de determinación R ²	0,970
R ² ajustado	0,923
Error típico	15,101
Observaciones	24

TABLA 41
ANÁLISIS DE VARIANZA (EXPERIMENTAL)

ANÁLISIS DE VARIANZA					
	<i>Grados de libertad</i>	<i>Suma de cuadrados</i>	<i>Promedio de los cuadrados</i>	<i>F</i>	<i>Valor crítico de F</i>
Regresión	2	163684,2047	81842,102	358,883	5,80743E-17
Residuos	22	5017,032942	228,047		
Total	24	168701,2376			

Es preciso indicar que la hipótesis nula referente al análisis de varianza indica que no existen diferencias significativas con respecto a las medias muestrales esto es:

$$H_0: \mu_1 = \mu_2 = \mu_n = 0$$

$$H_1: \mu_1 \neq \mu_2 \neq \mu_n \neq 0$$

Para poder aceptar o rechazar la hipótesis nula referente a la varianza se debe calcular el valor F el mismo que debe resultar de la siguiente ecuación:

$$F = \frac{R^2 / k}{(1 - R^2) / (n - (k + 1))}$$

De donde n equivale al número de observaciones y k corresponde a los niveles. Calculando dicho valor se obtiene;

$$F = \frac{0.97 / 2}{(1 - 0.97) / (24 - (2 + 1))} = 485$$

Se rechaza la nula si: $F > F_{0.05}$

$$F_{0.05} (2, 21) = 3.4668$$

Efectivamente se cumple que $F > F_{0.05}$, entonces se puede rechazar la hipótesis nula y por lo tanto se puede concluir que, estadísticamente hablando, existen diferencias significativas con las medias muestrales del experimento.

Inicialmente para la regresión múltiple se aplica la ecuación logarítmica la misma que genera la tabla 48 la cual indica claramente que el B_0 referente a la intercepción no posee una probabilidad aceptable ya que el valor es mayor a 0.05 con lo

cual se entiende que no existe una relación claramente definida para ese coeficiente con el esfuerzo de ruptura.

TABLA 42
P-VALUES PARA COEFICIENTES DE REGRESIÓN (CON INTERCEPCIÓN)

	<i>Coeficientes</i>	<i>Error típico</i>	<i>Estadístico t</i>	<i>Probabilidad</i>
<i>Intercepción</i>	27,262	16,483	1,654	0,113
<i>Variable X 1</i>	-0,895	0,348	-2,575	0,018
<i>Variable X 2</i>	23,851	5,700	4,184	0,000

Por esta razón, se vuelve a evaluar la regresión pero descartando en valor de dicho coeficiente ya que para la ecuación representativa no aplica.

Los coeficientes obtenidos para la regresión múltiple se enlistan a continuación con su respectiva probabilidad:

TABLA 43
P-VALUES PARA COEFICIENTES DE REGRESIÓN (SIN INTERCEPCIÓN)

	<i>Coeficientes</i>	<i>Error típico</i>	<i>Estadístico t</i>	<i>Probabilidad</i>
Intercepción	0,000	#N/A	#N/A	#N/A
Porcentaje	-0,744	0,348	-2,135	0,044
Días de Curado	32,785	1,890	17,348	0,000

TABLA 44
ANÁLISIS DE RESIDUALES (EXPERIMENTAL)

<i>Observación</i>	<i>Pronóstico para Y</i>	<i>Residuos</i>	<i>Residuos estándares</i>
1	73,673	15,547	1,119
2	69,198	1,952	0,141
3	64,723	22,197	1,598
4	60,248	-31,378	-2,259
5	55,772	8,848	0,637
6	51,297	-26,877	-1,935
7	90,206	5,284	0,380
8	85,730	-19,090	-1,374
9	81,255	6,265	0,451
10	76,780	14,000	1,008
11	72,304	9,966	0,717
12	67,829	4,511	0,325
13	99,876	-3,816	-0,275
14	95,401	-17,671	-1,272
15	90,926	12,614	0,908
16	86,450	2,850	0,205
17	81,975	-1,135	-0,082
18	77,500	3,510	0,253
19	106,738	-10,968	-0,789
20	102,262	10,768	0,775
21	97,787	-17,387	-1,252
22	93,312	-2,232	-0,161
23	88,837	10,703	0,770
24	84,361	1,539	0,111

Luego de este análisis se obtiene el modelo estadístico que queda de la siguiente manera:

$$\text{s.f. de Rupt.} = - 0.74 * (\%) + 32.79 * \text{Ln (Días de Curado)}$$

De la misma manera se procede para los datos de validación:

TABLA 45
ESTADÍSTICAS DE LA REGRESIÓN (VALIDACIÓN)

Estadísticas de la regresión	
Coeficiente de correlación múltiple	0,982
Coeficiente de determinación R ²	0,963
R ² ajustado	0,916
Error típico	15,463
Observaciones	24

TABLA 46
ANÁLISIS DE VARIANZA (VALIDACIÓN)

	<i>Grados de libertad</i>	<i>Suma de cuadrados</i>	<i>Promedio de los cuadrados</i>	<i>F</i>	<i>Valor crítico de F</i>
Regresión	2	138454,532	69227,266	289,517	5,15776E-16
Residuos	22	5260,491	239,113		
Total	24	143715,023			

TABLA 47
P-VALUES PARA COEFICIENTES DE REGRESIÓN (CON INTERCEPCIÓN)

	<i>Coeficientes</i>	<i>Error típico</i>	<i>Estadístico t</i>	<i>Probabilidad</i>
Intercepción	42,680	9,126	4,677	0,000
Variable X 1	-0,964	0,246	-3,911	0,001
Variable X 2	18,773	3,266	5,748	1,04964E-05

TABLA 48
P-VALUES PARA COEFICIENTES DE REGRESIÓN (SIN
INTERCEPCIÓN)

	<i>Coeficientes</i>	<i>Error típico</i>	<i>Estadístico t</i>	<i>Probabilidad</i>
Intercepción	0	#N/A	#N/A	#N/A
Variable X 1	-0,510	0,316	-1,613	0,121
Variable X 2	32,294	2,121	15,225	3,6397E-13

TABLA 49
ANÁLISIS DE RESIDUALES (VALIDACIÓN)

<i>Observación</i>	<i>Pronóstico para Y</i>	<i>Residuos</i>	<i>Residuos estándares</i>
1	44,770	36,460	2,463
2	40,944	3,486	0,235
3	38,394	11,386	0,769
4	35,844	8,456	0,571
5	33,294	11,606	0,784
6	30,743	25,307	1,709
7	77,439	20,331	1,373
8	73,613	-13,183	-0,890
9	71,063	20,607	1,392
10	68,513	12,477	0,843
11	65,963	-11,853	-0,801
12	63,412	-0,052	-0,004
13	93,343	15,537	1,049
14	89,517	-6,157	-0,416
15	86,967	12,123	0,819
16	84,417	0,253	0,017
17	81,867	-14,547	-0,983
18	79,317	-1,317	-0,089
19	103,952	-11,312	-0,764
20	100,126	-9,046	-0,611
21	97,576	-5,906	-0,399
22	95,026	-4,666	-0,315
23	92,476	-23,026	-1,555
24	89,925	-14,085	-0,951

Luego de este análisis se obtiene el modelo estadístico para la validación que resulta de la siguiente manera:

$$\text{Esf. de Rupt.} = -0.51 * (\%) + 32.294 * \text{Ln} (\text{Días de Curado})$$

Realizando el respectivo ajuste de los datos tanto experimentales como los de la validación en el modelo estadístico para poder obtener el error se obtiene:

TABLA 50

**RESULTADOS UTILIZANDO EL MODELO ESTADÍSTICO PARA LA
EXPERIMENTACIÓN**

EXPERIMENTACION				
Días de Curado	Porcentaje (%)	Esf. de Ruptura (MPa)	Modelo est. (MPa)	Error Exp. (%)
7	0	89,22	62,83	41,99
	5	71,15	59,11	20,36
	10	86,9	55,39	56,88
	15	58,72	51,67	13,64
	20	64,62	47,95	34,76
	25	24,42	44,23	44,79
14	0	95,49	85,22	12,06
	5	66,64	81,50	18,23
	10	87,52	77,78	12,53
	15	90,7	74,06	22,48
	20	82,27	70,34	16,97
	25	72,34	66,62	8,59
21	0	96,06	98,31	2,29
	5	77,73	94,59	17,82
	10	103,54	90,87	13,95
	15	89,3	87,15	2,47
	20	80,84	83,43	3,10
	25	81,01	79,71	1,63
28	0	95,77	107,60	10,99
	5	113,03	103,88	8,81
	10	80,4	100,16	19,73
	15	91,08	96,44	5,55
	20	99,54	92,72	7,36
	25	85,9	89,00	3,48

TABLA 51

**RESULTADOS UTILIZANDO EL MODELO ESTADÍSTICO PARA
VALIDACIÓN**

VALIDACION				
Días de Curado	Porcentaje (%)	Esf. de Ruptura (MPa)	Modelo est. (MPa)	Error Exp. (%)
4	0	81,23	45,44	78,75
	7,5	44,43	39,86	11,46
	12,5	49,78	36,14	37,73
	17,5	44,30	32,42	36,63
	22,5	44,90	28,70	56,43
	27,5	56,05	24,98	124,35
11	0	97,77	78,60	24,38
	7,5	60,43	73,02	17,25
	12,5	91,67	69,30	32,27
	17,5	80,99	65,58	23,49
	22,5	54,11	61,86	12,53
	27,5	63,36	58,14	8,97
18	0	108,88	94,75	14,92
	7,5	83,36	89,17	6,51
	12,5	99,09	85,45	15,97
	17,5	84,67	81,73	3,60
	22,5	67,32	78,01	13,70
	27,5	78,00	74,29	5,00
25	0	92,64	105,51	12,20
	7,5	91,08	99,93	8,86
	12,5	91,67	96,21	4,72
	17,5	90,36	92,49	2,31
	22,5	69,47	88,77	21,75
	27,5	75,84	85,05	10,83

- **Análisis de selección del mejor tratamiento (Experimental)**

Para este análisis se realizó por medio de una herramienta estadística que es tukey lo que realiza es sacar la media tanto para días como para porcentajes.

- **Análisis de Tukey: Esfuerzo de Ruptura vs. % limolita**

A continuación con el método de TUKEY se procede a analizar cual es el mejor tratamiento. El método consiste en separar las variable en factores, en este caso tenemos porcentaje de limolita. Por cada nivel de porcentaje se obtiene la media. Como se lo puede observar en la siguiente tabla:

TABLA 52

**ANALISIS DE TUKEY PARA ESFUERZO VS PORCENTAJE
(EXPERIMENTAL)**

	7	14	21	28	Media
0%	89.22	95.49	96.06	95.77	94.14
5%	71.15	66.64	77.73	113.03	82.14
10%	86.92	87.52	103.54	80.4	89.60
15%	28.87	90.78	89.3	91.08	75.01
20%	64.62	82.27	80.84	99.54	81.82
25%	24.42	72.34	81.01	85.9	65.92

De la tabla 52 se obtiene que el mayor valor de esfuerzo de ruptura ocurre con un 0% de aditivo, pero para efectos de comparación con el control se toma el segundo mejor valor que ocurre con un 10% de limolita en curado bajo agua.

- **Análisis de Tukey: Esfuerzo de Ruptura vs. % Días de Curado**

Para este segundo factor días de curado se obtuvo las medias por cada día de curado en los diferentes porcentajes presentados en la tabla siguiente:

TABLA 53

**ANALISIS DE TUKEY PARA ESFUERZO VS DIAS DE CURADO
(EXPERIMENTAL)**

	7	14	21	28
0%	89.22	95.49	96.06	95.77
5%	71.15	66.64	77.73	113.03
10%	86.92	87.52	103.54	80.4
15%	28.87	90.78	89.3	91.08
20%	64.62	82.27	80.84	99.54
25%	24.42	72.34	81.01	85.9
Media	60.87	82.51	88.08	94.29

De la tabla 53 se obtiene que los dos mejores tratamientos los encontramos a los 28 y 21 días de curado respectivamente.

Como se lo puede apreciar, este método estadístico utiliza las medias por lo que se tienen mas de una alternativa. Y no siempre el valor más alto que nos devuelve el método es el mejor, dado que los valores circundantes pueden ser altos o bajos.

	7	14	21	28
0%	89.22	95.49	96.06	95.77
10%	86.92	87.52	103.54	80.4

Por medio del análisis anterior se pueden resumir los mejores valores presentados en la tabla anterior.

	7	14	21	28
TIPO IV	49.01	60.33	75.46	65.66

En la tabla se observan los resultados correspondientes al cemento comercial TIPO IV para 7, 14, 21, 28 de curado en agua, el mejor valor de esfuerzo de ruptura ocurre a los 21 días. El cual se lo compara con el resultado obtenido en la tabla la

cual el mejor resultado se da a los 21 días. Se puede decir que existe una mejora en el esfuerzo de ruptura.

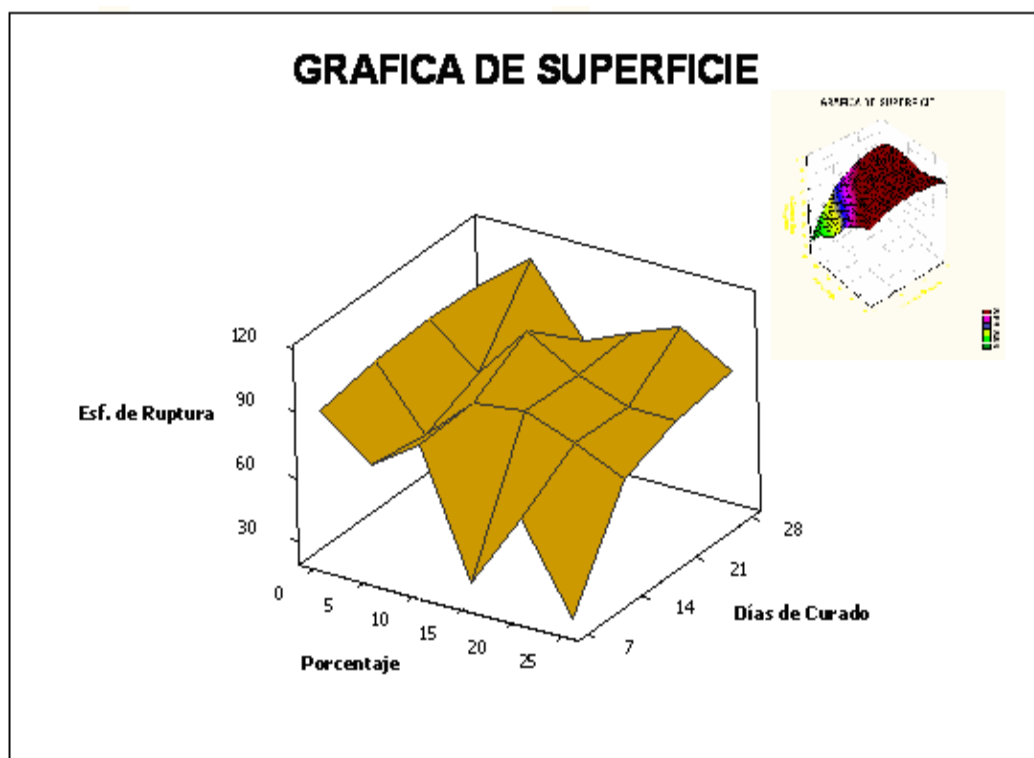


FIGURA 4.10. GRÁFICA DE SUPERFICIE (EXPERIMENTAL)

- **Análisis de selección del mejor tratamiento (Validación)**

Para este análisis se lo realizo del mismo modo que el anterior utilizando Tukey, y como se puede observar la mejor respuesta ocurre con el 0% y 12.5% y por días de curado 18 y 25 días.

TABLA 54

**ANALISIS DE TUKEY PARA ESFUERZO VS DIAS DE CURADO
(VALIDACION)**

	4	11	18	25	
0%	81.23	97.77	108.88	92.64	95.13
7.5%	44.43	60.43	83.36	91.08	69.83
12.50%	49.78	91.67	99.09	91.67	83.05
17.50%	44.3	80.99	84.67	90.36	75.08
22.50%	44.9	54.11	67.32	69.45	58.95
27.50%	56.05	63.36	78	75.84	68.31
	53.45	74.72	86.89	85.17	

	4	11	18	25
0%	81.23	97.77	108.88	92.64
12.50%	49.78	91.67	99.09	91.67

La mejor respuesta la encontramos a los 18 días y 0%.

	4	11	18	25
TIPO IV	45.89	56.24	62.4	62.84

En la tabla se observan los resultados correspondientes al cemento comercial TIPO IV para 4, 11, 18, 25 de curado en agua, el mejor valor de esfuerzo de ruptura ocurre a los 18 días.

El cual se lo compara con el resultado obtenido en la tabla la cual el mejor resultado se da a los 25 días. Se puede decir que existe una mejora en el esfuerzo de ruptura.

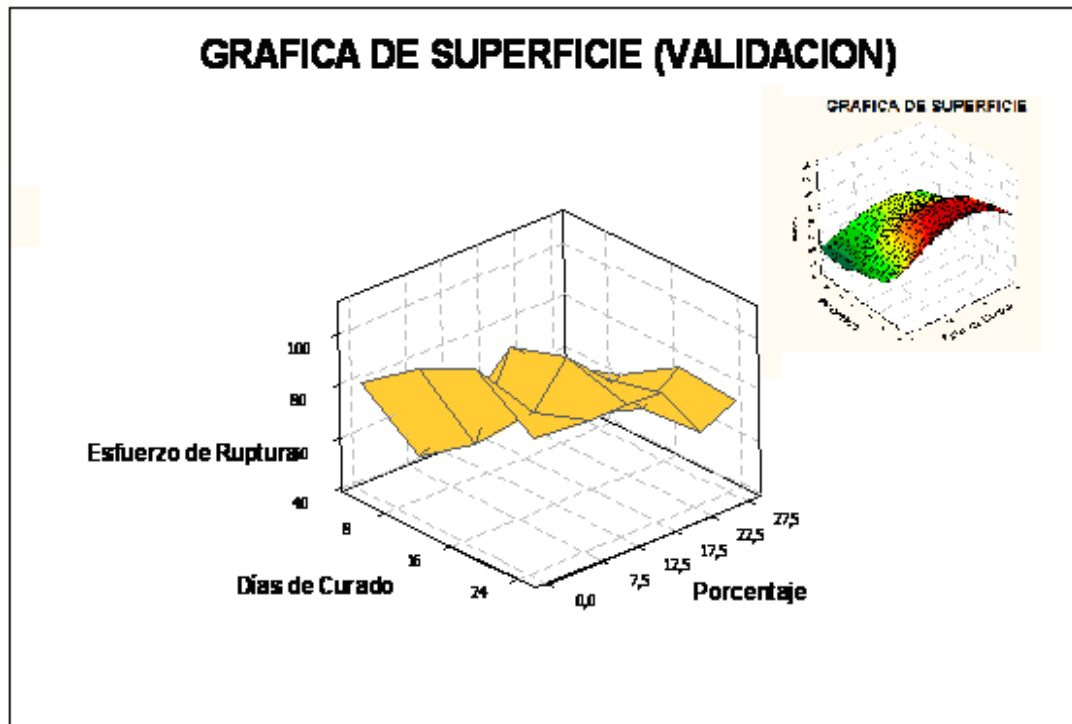


FIGURA 4.11. GRAFICA DE SUPERFICIE PARA LA VALIDACION

CAPÍTULO 5

5. CONCLUSIONES Y RECOMENDACIONES

5.1 Conclusiones.

1. Se concluye individualmente que añadiendo 25% de limolita el mayor esfuerzo de ruptura para experimentación ocurre a los 28 días de curado en agua y para las muestras de validación a los 25 días de curado en agua.
2. En base a los datos experimentales se obtuvo información referente a las propiedades mecánicas de la pasta del cemento (Módulo de elasticidad, Esfuerzo de fluencia y esfuerzo de ruptura) a diferentes porcentajes de limolita los mismos que permitieron ajustar la curva ideal esfuerzo deformación correspondientes a la pasta de cemento y así poder compararla con la curva experimental para obtener un porcentaje de error de dicho ajuste.

3. Para el modelo matemático referente a nuestros datos experimentales se requirieron de constantes positivas (a y m) que son propias de cada material con las cuales se pudo realizar un ajuste adecuado tanto de la curva teórica y curva experimental.
4. Mediante herramientas estadísticas se obtuvieron varias posibles ecuaciones que relacionan la variable dependiente (esfuerzo de ruptura) con las variables independientes (porcentaje de limolita y días de curado) pero la única que se ajustó con un alto grado de confiabilidad fue la ecuación obtenida mediante regresión múltiple logarítmica la misma que se presenta a continuación y que es válida para 0, 5, 10, 15, 20 y 25% de limolita así como para 7, 14, 21, y 28 días de curado en agua.

$$\text{Esf. Ruptura} = - 0.744 \text{ Porcentaje} + 32.79 \ln (\text{Días de curado})$$

5. Mediante la evaluación en la ecuación anterior de los porcentajes de limolita y días de curado referentes a la validación, se comprueba que los valores obtenidos de esfuerzos de ruptura se ajustan al modelo estadístico con un margen de error correspondiente al 25%.

6. Mediante análisis estadístico se determinó que el esfuerzo de ruptura más alto se produjo con la adición del 10% de limolita y a los 21 días de curado en agua con lo cual se pudo determinar que si existe una mejora en la resistencia a la compresión con respecto al 0% de aditivo de Cemento Pórtland tipo I así como también se produjo una variación mucho más significativa con respecto al Cemento Pórtland Tipo IV.
7. Existe una mejora del 8% de la resistencia a la compresión con respecto al 0% de limolita en el Cemento Pórtland tipo I.

5.2 Recomendaciones.

1. Se recomienda que para efectuar este tipo de experimento y poder obtener valores de respuesta más óptimos, se adecue el lugar de la experimentación con condiciones de temperatura y humedad relativa específicas tal como lo indica la norma ASTM C – 109.
2. Se recomienda que los moldes a utilizarse en la experimentación se encuentren libres de todo tipo de residuo para que no exista una afectación directa en nuestras probetas.

3. Se recomienda que los moldes sean debidamente lubricados para facilitar que al momento de desmoldar, sus superficies no se vean afectadas.
4. Se recomienda que exista homogeneidad en el proceso de mezclado.
5. Se recomienda realizar un adecuado apisonamiento de las probetas, de acuerdo a la norma ASTM C - 109 para poder eliminar en su mayoría las burbujas de aire que se pudieron haber formado en ellas.
6. Se recomienda que las prensas de compresión a utilizarse en la ejecución de este experimento se encuentren en perfectas condiciones de calibración.
7. Se recomienda que la aplicación de la carga a las probetas de ensayo sea suministrada a velocidad constante.
8. Se recomienda que la superficie de contacto se encuentre con el menor relieve posible para que la carga esté uniformemente distribuida.

BIBLIOGRAFÍA

1. Parker Harry, *Diseño Simplificado del Concreto*, Limusa, México 1981.
2. La Gaceta," Normas Para Cementos Hidráulicos", pp. N° 165, 5 de septiembre de 1990.
3. Bhatti, M.S.Y, *Mecanismos De La Puzolana y Reacciones*, McGraw Hill, México 1996.
4. Ecosur, " Cementos Puzolanicos", www.ecosur.org, Generated, 5 de junio de 2005
5. La Gaceta," Normas Para Cementos Hidráulicos", pp. N° 165, 5 de septiembre de 1990.
6. Winter George, *Cemento Pórtland*, San Pedro, México 1975.
7. Parker Harry, *Diseño Simplificado del Concreto*, Limusa, México 1981.
8. Nacional Ready Mixed Concrete Association, "Efectos De Condiciones De Curado", pp. N°. 53, Silver Spring.
9. Hill Formington, *Especificaciones Estandar Del Curado*, Reapproved, Michigan 1997.

10. ASTM C 171, Specifications for sheet Materials for Curing Concrete, American Society for Testing Materials, West Conshohocken, PA.
11. ASTM C 309, Specifications for liquid Membrane Forming Compounds for Curing Concrete, American Society for Testing Materials, West Conshohocken, PA.
12. Parker Harry, *Diseño Simplificado del Concreto*, Limusa, México 1981.
13. Parker Harry, *Diseño Simplificado del Concreto*, Limusa, México 1981.
14. ACI Comité, "Finite Element Análisis of Fracture in Concrete Structures", pp. ACI 446,3R-97.
15. Julio H. Cole, "Nociones De Regresión Lineal", pp. N° 46, San Francisco.
16. J. Zelic, D. Rusic, R. Krstulovic, "A mathematical model for prediction of compressive strength in cement–silica fume blends", www.sciencedirect.com, Faculty of Chemical Technology, Croatia.
17. F.P. Ganneau, F.-J. Ulm, J. Gondzio, E.J. Garboczi, "An algorithm for computing the compressive strength of heterogeneous cohesive-frictional materials – Application to cement paste",

www.sciencedirect.com, Massachusetts Institute of Technology, Cambridge.

18. Violeta Petkova, "The use of mathematical modelling in the composition of a composite material", www.sciencedirect.com, Central laboratory of Physico-Chemical Mechanics, Bulgarian.
19. Abdulkadir Cuneyt Aydin, Abdussamet Arslan, Rustem Gul, "Mesoscale simulation of cement based materials time-dependent behavior", www.sciencedirect.com, Department of Civil Engineering, Engineering Faculty, Turkey.
20. J.P.B. Leite, V. Slowik, H. Miáis, "Computer simulation of fracture processes of concrete using mesolevel models of lattice structures", www.sciencedirect.com, Department of Architecture and Building Science, Japan.
21. Hani H. Nassif, Husam Najm, Nakin Suksawang, "Effect of pozzolanic materials and curing methods on the elastic modulus of HPC", www.sciencedirect.com, Department of Civil and Environmental Engineering, New Jersey.

CODIGO FUENTE

```
% 27.5% - DIA 4 - M1- EXPERIMENTAL
clc;
clear all;
% INGRESE LA DEFORMACION Y LOS ESFUERZOS EN MPa
ep=[
0
0.0025
0.0050
0.0075
0.0100
0.0125
0.0150
0.0175
0.0200
0.0225
0.0250
0.0275
0.0300];
sigp=[
0
0.76
2.96
7.68
12.73
17.86
23.75
29.45
36.48
42.75
49.02
55.10
56.70];
plot(ep,sigp, '+')
xlabel('Deformación'),ylabel('Esfuerzo (MPa)');
title('ESFUERZO VS DEFORMACION');

% 27.5% - DIA 4 - M1 - TEORICO
clc;
clear all;
```

```

E=2812.06; % INGRESE EL MODULO DE ELASTICIDAD
sigmayo=36.48; % INGRESE EL ESFUERZO DE FLUENCIA
m=0.0087; % VARIE HASTA QUE LLEGUE ALPUNTO DE RUPTURA
a=1.1; % VARIE HASTA LLEGAR AL ESFUERZO DE RUPTURA
deltae=0.0025; %DELTA DEFORMACION ES FIJO
et=0.0375; % DEL GRAFICO MAXIMA DEFORMACION
sigman(1,1)=0;
sigmayn(1,1)=sigmayo;
eps=0:deltae:et;
eps=eps';
d=size(eps);
e=d(1,1);
lampdao=10^-8;
lampda(1,1)=0;

for k=1:e-1

sigmatrn1=sigman(k,1)+E*deltae
Fntrn1=abs(sigmatrn1)-sigmayn(k,1)

if Fntrn1>0

deltalampda(1,1)=3; %se asume este valor inicial
Fo=Fntrn1-
deltalampda(1,1)*(E+a*sigmayo*(m/(deltalampda(1,1)+lampdao)^0.5)*(m-deltalampda(1,1)-
lampdao)/(m+deltalampda(1,1)+lampdao)^2);
Fn1=Fo;
i=1;
Tol=10^-10;
lim=30;

lampda1=deltalampda(i,1)+lampdao;

while abs(Fn1)>=abs(Fo)*Tol&i<lim,

syms deltaepsilon;

Rn1=Fntrn1-
deltaepsilon*(E+a*sigmayo*((m/(deltaepsilon+lampdao))^0.5)
*(m-deltaepsilon-lampdao)/(m+deltaepsilon+lampdao)^2);

Fn(i,1)=Fntrn1-
deltalampda(i,1)*(E+a*sigmayo*((m/(deltalampda(i,1)+lampd

```

```

ao))^0.5)*(m-deltalampda(i,1)-
lampdao)/(m+deltalampda(i,1)+lampdao)^2);

    deldellampda=-
(subs(diff(Rn1,deltaepsilon),deltaepsilon,deltalampda(i,1)
))^(-1)*Fn(i,1);
    deltalampda(i+1,1)=deltalampda(i,1)+deldellampda;

Fn(i+1,1)=Fntrn1-
deltalampda(i+1,1)*(E+a*sigmayo*((m/(deltalampda(i+1,1)+l
ampdao))^0.5)*(m-deltalampda(i+1,1)-
lampdao)/(m+deltalampda(i+1,1)+lampdao)^2);
I(1,1)=1;
F(1,1)=log10(abs(Fn(1,1))/abs(Fo));
Fn1=Fn(i+1,1);
I(i+1,1)=i+1;
F(i+1,1)=log10(abs(Fn(i+1,1))/abs(Fo));
i=i+1;

end

delta=deltalampda(i,1);
lampda1=delta + lampdao;
Hp=a*sigmayo*((m/lampda1)^0.5)*(m-lampda1)/(m+lampda1)^2;
sigman(k+1,1)=sigmatrn1-E*delta*sign(sigmatrn1);
sigmayn(k+1,1)=sigmayn(k,1)+Hp*delta;
lampdao=lampda1;
lampda(k+1,1)=lampdao;
else

    sigman(k+1,1)=sigmatrn1;
    sigmayn(k+1,1)=sigmayn(k,1);
end

end

size(sigman)
size(eps)

hold on
plot(eps, sigman, 'g')

```

ANEXOS (TABLAS)

TABLA 1

MUESTRA M1 CON 25% DE LIMOLITA Y 7 DÍAS DE CURADO

M1 - 7 - 25%				
Deformación (ϵ)	Fuerza (N)	Esfuerzo (MPa)	Modulo de elasticidad E	E Acum.
0	0	0		
0,0025	1556,88	0,60	241,32	
0,0050	3780,99	1,47	344,74	293,03
0,0075	7561,98	2,93	586,05	390,70
0,0100	12455,02	4,83	758,42	482,63
0,0125	19127,35	7,41	1034,21	592,95
0,0150	27801,39	10,77	1344,48	718,20
0,0175	34473,72	13,36	1034,21	763,35
0,0200	40034,00	15,51	861,84	775,66
0,0225	48930,44	18,96	1378,95	842,69
0,0250	57826,89	22,41	1378,95	896,32
0,0275	62275,11	24,13	689,48	877,51
0,0300	65611,27	25,42	517,11	847,48

TABLA 2

MUESTRA M2 CON 25% DE LIMOLITA Y 7DÍAS DE CURADO

M2 - 7 - 25%				
Deformación (ϵ)	Fuerza (N)	Esfuerzo (MPa)	Modulo de elasticidad E	E Acum.
0	0	0		
0,0025	1023,09	0,40	158,58	
0,0050	2135,15	0,83	172,37	165,47
0,0075	4092,36	1,59	303,37	211,44
0,0100	7561,98	2,93	537,79	293,03
0,0125	13344,67	5,17	896,32	413,69
0,0150	19127,35	7,41	896,32	494,12
0,0175	25577,28	9,91	999,74	566,36
0,0200	34473,72	13,36	1378,95	667,93
0,0225	40034,00	15,51	861,84	689,48
0,0250	50042,50	19,39	1551,32	775,66
0,0275	58938,94	22,84	1378,95	830,50
0,0300	62275,11	24,13	517,11	804,39

TABLA 3

MUESTRA M3 CON 25% DE LIMOLITA Y 7DÍAS DE CURADO

M3 - 7 - 25%				
Deformación (ϵ)	Fuerza (N)	Esfuerzo (MPa)	Modulo de elasticidad E	E Acum.
0	0	0		
0,0025	889,64	0,34	137,90	
0,0050	2446,52	0,95	241,32	189,61
0,0075	5782,69	2,24	517,11	298,77
0,0100	10230,91	3,96	689,48	396,45
0,0125	16458,42	6,38	965,27	510,21
0,0150	23353,17	9,05	1068,69	603,29
0,0175	28913,44	11,20	861,84	640,23
0,0200	34473,72	13,36	861,84	667,93
0,0225	43370,16	16,81	1378,95	746,93
0,0250	51154,55	19,82	1206,58	792,90
0,0275	56714,83	21,98	861,84	799,17
0,0300	61163,05	23,70	689,48	790,02

TABLA 4

MUESTRA PROMEDIO CON 25% DE LIMOLITA Y 7 DÍAS DE CURADO

MUESTRA PROMEDIO						
Deformación (ϵ)	Esfuerzos (MPa)				Modulo de elasticidad E	E Acum.
	M1	M2	M3	Promedio M		
0	0	0	0	0		
0,0025	0,60	0,40	0,34	0,45	179,26	
0,0050	1,47	0,83	0,95	1,08	252,81	216,0357
0,0075	2,93	1,59	2,24	2,25	468,84	300,3050
0,0100	4,83	2,93	3,96	3,91	661,90	390,7029
0,0125	7,41	5,17	6,38	6,32	965,27	505,6156
0,0150	10,77	7,41	9,05	9,08	1103,16	605,2065
0,0175	13,36	9,91	11,20	11,49	965,27	656,6436
0,0200	15,51	13,36	13,36	14,08	1034,21	703,8399
0,0225	18,96	15,51	16,81	17,09	1206,58	759,7002
0,0250	22,41	19,39	19,82	20,54	1378,95	821,6253
0,0275	24,13	22,84	21,98	22,98	976,76	835,7282
0,0300	25,42	24,13	23,70	24,42	574,56	813,9645

TABLA 5

Muestra M1 con 25% de Limolita y 14 días de curado

M1 - 14 - 25%				
Deformación (ϵ)	Fuerza (N)	Esfuerzo (MPa)	Modulo de elasticidad E	E Acum.
0	0	0		
0,0025	4003,40	1,55	620,53	
0,0050	11565,38	4,48	1172,11	896,32
0,0075	26689,33	10,34	2344,22	1378,95
0,0100	48930,44	18,96	3447,38	1896,06
0,0125	80068,00	31,03	4826,33	2482,11
0,0150	113429,66	43,95	5171,07	2930,27
0,0175	144567,22	56,02	4826,33	3201,14
0,0200	159246,35	61,71	2275,27	3085,40

TABLA 6

Muestra M2 con 25% de Limolita y 14 días de curado

M2 - 14 - 25%				
Deformación (ε)	Fuerza (N)	Esfuerzo (MPa)	Modulo de elasticidad E	E Acum.
0	0	0		
0,0025	4003,4	1,55	620,53	
0,0050	15124,0	5,86	1723,69	1172,11
0,0075	56937,2	22,06	6481,07	2941,76
0,0100	81402,5	31,54	3792,12	3154,35
0,0125	135670,8	52,57	8411,60	4205,80
0,0150	193497,7	74,98	8963,19	4998,70
0,0175	206842,3	80,15	2068,43	4580,09
0,0200	210400,9	81,53	551,58	4076,53

TABLA 7

MUESTRA M3 CON 25% DE LIMOLITA Y 14 DÍAS DE CURADO

M3 - 14 - 25%				
Deformación (ε)	Fuerza (N)	Esfuerzo (MPa)	Modulo de elasticidad E	E Acum.
0	0	0		
0,0025	3558,6	1,38	551,58	
0,0050	9786,1	3,79	965,27	758,42
0,0075	17348,1	6,72	1172,11	896,32
0,0100	47151,2	18,27	4619,49	1827,11
0,0125	86740,3	33,61	6136,33	2688,96
0,0150	135670,8	52,57	7584,23	3504,84
0,0175	175704,8	68,09	6205,28	3890,61
0,0200	191273,5	74,12	2413,17	3705,93

TABLA 8

MUESTRA PROMEDIO CON 25% DE LIMOLITA Y 14 DÍAS DE CURADO

MUESTRA PROMEDIO						
Deformación (ϵ)	Esfuerzos (MPa)				Modulo de elasticida E	E Acum.
	M1	M2	M3	Promedio M		
0	0	0	0	0		
0,0025	1,55	1,55	1,38	1,49	597,55	
0,0050	4,48	5,86	3,79	4,71	1287,02	942,2836
0,0075	10,34	22,06	6,72	13,04	3332,47	1739,0112
0,0100	18,96	31,54	18,27	22,93	3952,99	2292,5070
0,0125	31,03	52,57	33,61	39,07	6458,09	3125,6236
0,0150	43,95	74,98	52,57	57,17	7239,50	3811,2689
0,0175	56,02	80,15	68,09	68,09	4366,68	3890,6134
0,0200	61,71	81,20	74,12	72,34	1702,60	3617,1122

TABLA 9

MUESTRA M1 CON 25% DE LIMOLITA Y 21 DÍAS DE CURADO

M1 - 21 - 25%				
Deformación (ϵ)	Fuerza (N)	Esfuerzo (MPa)	Modulo de elasticidad E	E Acum.
0	0	0		
0,0025	8896,4	3,45	1378,95	
0,0050	36475,4	14,13	4274,75	2826,85
0,0075	60051,0	23,27	3654,22	3102,64
0,0100	98305,7	38,09	5929,49	3809,35
0,0125	153463,7	59,47	8549,50	4757,38
0,0150	189049,4	73,26	5515,81	4883,79
0,0175	197945,9	76,70	1378,95	4383,10

TABLA 10

MUESTRA M2 CON 25% DE LIMOLITA Y 21 DÍAS DE CURADO

M2 - 21 - 25%				
Deformación (ϵ)	Fuerza (N)	Esfuerzo (MPa)	Modulo de elasticidad E	E Acum.
0	0	0		
0,0025	12010,2	4,65	1861,58	
0,0050	37365,1	14,48	3930,01	2895,80
0,0075	81402,5	31,54	6825,81	4205,80
0,0100	126774,3	49,13	7032,65	4912,51
0,0125	164584,2	63,78	5860,54	5102,12
0,0150	193497,7	74,98	4481,59	4998,70
0,0175	204618,2	79,29	1723,69	4530,84

TABLA 11

MUESTRA M3 CON 25% DE LIMOLITA Y 21 DÍAS DE CURADO

M3 - 21 - 25%				
Deformación (ϵ)	Fuerza (N)	Esfuerzo (MPa)	Modulo de elasticidad E	E Acum.
0	0	0		
0,0025	10230,9	3,96	1585,79	
0,0050	28913,4	11,20	2895,80	2240,80
0,0075	59161,4	22,93	4688,44	3056,68
0,0100	120102,0	46,54	9445,82	4653,96
0,0125	173480,7	67,22	8273,71	5377,91
0,0150	213514,7	82,74	6205,28	5515,81
0,0175	224635,2	87,05	1723,69	4974,08

TABLA 12

MUESTRA PROMEDIO CON 25% DE LIMOLITA Y 21 DÍAS DE CURADO

MUESTRA PROMEDIO						
Deformación (ϵ)	Esfuerzos (MPa)				Modulo de elasticida E	E Acum.
	M1	M2	M3	Promedio M		
0	0	0	0	0		
0,0025	3,45	4,65	3,96	4,02	1608,78	
0,0050	14,13	14,48	11,20	13,27	3700,19	2654,4818
0,0075	23,27	31,54	22,93	25,91	5056,16	3455,0398
0,0100	38,09	49,13	46,54	44,59	7469,32	4458,6101
0,0125	59,47	63,78	67,22	63,49	7561,25	5079,1383
0,0150	73,26	74,98	82,74	76,99	5400,89	5132,7642
0,0175	76,70	79,29	87,05	81,01	1608,78	4629,3374

TABLA 13

MUESTRA M1 CON 25% DE LIMOLITA Y 28 DÍAS DE CURADO

M1- 25 - 25%				
Deformación (ϵ)	Fuerza (N)	Esfuerzo (MPa)	Modulo de elasticidad E	E Acum.
0	0	0		
0,0025	19572,2	7,58	3033,69	
0,0050	58716,5	22,75	6067,39	4550,54
0,0075	100529,8	38,96	6481,07	5194,05
0,0100	133446,7	51,71	5102,12	5171,07
0,0125	169032,4	65,50	5515,81	5240,02
0,0150	209066,4	81,01	6205,28	5400,89
0,0175	215738,8	83,60	1034,21	4777,08

TABLA 14

MUESTRA M2 CON 25% DE LIMOLITA Y 28 DÍAS DE CURADO

M2- 25 - 25%				
Deformación (ε)	Fuerza (N)	Esfuerzo (MPa)	Modulo de elasticidad E	E Acum.
0	0	0		
0,0025	15568,8	6,03	2413,17	
0,0050	59161,4	22,93	6756,86	4585,01
0,0075	104088,4	40,33	6963,71	5377,91
0,0100	153463,7	59,47	7653,18	5946,73
0,0125	197945,9	76,70	6894,76	6136,33
0,0150	222411,1	86,18	3792,12	5745,63

TABLA 15

MUESTRA M3 CON 25% DE LIMOLITA Y 28 DÍAS DE CURADO

M3- 25 - 25%				
Deformación (ε)	Fuerza (N)	Esfuerzo (MPa)	Modulo de elasticidad E	E Acum.
0	0	0		
0,0025	25354,9	9,83	3930,01	
0,0050	68947,4	26,72	6756,86	5343,44
0,0075	128998,4	49,99	9307,92	6664,93
0,0100	177928,9	68,95	7584,23	6894,76
0,0125	217962,9	84,46	6205,28	6756,86
0,0150	233531,7	90,49	2413,17	6032,91

TABLA 16

MUESTRA PROMEDIO CON 25% DE LIMOLITA Y 28 DÍAS DE CURADO

MUESTRA PROMEDIO						
Deformación (ϵ)	Esfuerzos (MPa)				Modulo de elasticidad E	E Acum.
	M1	M2	M3	Promedio M		
0	0	0	0	0		
0,0025	7,58	6,03	9,83	7,81	3125,62	
0,0050	22,75	22,93	26,72	24,13	6527,04	4826,3305
0,0075	38,96	40,33	49,99	43,09	7584,23	5745,6316
0,0100	51,71	59,47	68,95	60,04	6779,85	6004,1850
0,0125	65,50	76,70	84,46	75,56	6205,28	6044,4044
0,0150	81,01	86,18	90,49	85,90	4136,85	5726,4795
0,0175	83,60			83,60	919,30	5039,7397

TABLA 17

MUESTRA M1 CON 27.5% DE LIMOLITA Y 4 DÍAS DE CURADO

M1 - 4 - 27,5%				
Deformación (ϵ)	Fuerza (N)	Esfuerzo (MPa)	Modulo de elasticidad E	E Acum.
0	0	0		
0,0025	1961,33	0,76	304,01	
0,0050	7649,19	2,96	881,62	592,81
0,0075	19809,43	7,68	1884,84	1023,49
0,0100	32852,28	12,73	2021,64	1273,03
0,0125	46091,26	17,86	2052,05	1428,83
0,0150	61291,56	23,75	2356,05	1583,37
0,0175	76001,54	29,45	2280,05	1682,89
0,0200	94143,84	36,48	2812,06	1824,04
0,0225	110324,81	42,75	2508,06	1900,04
0,0250	126505,79	49,02	2508,06	1960,84
0,0275	142196,43	55,10	2432,05	2003,68
0,0300	154454,74	56,70	639,51	1890,00

TABLA 18

MUESTRA M2 CON 27.5% DE LIMOLITA Y 4 DÍAS DE CURADO

M2 - 4 - 27,5%				
Deformación (ϵ)	Fuerza (N)	Esfuerzo (MPa)	Modulo de elasticidad E	E Acum.
0	0	0		
0,0025	2942,00	1,14	456,01	
0,0050	7551,12	2,93	714,42	585,21
0,0075	17161,64	6,65	1489,63	886,69
0,0100	31185,15	12,08	2173,65	1208,43
0,0125	42658,93	16,53	1778,44	1322,43
0,0150	55897,91	21,66	2052,05	1444,03
0,0175	66685,22	25,84	1672,04	1476,60
0,0200	76982,20	29,83	1596,04	1491,53
0,0225	87279,19	33,82	1596,04	1503,14
0,0250	95614,84	37,05	1292,03	1482,03
0,0275	106892,49	41,42	1748,04	1506,22
0,0300	118660,47	41,60	71,63	1386,67
0,0325	128957,45	49,97	3348,44	1537,57
0,0350	137293,10	53,20	1292,03	1520,03
0,0375	144648,09	56,05	1140,03	1494,70

TABLA 19

MUESTRA M3 CON 27.5% DE LIMOLITA Y 4 DÍAS DE CURADO

M3 - 4 - 27,5%				
Deformación (ϵ)	Fuerza (N)	Esfuerzo (MPa)	Modulo de elasticidad E	E Acum.
0	0	0		
0,0025	3432,33	1,33	532,01	
0,0050	8825,99	3,42	836,02	684,02
0,0075	18632,64	7,22	1520,03	962,69
0,0100	33832,94	13,11	2356,05	1311,03
0,0125	51484,91	19,95	2736,06	1596,04
0,0150	64723,89	25,08	2052,05	1672,04
0,0175	83356,53	32,30	2888,06	1845,76
0,0200	100518,16	38,95	2660,06	1947,54
0,0225	111795,81	43,32	1748,04	1925,38
0,0250	125034,79	48,45	2052,05	1938,04
0,0275	129938,11	50,35	760,02	1830,95

TABLA 20

MUESTRA PROMEDIO CON 27.5% DE LIMOLITA Y 4 DÍAS DE CURADO.

c						
Deformación (ϵ)	Esfuerzos (MPa)				Modulo de elasticida E	E Acum.
	M1	M2	M3	Promedio M		
0	0	0	0	0		
0,0025	0,76	1,14	1,33	1,08	430,68	
0,0050	2,96	2,93	3,42	3,10	810,68	620,6805
0,0075	7,68	6,65	7,22	7,18	1631,50	957,6213
0,0100	12,73	12,08	13,11	12,64	2183,78	1264,1614
0,0125	17,86	16,53	19,95	18,11	2188,85	1449,0989
0,0150	23,75	21,66	25,08	23,50	2153,38	1566,4793
0,0175	29,45	25,84	32,30	29,20	2280,05	1668,4180
0,0200	36,48	29,83	38,95	35,09	2356,05	1754,3723
0,0225	42,75	33,82	43,32	39,96	1950,71	1776,1876
0,0250	49,02	37,05	48,45	44,84	1950,71	1793,6399
0,0275	55,10	41,42	50,35	48,96	1646,70	1780,2820
0,0300	56,70	41,60		49,15	76,90	1638,3333
0,0325		49,97		49,97	328,44	1537,5726
0,0350		53,20		53,20	1292,03	1520,0338
0,0375		56,05		56,05	1140,03	1494,6999

TABLA 21

MUESTRA M1 CON 27.5% DE LIMOLITA Y 11 DÍAS DE CURADO

M1 - 11 - 27,5%				
Deformación (ϵ)	Fuerza (N)	Esfuerzo (MPa)	Modulo de elasticidad E	E Acum.
0	0	0		
0,0025	3558,6	1,38	551,58	
0,0050	12010,2	4,65	1310,00	930,79
0,0075	24910,0	9,65	1999,48	1287,02
0,0100	66278,5	25,68	6412,12	2568,30
0,0125	96971,2	37,58	4757,38	3006,11
0,0150	126774,3	49,13	4619,49	3275,01
0,0175	151239,5	58,61	3792,12	3348,88
0,0200	171256,5	66,36	3102,64	3318,10

TABLA 22

MUESTRA M2 CON 27.5% DE LIMOLITA Y 11 DÍAS DE CURADO

M2 - 11 - 27,5%				
Deformación (ϵ)	Fuerza (N)	Esfuerzo (MPa)	Modulo de elasticidad E	E Acum.
0	0	0		
0,0025	8451,6	3,28	1310,00	
0,0050	26244,5	10,17	2757,90	2033,95
0,0075	69392,3	26,89	6687,92	3585,27
0,0100	99195,4	38,44	4619,49	3843,83
0,0125	149015,4	57,74	7722,13	4619,49
0,0150	166808,3	64,64	2757,90	4309,22

TABLA 23

MUESTRA M3 CON 27.5% DE LIMOLITA Y 11 DÍAS DE CURADO

M3 - 11 - 27,5%				
Deformación (ε)	Fuerza (N)	Esfuerzo (MPa)	Modulo de elasticidad E	E Acum.
0	0	0		
0,0025	15568,8	6,03	2413,17	
0,0050	46706,3	18,10	4826,33	3619,75
0,0075	65833,7	25,51	2964,75	3401,41
0,0100	97860,9	37,92	4964,23	3792,12
0,0125	117877,9	45,68	3102,64	3654,22
0,0150	133446,7	51,71	2413,17	3447,38
0,0175	142343,1	55,16	1378,95	3151,89

TABLA 24

MUESTRA PROMEDIO CON 27.5% DE LIMOLITA Y 11 DÍAS DE CURADO

MUESTRA PROMEDIO						
Deformación (ε)	Esfuerzos (MPa)				Modulo de elasticidad E	E Acum.
	M1	M2	M3	Promedio M		
0	0	0	0	0		
0,0025	1,38	3,28	6,03	3,56	1424,92	
0,0050	4,65	10,17	18,10	10,97	2964,75	2194,8313
0,0075	9,65	26,89	25,51	20,68	3884,05	2757,9032
0,0100	25,68	38,44	37,92	34,01	5331,95	3401,4139
0,0125	37,58	57,74	45,68	47,00	5194,05	3759,9413
0,0150	49,13	64,64	51,71	55,16	3263,52	3677,2042
0,0175	58,61		55,16	56,88	689,48	3250,3859
0,0200	66,36			66,36	3792,12	3318,1022

TABLA 25

MUESTRA M1 CON 27.5% DE LIMOLITA Y 18 DÍAS DE CURADO

M1 - 18 - 27,5%				
Deformación (ϵ)	Fuerza (N)	Esfuerzo (MPa)	Modulo de elasticidad E	E Acum.
0	0	0		
0,0025	7117,2	2,76	1103,16	
0,0050	20906,6	8,10	2137,37	1620,27
0,0075	57382,1	22,24	5653,70	2964,75
0,0100	98305,7	38,09	6343,18	3809,35
0,0125	133446,7	51,71	5446,86	4136,85
0,0150	157911,9	61,19	3792,12	4079,40
0,0175	182377,1	70,67	3792,12	4038,36

TABLA 26

MUESTRA M2 CON 27.5% DE LIMOLITA Y 18 DÍAS DE CURADO

M2 - 18 - 27,5%				
Deformación (ϵ)	Fuerza (N)	Esfuerzo (MPa)	Modulo de elasticidad E	E Acum.
0	0	0		
0,0025	3113,8	1,21	482,63	
0,0050	13789,5	5,34	1654,74	1068,69
0,0075	48485,6	18,79	5377,91	2505,10
0,0100	73840,5	28,61	3930,01	2861,32
0,0125	107647,0	41,71	5240,02	3337,06
0,0150	140119,0	54,30	5033,17	3619,75
0,0175	182377,1	70,67	6550,02	4038,36
0,0200	200170,0	77,57	2757,90	3878,30

TABLA 27

MUESTRA M3 CON 27.5% DE LIMOLITA Y 18 DÍAS DE CURADO

M3 - 18 - 27,5%				
Deformación (ϵ)	Fuerza (N)	Esfuerzo (MPa)	Modulo de elasticidad E	E Acum.
0	0	0		
0,0025	4893,0	1,90	758,42	
0,0050	17792,9	6,89	1999,48	1378,95
0,0075	39144,4	15,17	3309,48	2022,46
0,0100	76954,2	29,82	5860,54	2981,98
0,0125	117877,9	45,68	6343,18	3654,22
0,0150	146791,3	56,88	4481,59	3792,12
0,0175	184601,2	71,53	5860,54	4087,61
0,0200	202394,1	78,43	2757,90	3921,39

TABLA 28

MUESTRA PROMEDIO CON 27.5% DE LIMOLITA Y 18 DÍAS DE CURADO

MUESTRA PROMEDIO						
Deformación (ϵ)	Esfuerzos (MPa)				Modulo de elasticidad E	E Acum.
	M1	M2	M3	Promedio M		
0	0	0	0	0		
0,0025	2,76	1,21	1,90	1,95	781,41	
0,0050	8,10	5,34	6,89	6,78	1930,53	1355,9691
0,0075	22,24	18,79	15,17	18,73	4780,37	2497,4345
0,0100	38,09	28,61	29,82	32,18	5377,91	3217,5537
0,0125	51,71	41,71	45,68	46,37	5676,68	3709,3797
0,0150	61,19	54,30	56,88	57,46	4435,63	3830,4210
0,0175	70,67	70,67	71,53	70,96	5400,89	4054,7743
0,0200		77,57	78,43	78,00	2815,36	3899,8474

TABLA 29

MUESTRA M1 CON 27.5% DE LIMOLITA Y 25 DÍAS DE CURADO

M1 - 25 - 27,5%				
Deformación (ϵ)	Fuerza (N)	Esfuerzo (MPa)	Modulo de elasticidad E	E Acum.
0	0	0		
0,0025	2668,9	1,03	413,69	
0,0050	7117,2	2,76	689,48	551,58
0,0075	22685,9	8,79	2413,17	1172,11
0,0100	49820,1	19,31	4205,80	1930,53
0,0125	93857,5	36,37	6825,81	2909,59
0,0150	135670,8	52,57	6481,07	3504,84
0,0175	177928,9	68,95	6550,02	3939,86
0,0200	195721,8	75,84	2757,90	3792,12

TABLA 30

MUESTRA M2 CON 27.5% DE LIMOLITA Y 25 DÍAS DE CURADO

M2 - 25 - 27,5%				
Deformación (ϵ)	Fuerza (N)	Esfuerzo (MPa)	Modulo de elasticidad E	E Acum.
0	0	0		
0,0025	4893,0	1,90	758,42	
0,0050	20461,8	7,93	2413,17	1585,79
0,0075	52933,8	20,51	5033,17	2734,92
0,0100	76064,6	29,48	3585,27	2947,51
0,0125	106757,3	41,37	4757,38	3309,48
0,0150	140119,0	54,30	5171,07	3619,75
0,0175	153463,7	59,47	2068,43	3398,13

TABLA 31

MUESTRA M3 CON 27.5% DE LIMOLITA Y 25 DÍAS DE CURADO

M3 - 25 - 27,5%				
Deformación (ε)	Fuerza (N)	Esfuerzo (MPa)	Modulo de elasticidad E	E Acum.
0	0	0		
0,0025	8451,6	3,28	1310,00	
0,0050	30247,9	11,72	3378,43	2344,22
0,0075	74730,1	28,96	6894,76	3861,06
0,0100	100085,0	38,78	3930,01	3878,30
0,0125	149015,4	57,74	7584,23	4619,49
0,0150	186825,3	72,39	5860,54	4826,33
0,0175	211290,5	81,88	3792,12	4678,59

TABLA 32

MUESTRA PROMEDIO CON 27.5% DE LIMOLITA Y 25 DÍAS DE CURADO

MUESTRA PROMEDIO						
Deformación (ε)	Esfuerzos (MPa)				Modulo de elasticidad E	E Acum.
	M1	M2	M3	Promedio M		
0	0	0	0	0		
0,0025	1,03	1,90	3,28	2,07	827,37	
0,0050	2,76	7,93	11,72	7,47	2160,36	1493,8642
0,0075	8,79	20,51	28,96	19,42	4780,37	2589,3646
0,0100	19,31	29,48	38,78	29,19	3907,03	2918,7808
0,0125	36,37	41,37	57,74	45,16	6389,14	3612,8531
0,0150	52,57	54,30	72,39	59,75	5837,56	3983,6379
0,0175	68,95	59,47	81,88	70,10	4136,85	4005,5260
0,0200	75,84			75,84	2298,25	3792,1168

ANEXOS (FIGURAS)

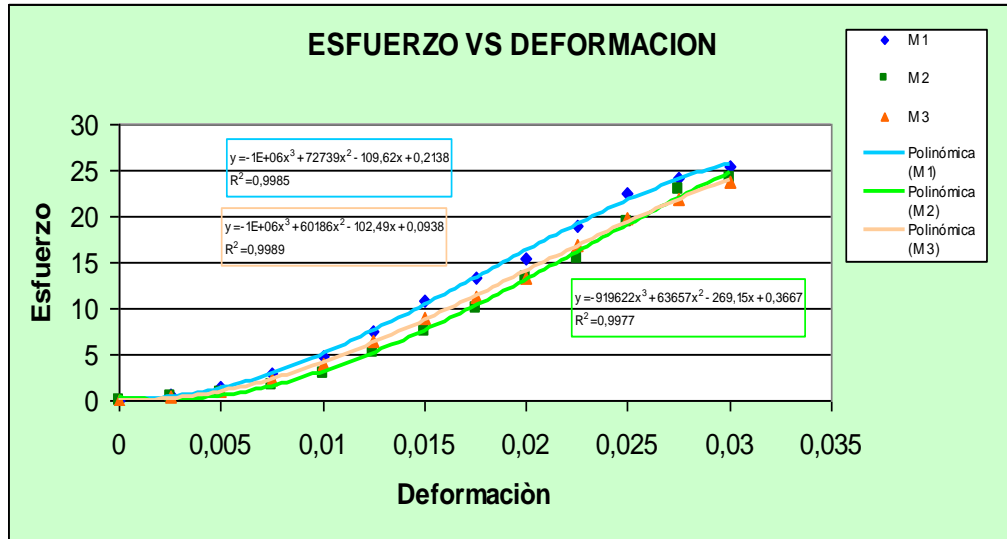


FIGURA 1. ESFUERZO VS DEFORMACION-25%-7

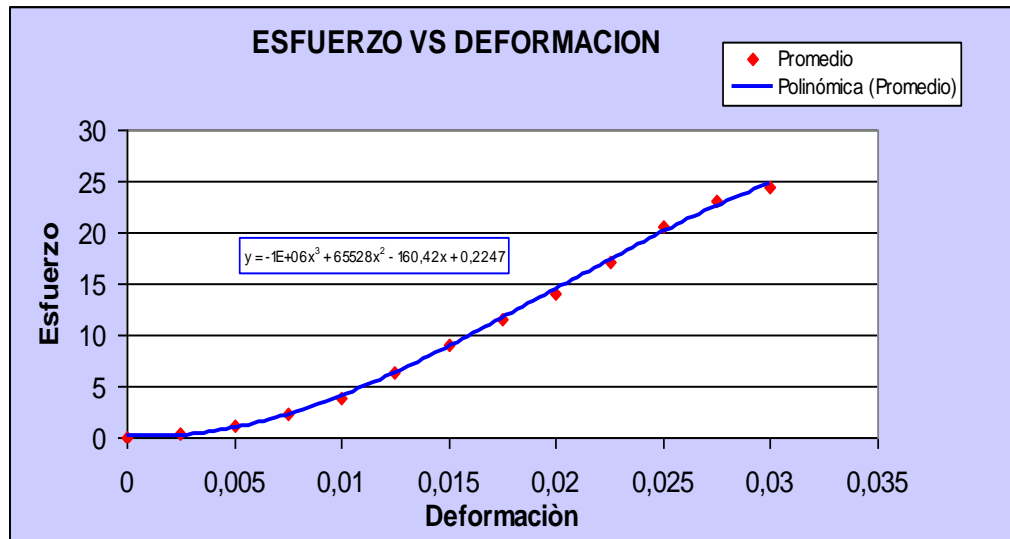
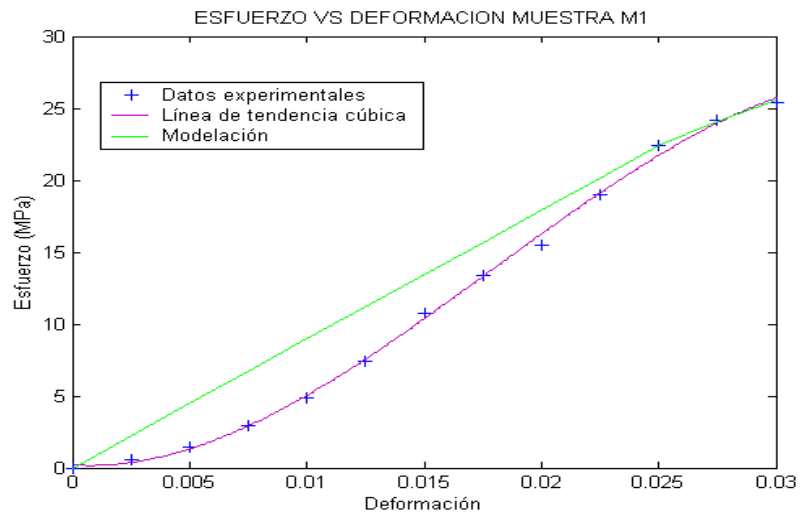
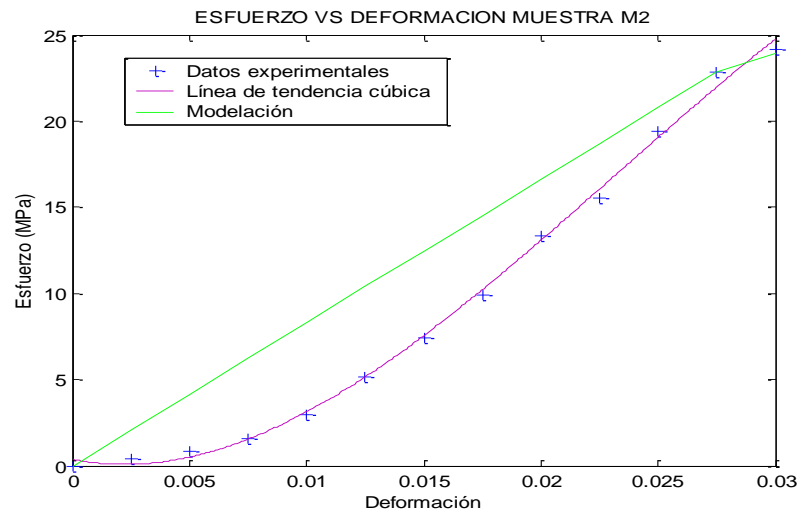


FIGURA 2. ESFUERZO VS DEFORMACIÓN PROMEDIO-25%-7

**FIGURA 3. MODELO DE MUESTRA M1-25%-7****FIGURA 4. MODELO DE MUESTRA M2-25%-7**

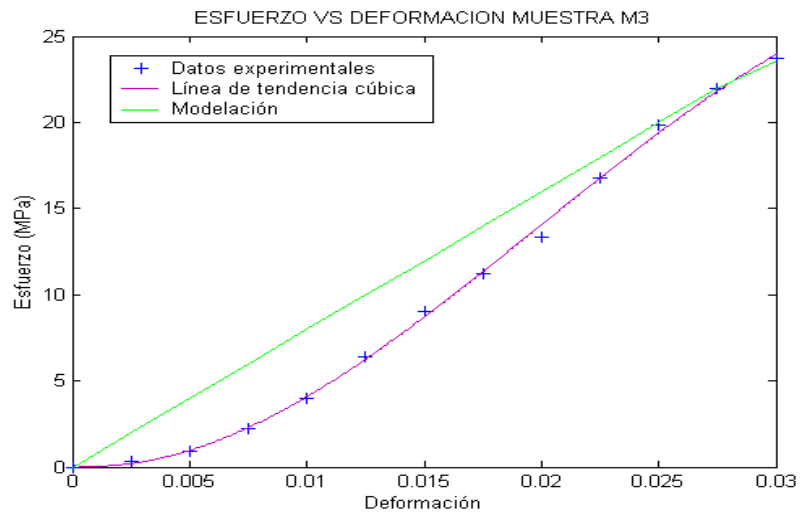


FIGURA 5. MODELO DE MUESTRA M3-25%-7

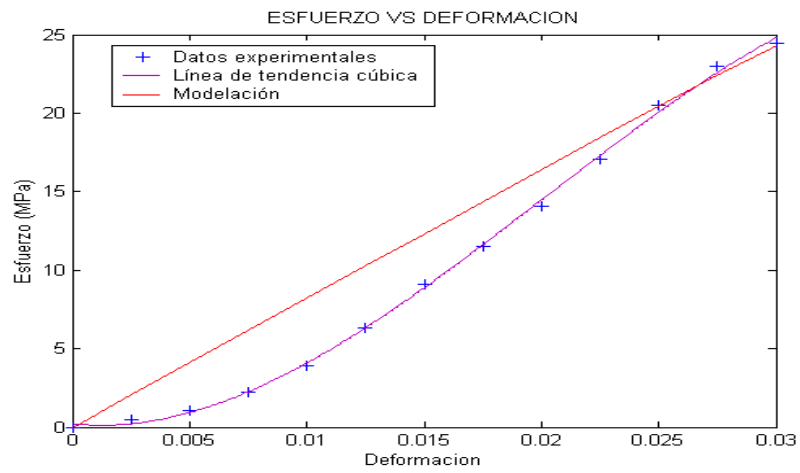


FIGURA 6. MODELO PROMEDIO-25%-7

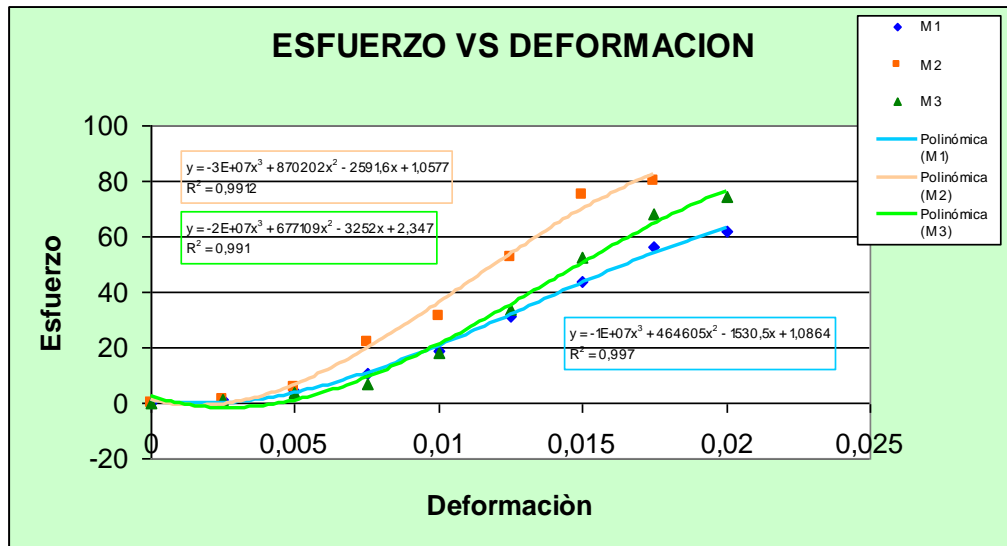


FIGURA 7. ESFUERZO VS DEFORMACION M1, M2, M3-25%-14

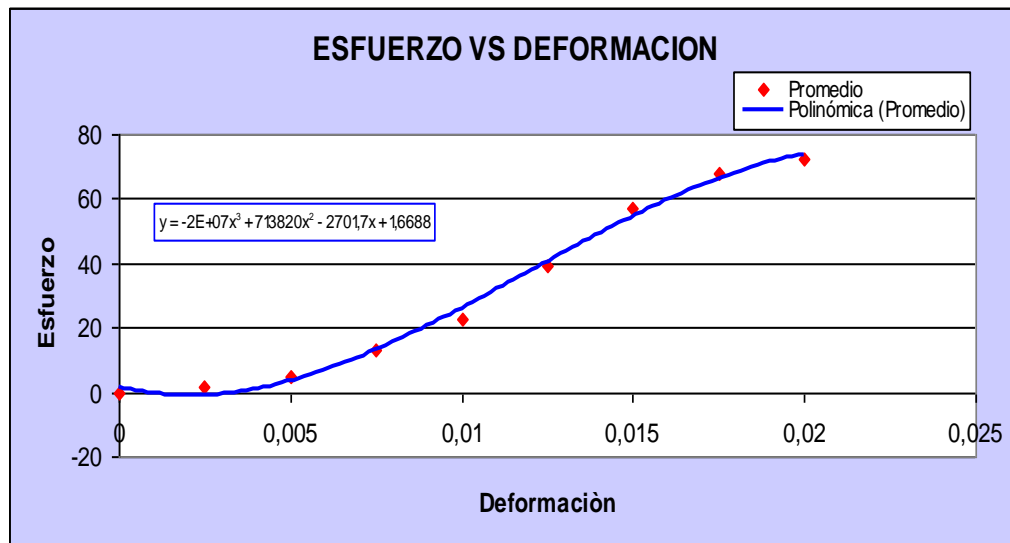


FIGURA 8. ESFUERZO VS DEFORMACIÓN PROMEDIO-25%-14

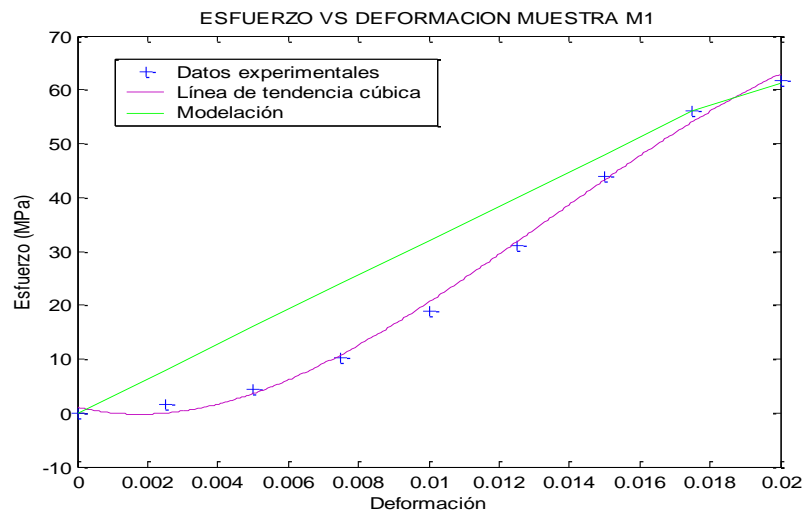


FIGURA 9. MODELO DE MUESTRA M1-25%-14

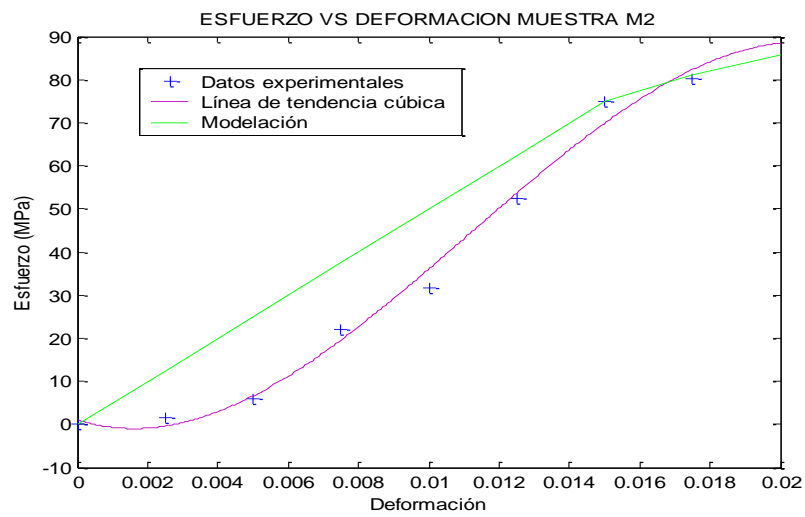


FIGURA 10. MODELO DE MUESTRA M2-25%-14

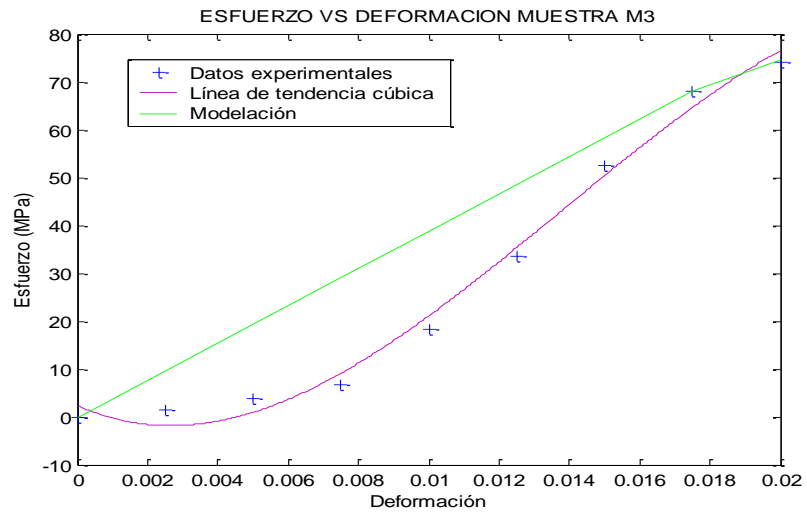


FIGURA 11. MODELO DE MUESTRA M3-25%-14

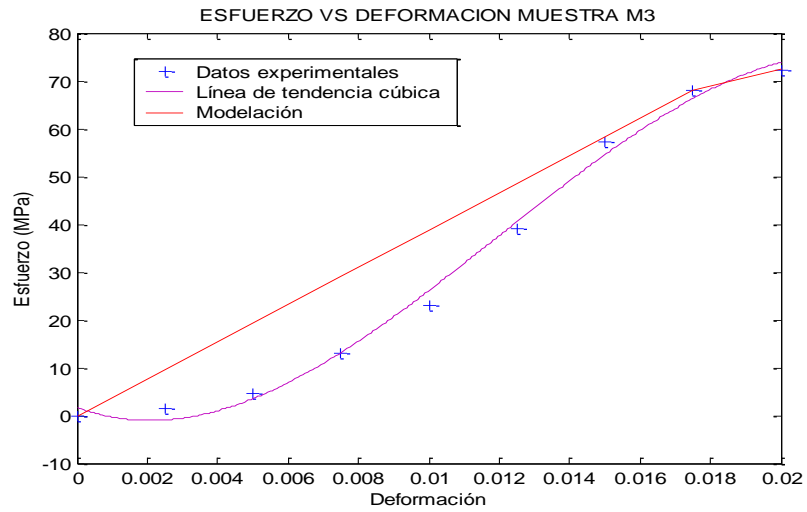


FIGURA 12. MODELO PROMEDIO-25%-14

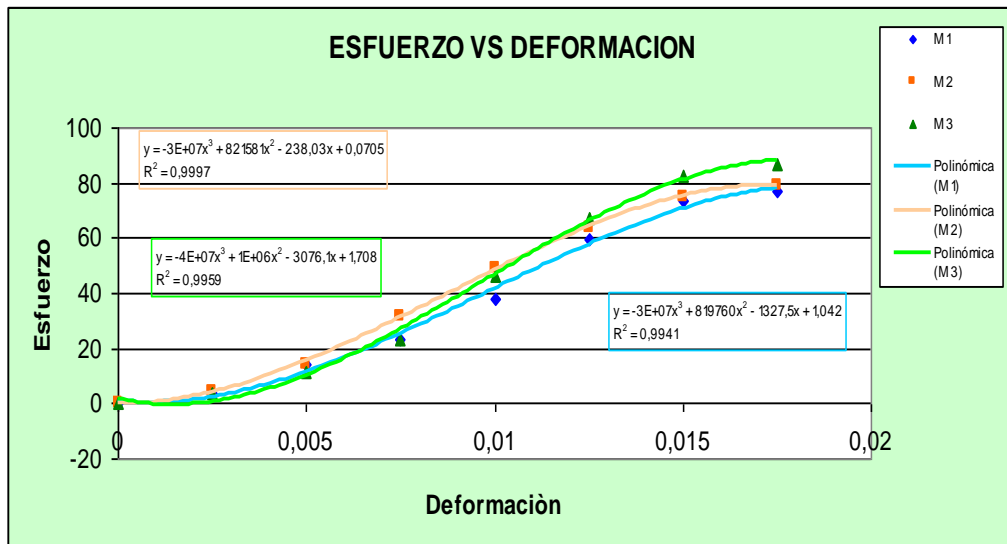


FIGURA 13. ESFUERZO VS DEFORMACION M1, M2, M3-25%-21

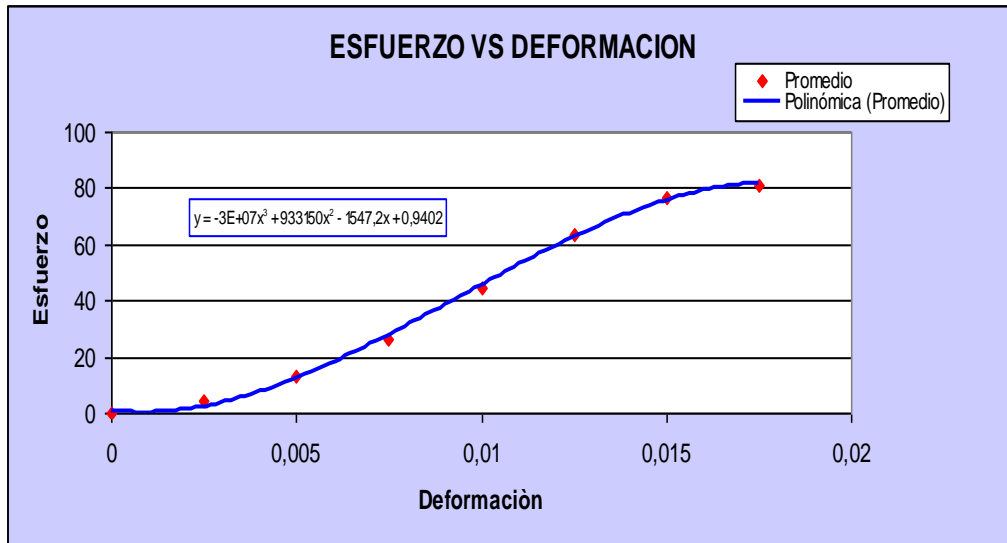


FIGURA 14. ESFUERZO VS DEFORMACIÓN PROMEDIO-25%-21

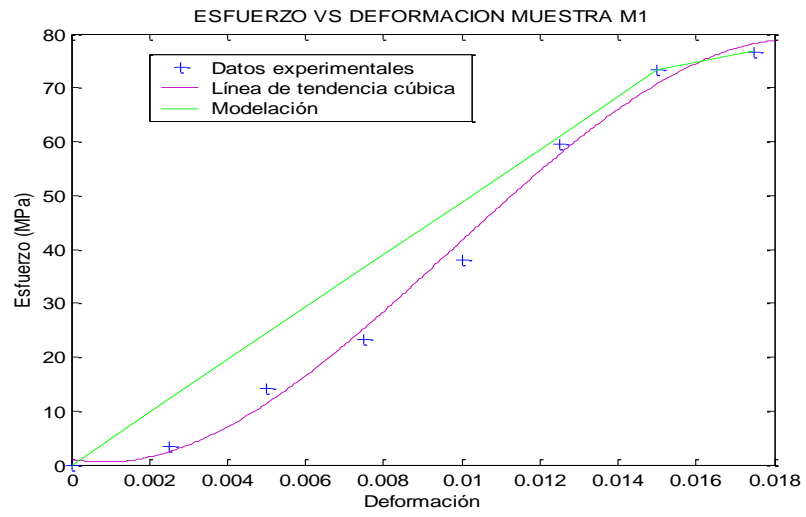


FIGURA 15. MODELO DE MUESTRA M1-25%-21

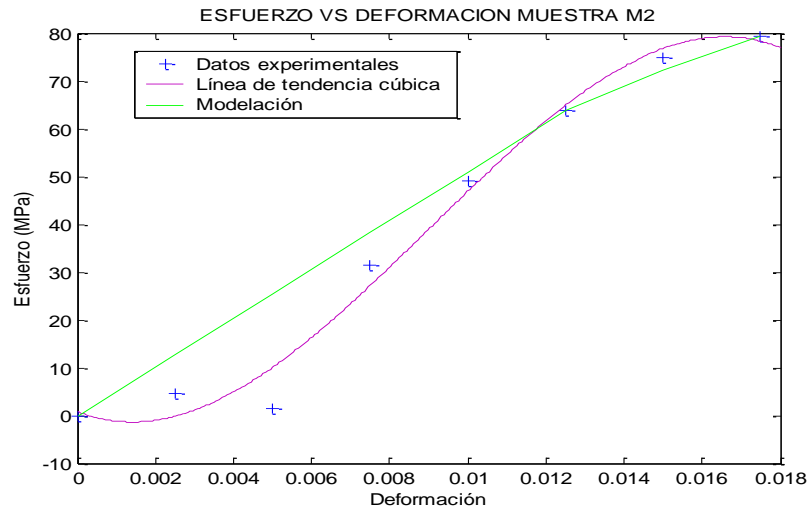


FIGURA 16. MODELO DE MUESTRA M2-25%-21

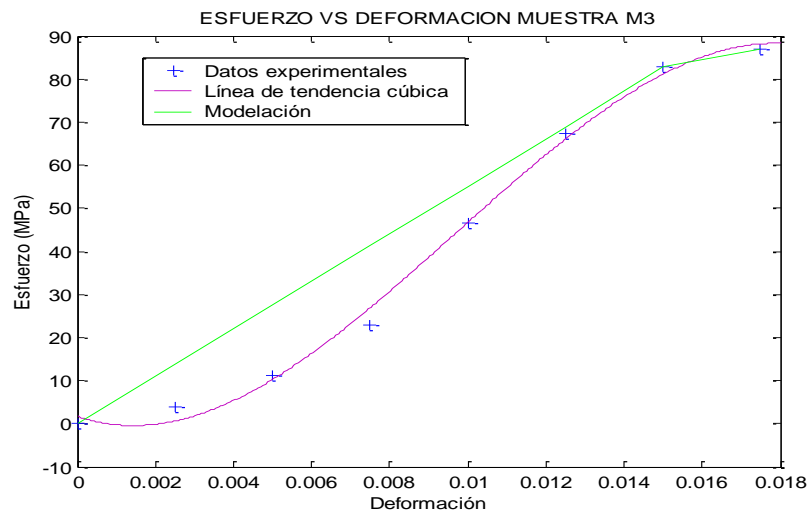


FIGURA 17. MODELO DE MUESTRA M3-25%-21

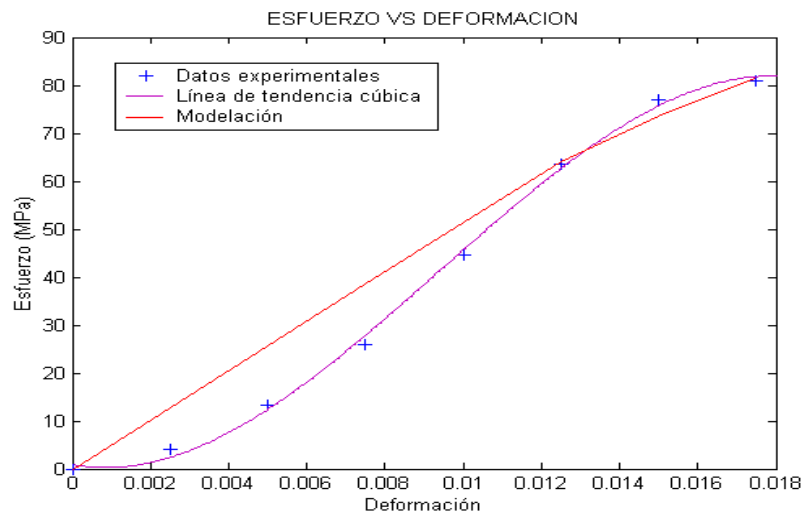


FIGURA 18. MODELO PROMEDIO-25%-21

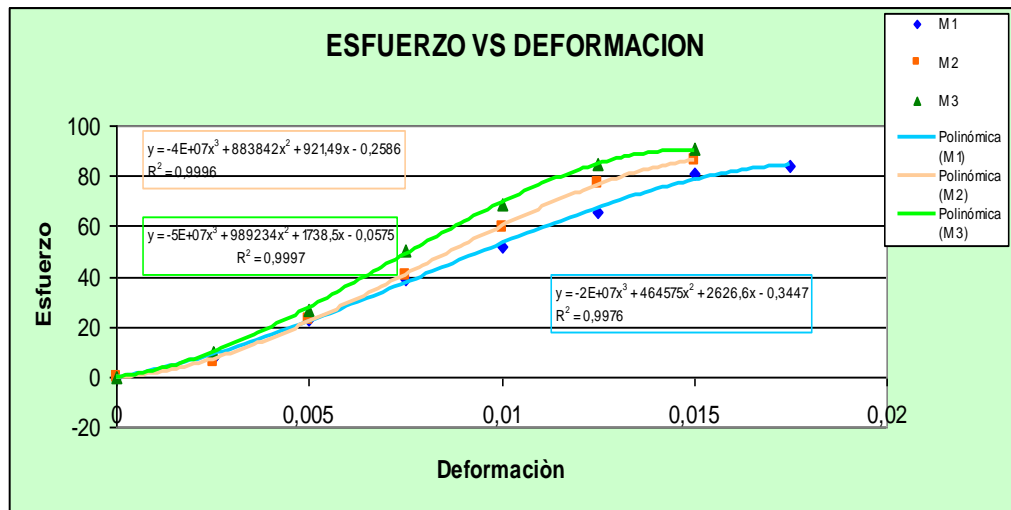


FIGURA 19. ESFUERZO VS DEFORMACION M1, M2, M3-25%-28

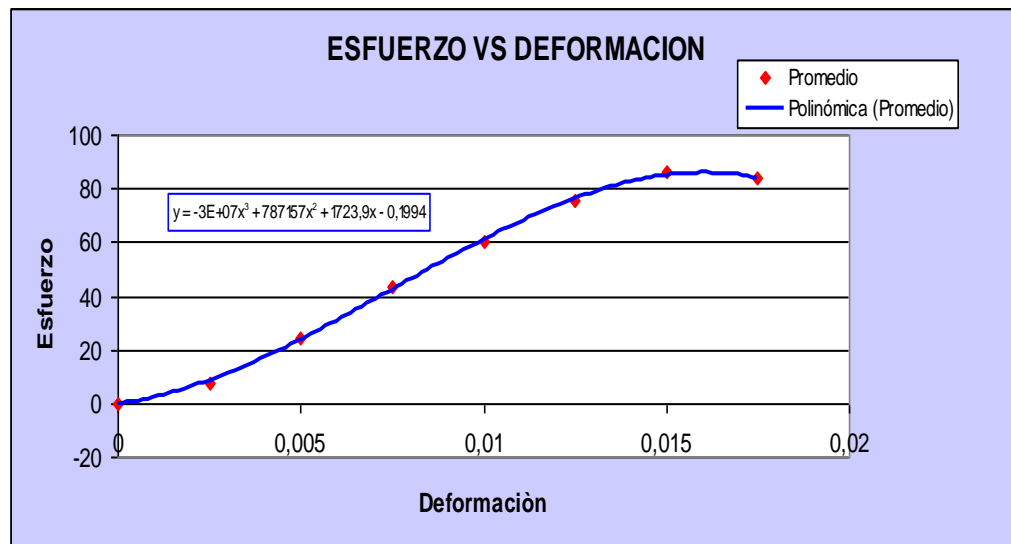


FIGURA 20. ESFUERZO VS DEFORMACIÓN PROMEDIO-25%-28

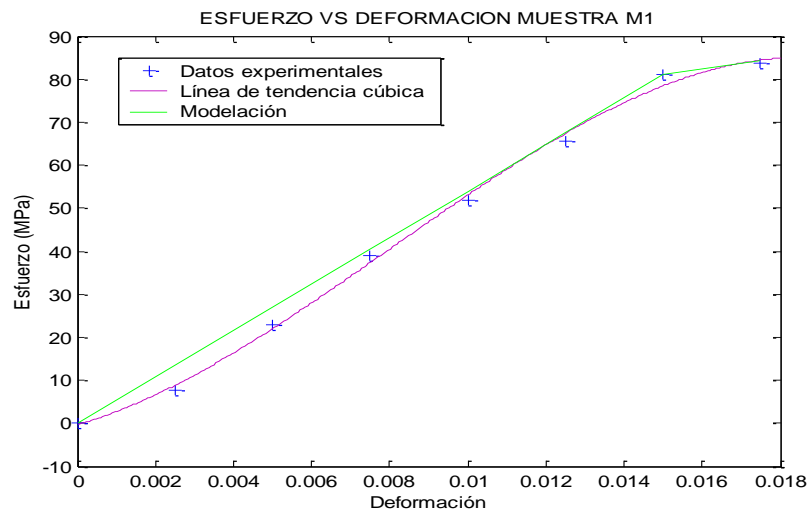


FIGURA 21. MODELO DE MUESTRA M1-25%-28

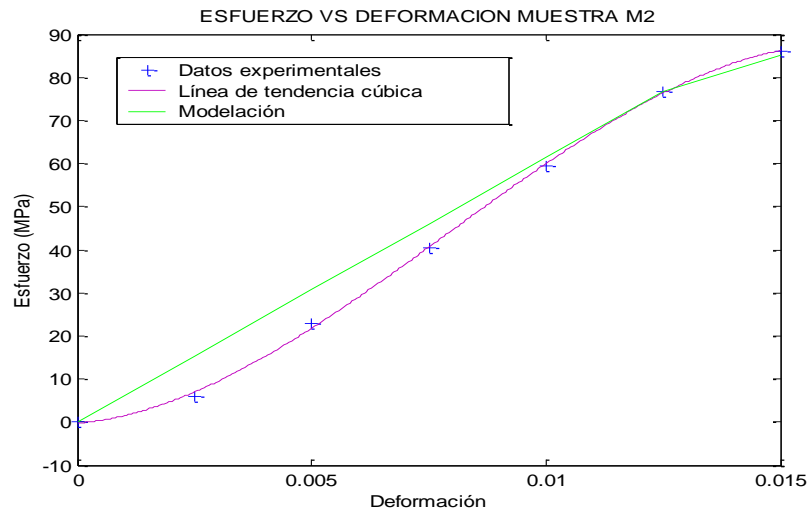


FIGURA 22. MODELO DE MUESTRA M2-25%-28

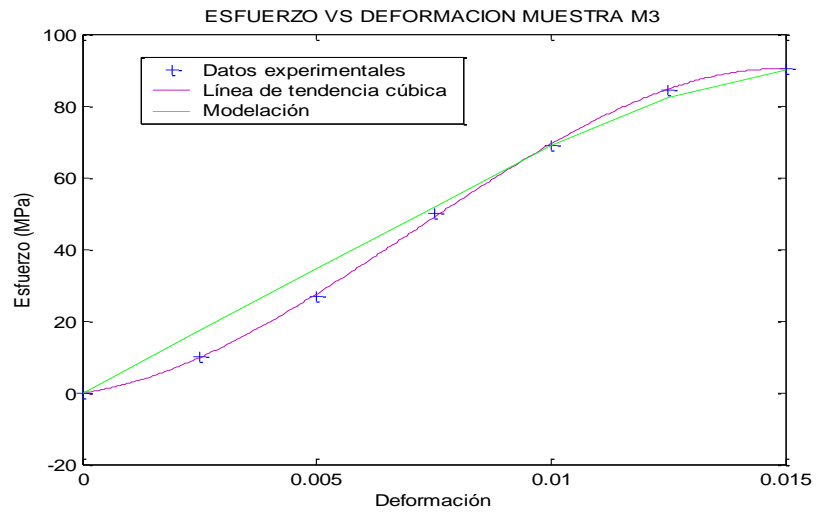


FIGURA 23. MODELO DE MUESTRA M3-25%-28

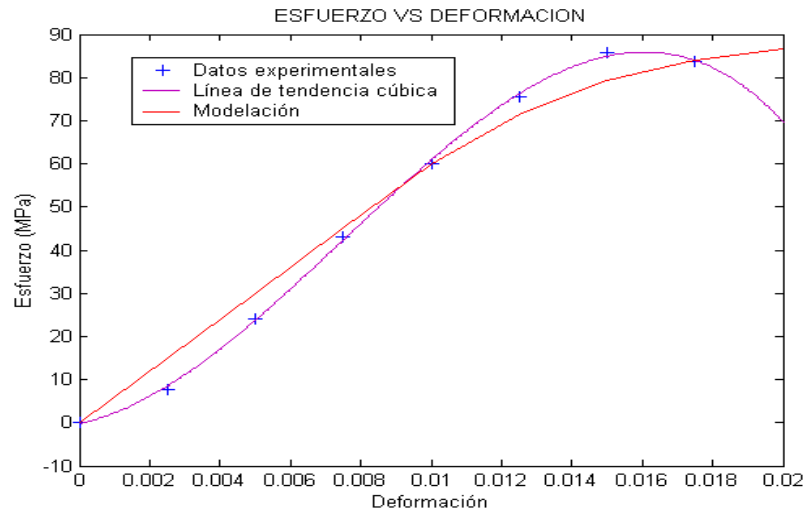


FIGURA 24. MODELO PROMEDIO-25%-28

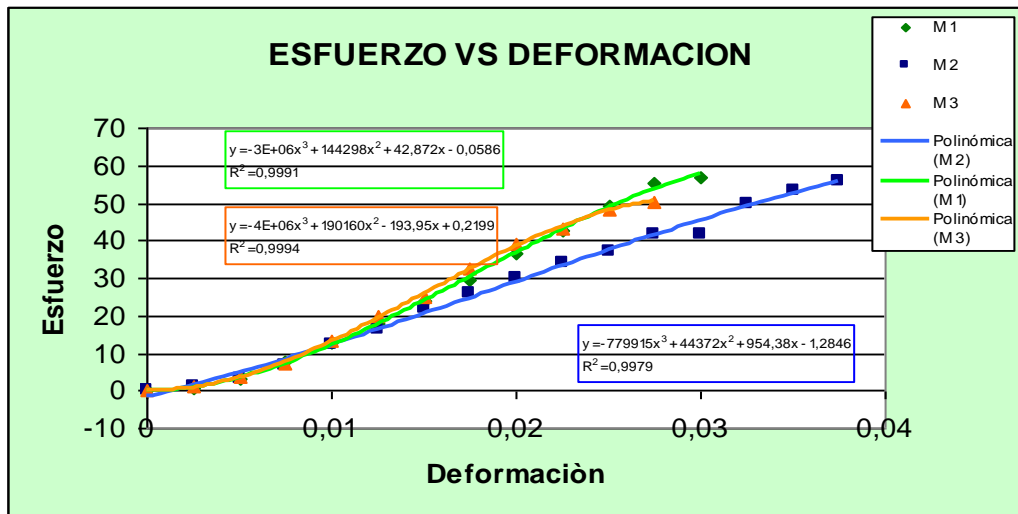


FIGURA 25. ESFUERZO VS DEFORMACION M1, M2, M3-27.5%-4

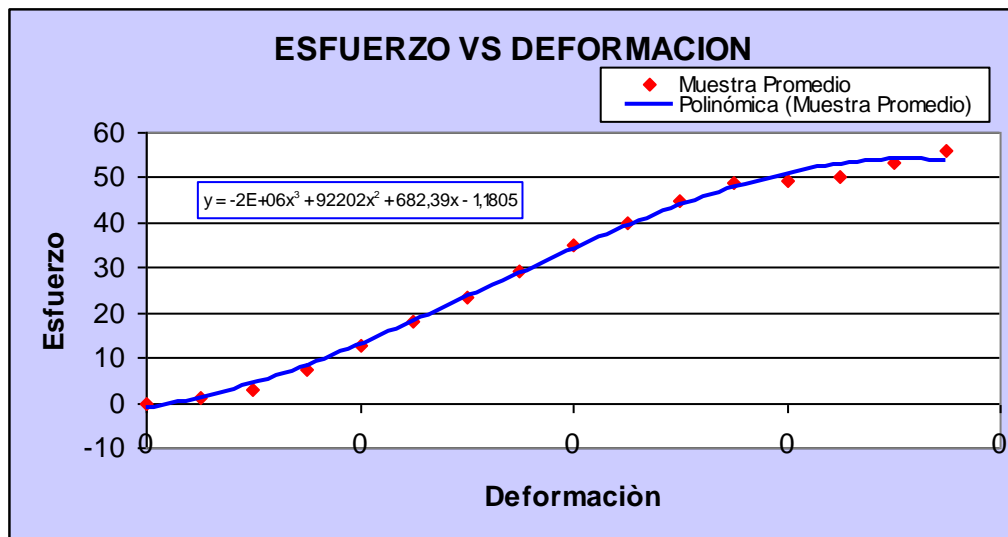


FIGURA 26. ESFUERZO VS DEFORMACIÓN PROMEDIO

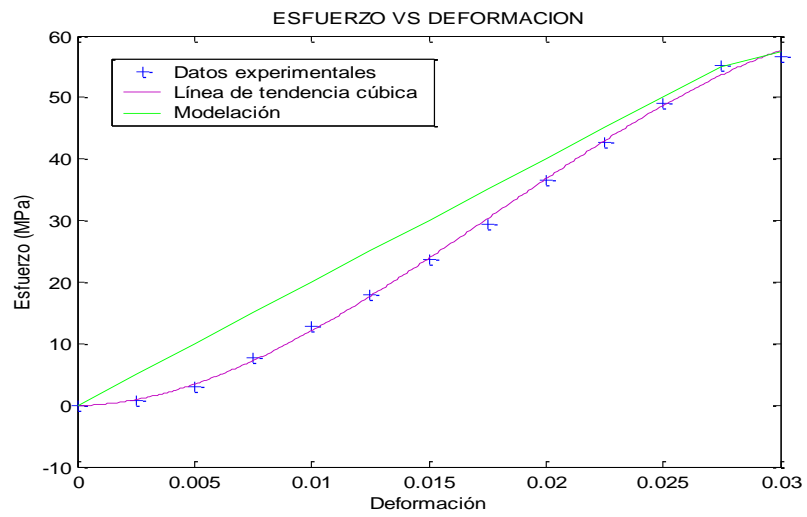


FIGURA 27. MODELO DE MUESTRA M1

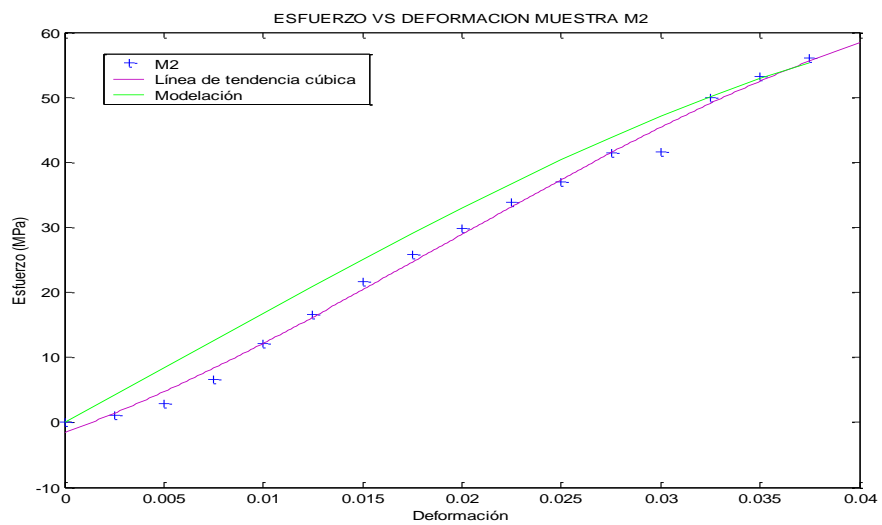


FIGURA 28. MODELO DE MUESTRA M2

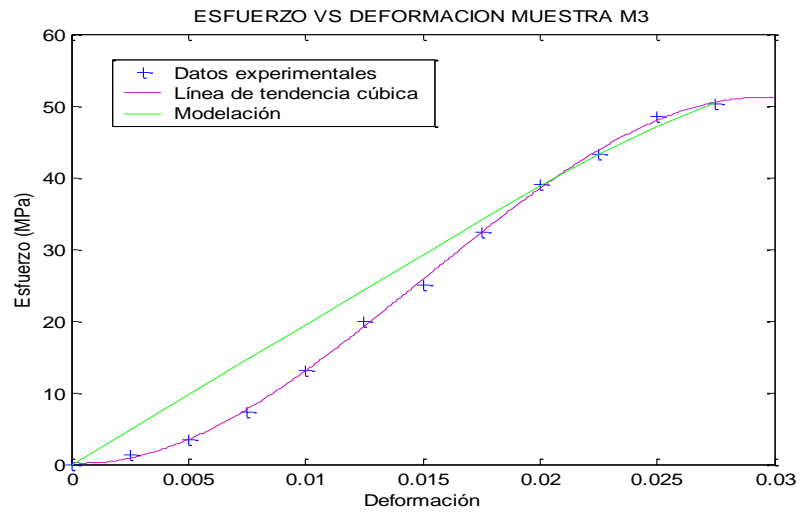


FIGURA 29. MODELO DE MUESTRA M3

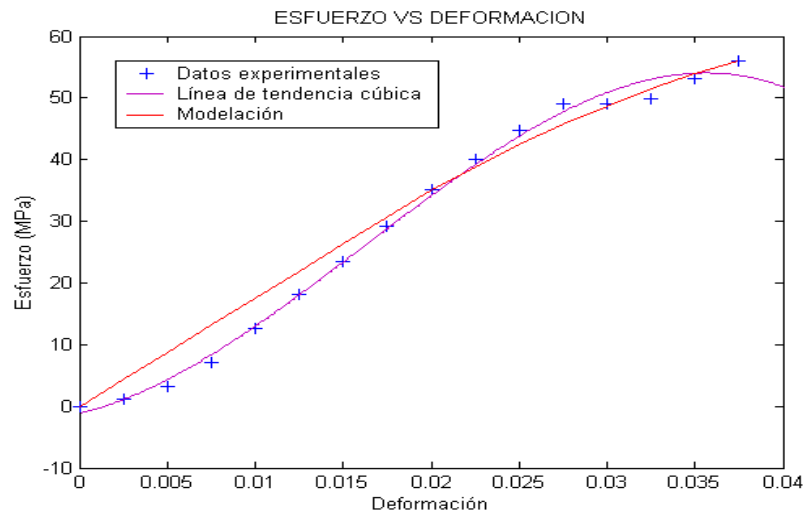


FIGURA 30. MODELO PROMEDIO

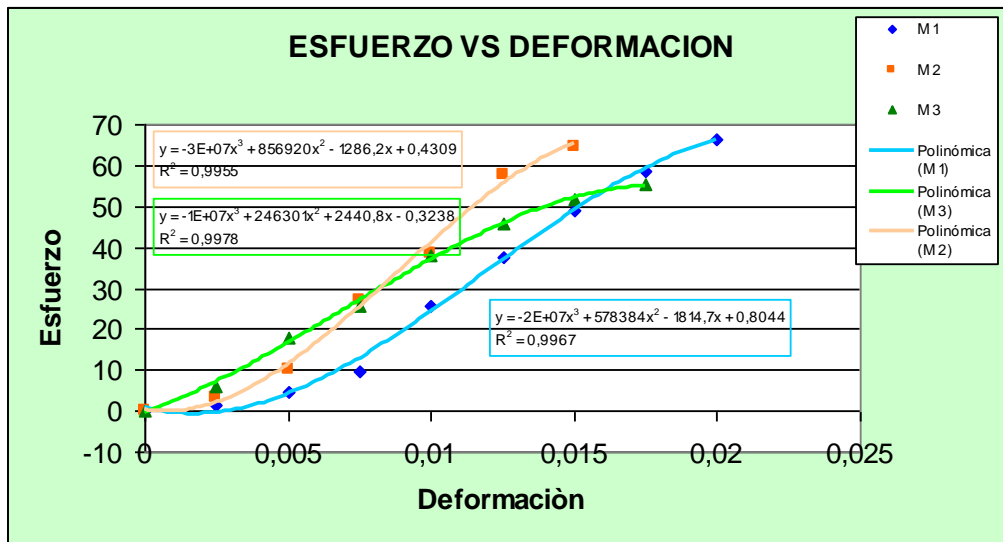


FIGURA 31. ESFUERZO VS DEFORMACION M1, M2, M3

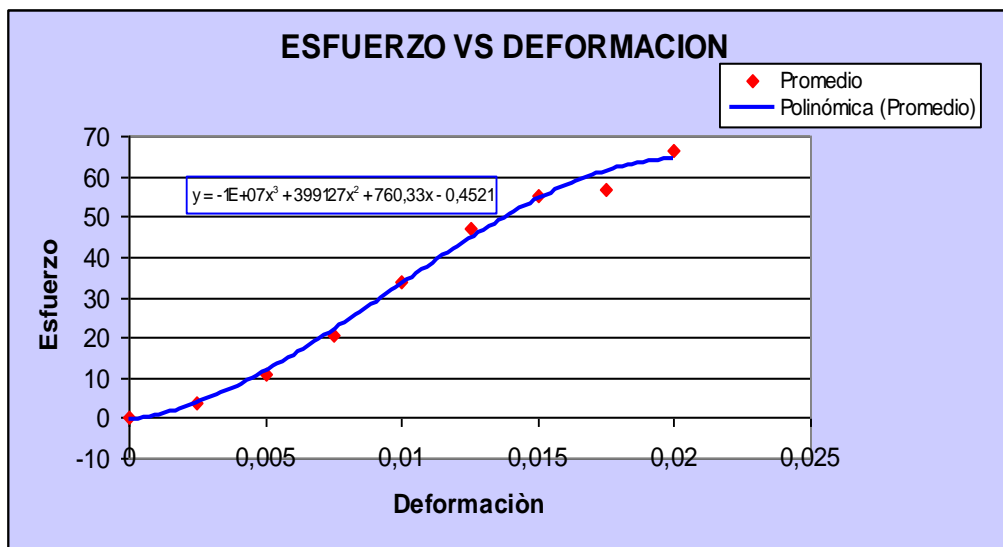


FIGURA 32. ESFUERZO VS DEFORMACIÓN PROMEDIO

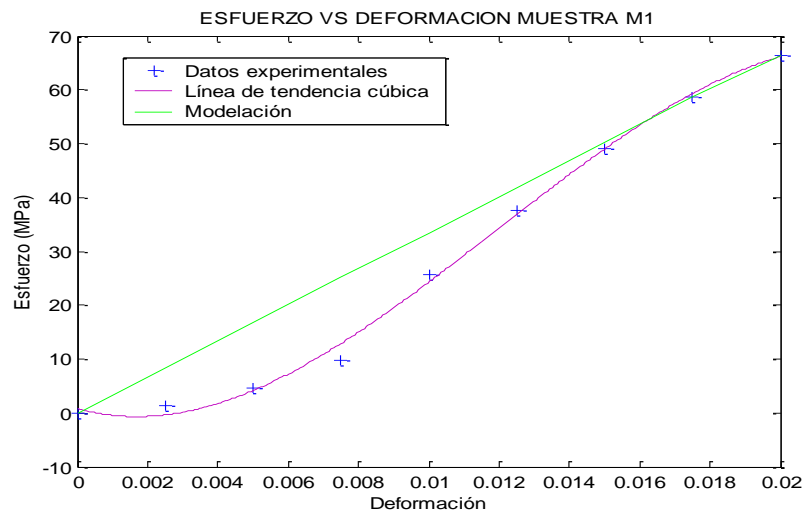


FIGURA 33. MODELO DE MUESTRA M1

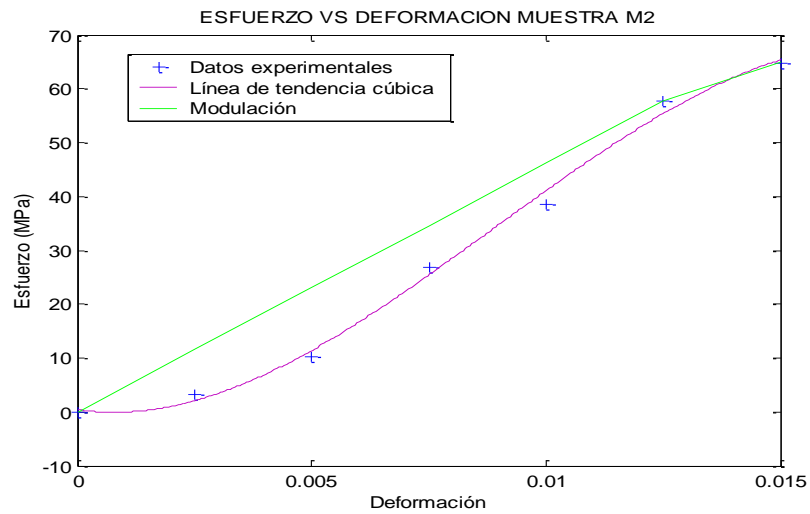


FIGURA 34. MODELO DE MUESTRA M2

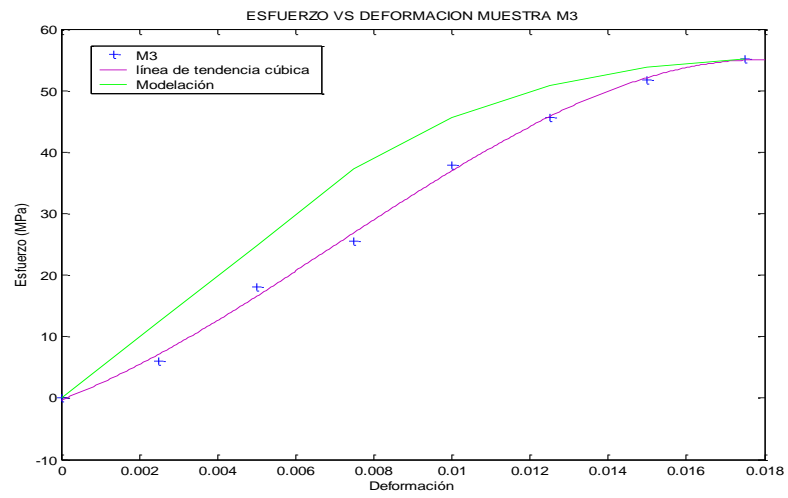


FIGURA 35. MODELO DE MUESTRA M3

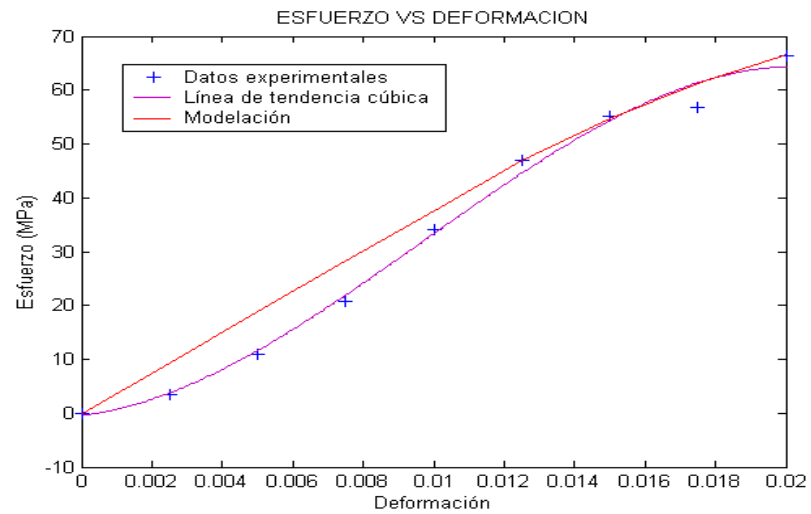


FIGURA 36. MODELO PROMEDIO

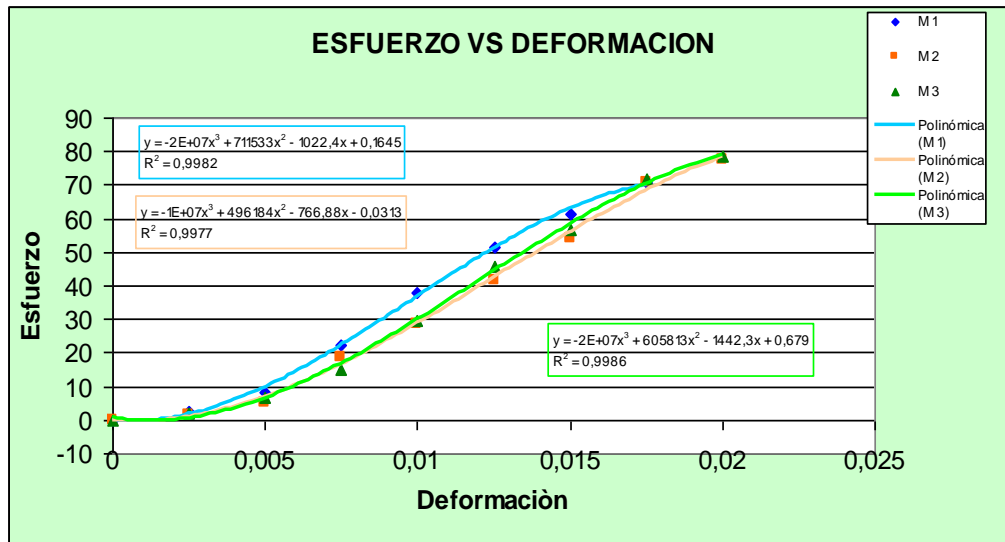


FIGURA 37. ESFUERZO VS DEFORMACION M1, M2, M3

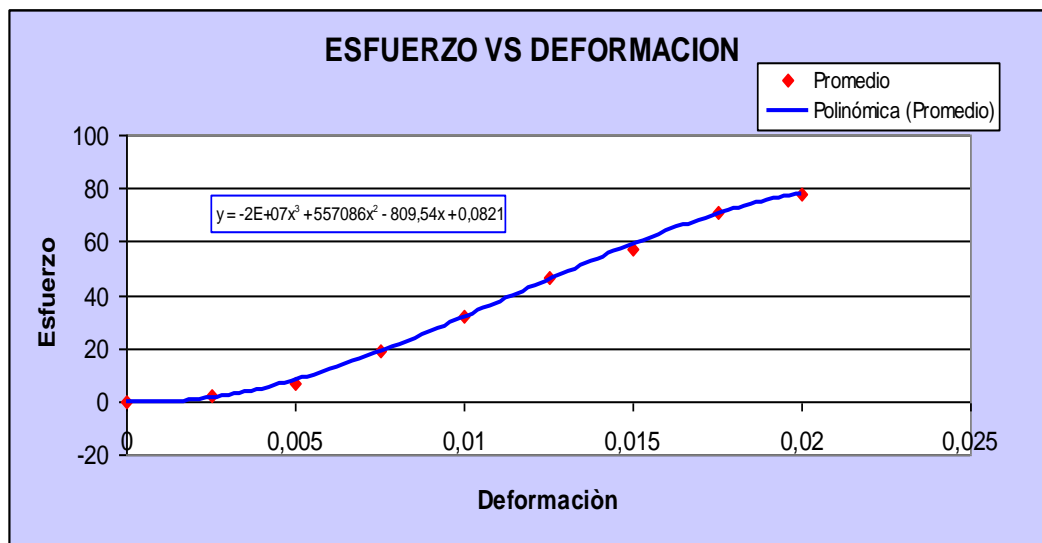


FIGURA 38. ESFUERZO VS DEFORMACIÓN PROMEDIO

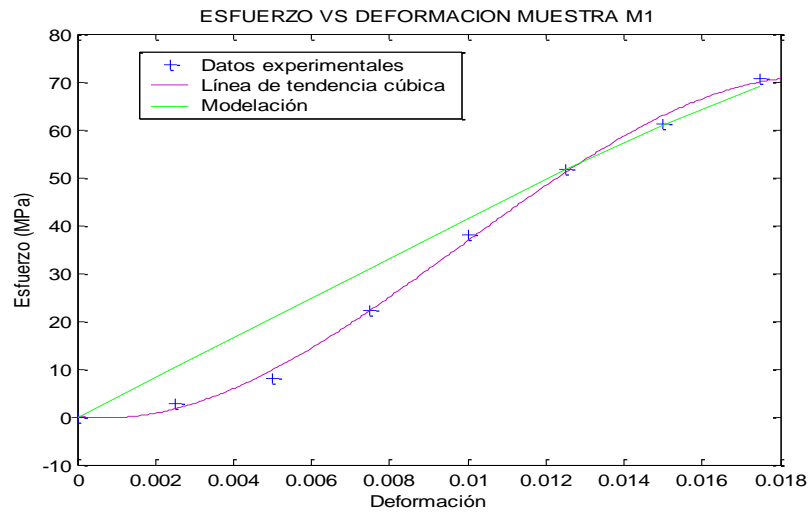


FIGURA 39. MODELO DE MUESTRA M1

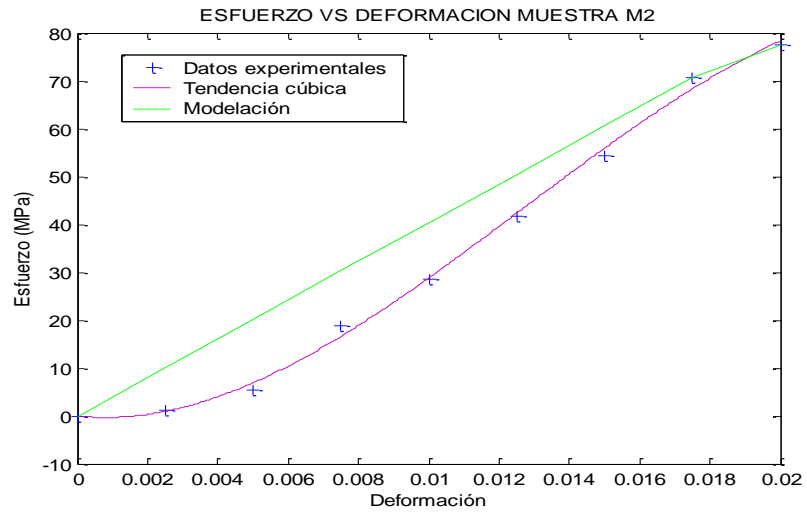


FIGURA 40. MODELO DE MUESTRA M2

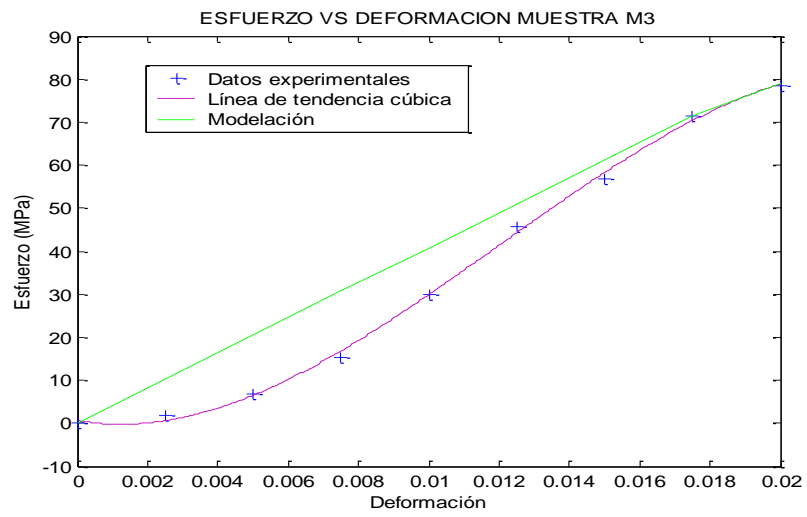


FIGURA 41. MODELO DE MUESTRA M3

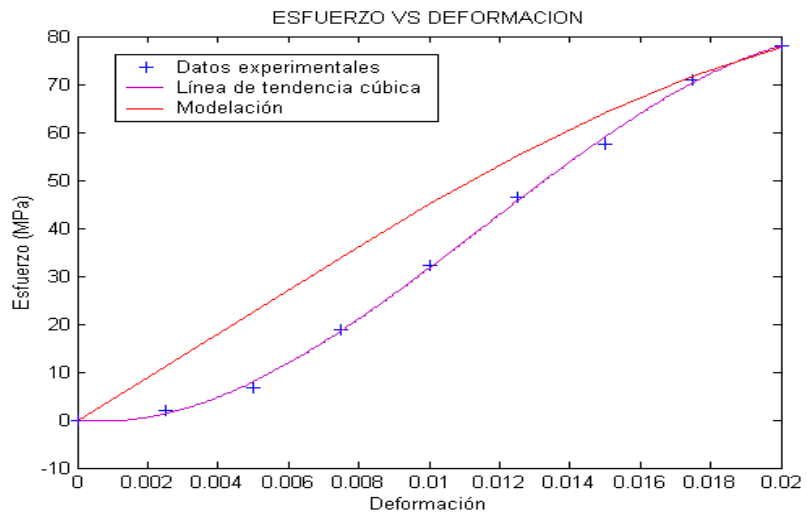


FIGURA 42. MODELO PROMEDIO

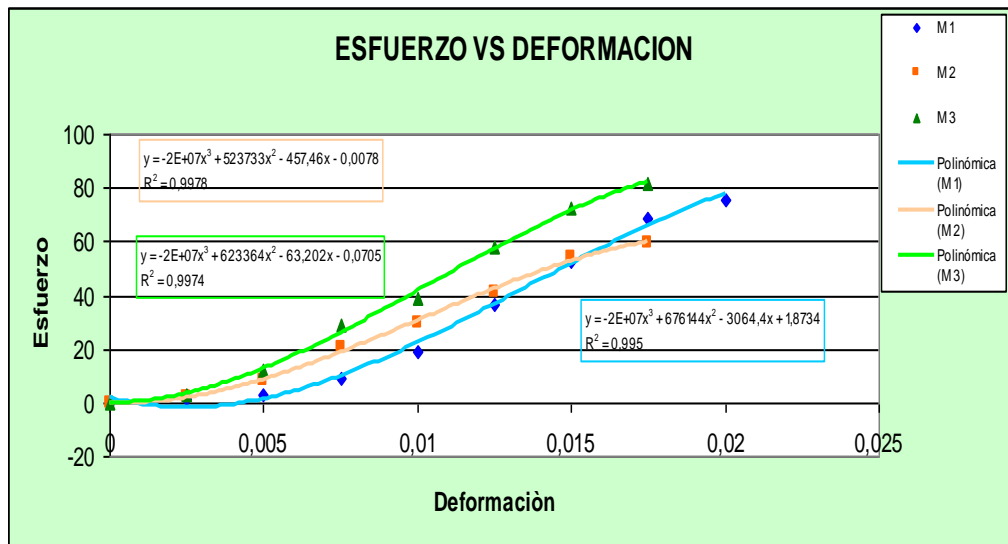


FIGURA 43. ESFUERZO VS DEFORMACION M1, M2, M3

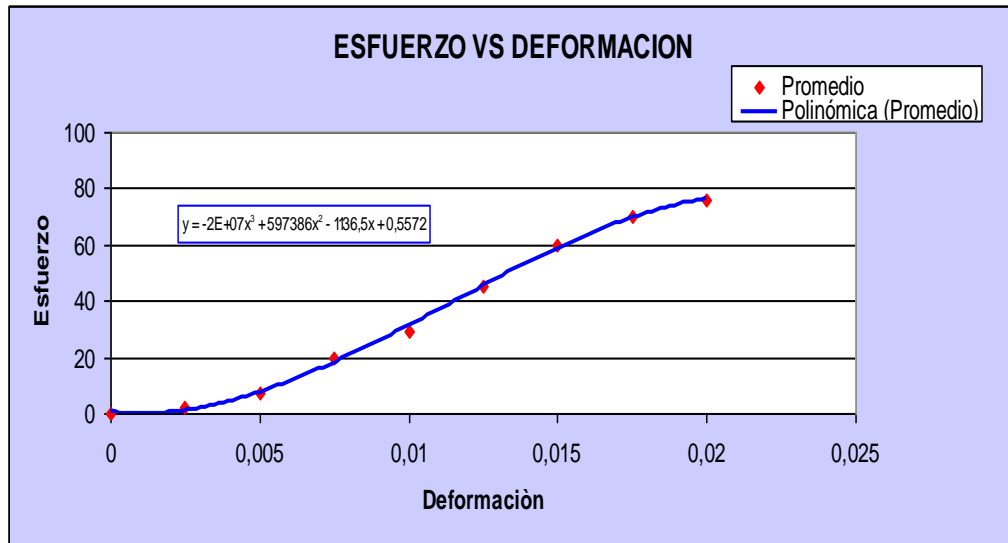


FIGURA 44. ESFUERZO VS DEFORMACIÓN PROMEDIO

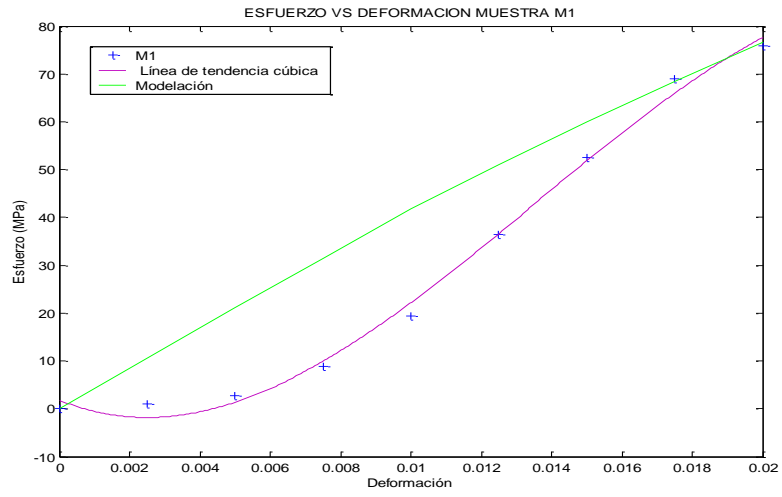


FIGURA 45. MODELO DE MUESTRA M1

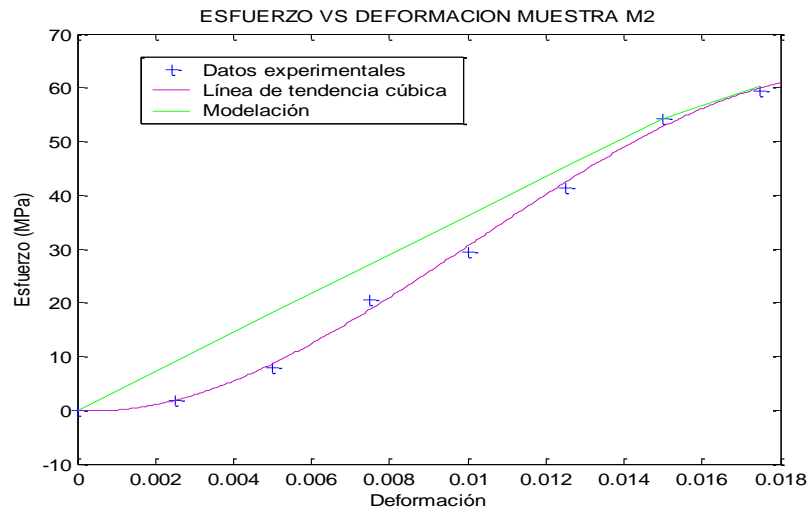


FIGURA 46. MODELO DE MUESTRA M2

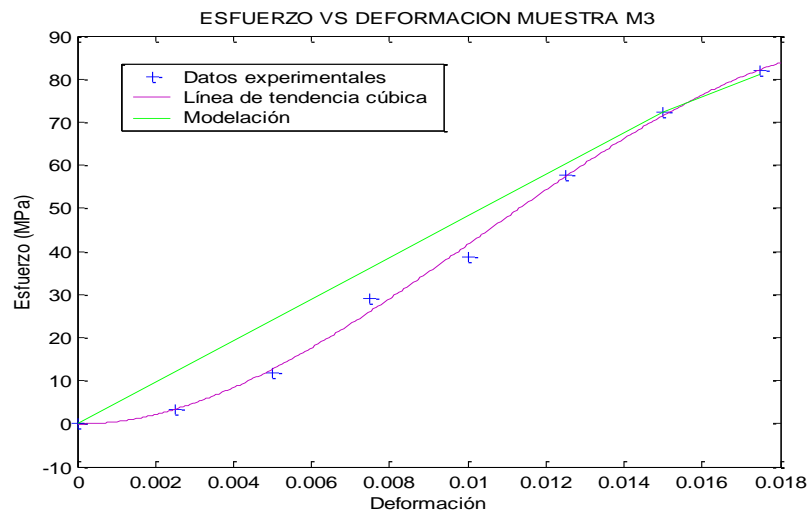


FIGURA 47. MODELO DE MUESTRA M3

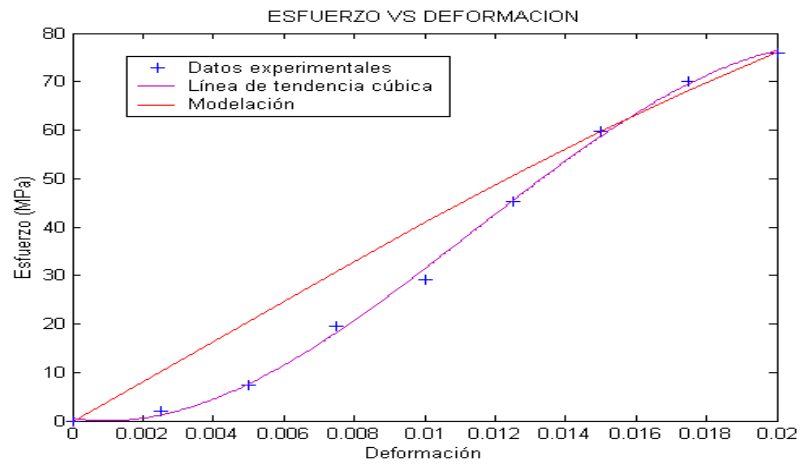


FIGURA 48. MODELO PROMEDIO

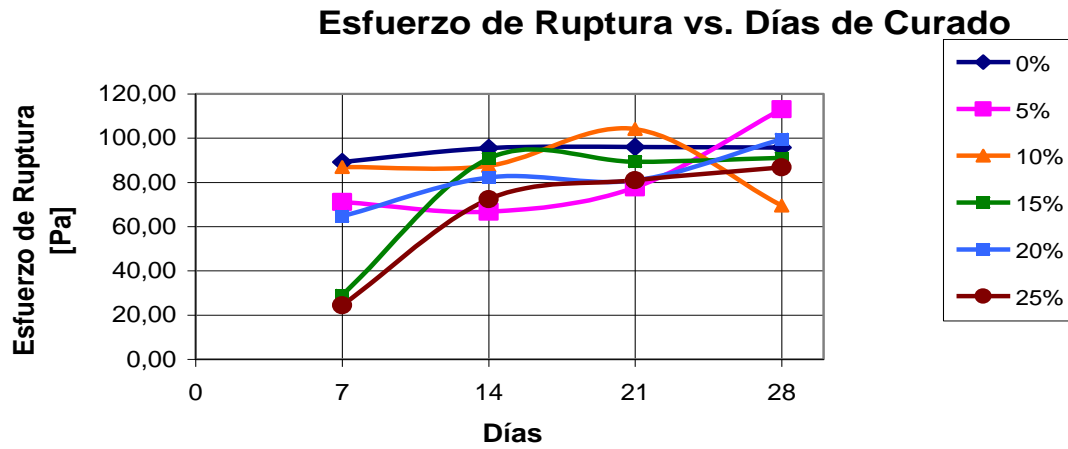


FIGURA 49. ESFUERZO VS DIAS DE CURADO (EXPERIMENTAL)

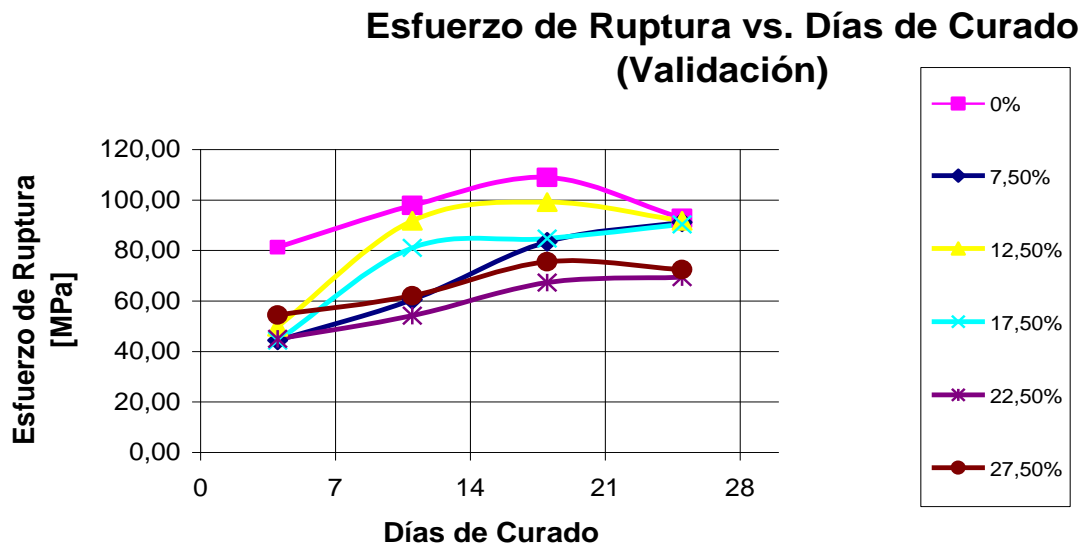


FIGURA 50. ESFUERZO VS DEFORMACIÓN PROMEDIO (VALIDACIÓN)